

# Aufgaben zur Technischen Mechanik

Prof. Dr.-Ing. Sebastian Götz

HTW Berlin, Fachbereich 2

Stand 24. März 2023

# Vorwort

Die vorliegende Aufgabensammlung enthält Aufgaben zu den drei Modulen der Technischen Mechanik: Statik, Festigkeitslehre und Kinetik, wie sie an der HTW Berlin im Bachelorstudiengang Maschinenbau mit jeweils 4 SWS pro Semester gelehrt werden.

Die Methoden der Technischen Mechanik sind wesentliche Werkzeuge, die Ingenieure und solche, die es werden wollen, befähigen, technische Probleme systematisch zu analysieren und zu lösen. Dies zu erlernen nimmt in den ersten Semestern des Maschinenbaustudiums nicht unerheblich viel Zeit in Anspruch. Damit das nicht zu abstrakt bleibt – das vielzitierte Rechnen als reinen Selbstzweck – habe ich bei der Auswahl der Aufgaben darauf geachtet, möglichst oft einen direkten Praxisbezug herzustellen und sinnvolle Zahlenwerte zu verwenden. Außerdem habe ich versucht, einen gesunden Mittelweg beim Schwierigkeitsgrad zu finden. Die Aufgaben sollen zwar herausfordernd sein (das bedingt schon der erwähnte Praxisbezug), jedoch darf die eigentliche Mechanik nicht hinter zu viel Mathematik verborgen bleiben. So genügt es beispielsweise zum Verständnis vollends, nur 1-fach statisch unbestimmte Systeme anstatt solche mit höherer statischer Unbestimmtheit zu berechnen.

Am Anfang jedes neuen Abschnitts stehen einfachere Aufgaben zum *Reinkommen*. Im weiteren Verlauf nimmt dann der Anspruch zu. Die Ergebnisse zu allen Aufgaben sind in Anhang A aufgelistet. Als Ingenieur sollte man seine Ergebnisse jederzeit sinnvoll gerundet angeben, insbesondere da die Höhe der Belastung meist gar nicht so genau bekannt ist wie bei akademischen Übungsaufgaben. Die Ergebnisse im Anhang sind allerdings im Zweifel eher auf eine Stelle hinter dem Komma zu viel angegeben, sodass auch Fehler mit vermeintlich kleiner Auswirkung besser erkannt werden können. Alle Lösungen sind ohne Rundung der Zwischenergebnisse ermittelt worden. Im Idealfall sollten Sie also exakt auf dieselben Werte kommen.

Ich beanspruche keine Urheberschaft an den Aufgaben. Ein Teil der Aufgaben wurde von mir selbst konzipiert, zum Teil sind es alte Klausuraufgaben und teilweise habe ich Aufgaben von meinem geschätzten Vorgänger, Herrn Prof. Dieter Joensson, übernommen. Die Grundidee vieler Aufgabentypen stammt jedoch aus dem reichhaltigen Fundus der Mechanikausbildung an der TU Dresden, wo wir beide unsere akademischen Wurzeln haben. Etliche Aufgabenstellungen sind aber einfach *Klassiker*, die sich ins kollektive Gedächtnis zahlreicher Generationen von Maschinenbaustudenten eingebrannt haben. Ihr Ursprung lässt sich heute kaum mehr zweifelsfrei zurückverfolgen. Das bedeutet jedoch nicht, dass diese Aufgaben an Relevanz eingebüßt oder nur noch historischen Wert hätten. Ganz im Gegenteil: Sie haben sich didaktisch bewährt, um die Grundprinzipien und Lösungsstrategien der Technischen Mechanik zu verstehen. Ihre selbstständige Lösung befähigt dazu, neue Problemstellungen zu analysieren und zu lösen.

Damit sind wir beim entscheidenden Punkt für das Studium der Technischen Mechanik angelangt: dem *selbständigen* Lösen von Übungsaufgaben. Der Ruf, der diesem Fach bisweilen voraus- und nacheilt, liegt sicherlich zu einem großen Teil darin begründet, dass Auswendiglernen hier absolut nicht weiterhilft. Letztendlich muss man, eine gute Formelsammlung vorausgesetzt, fast gar nichts auswendig wissen, sofern die grundlegenden Prinzipien einmal verstanden wurden. Und zum wirklichen Verständnis führt – Genies einmal ausgenommen – allein das selbständige Bearbeiten von Übungsaufgaben. Je mehr, desto besser.

Zu Beginn eines neuen Themas ist es zunächst hilfreich, Beispiele aus der Vorlesung oder aus Fachbüchern<sup>1</sup> nachzuvollziehen. Danach ist allerdings eigene Hingabe gefordert. Das kostet Zeit, Anstrengung und führt mitunter zu Frust, wenn man anfangs nicht gleich auf die korrekte Lösung kommt. Doch erst so lässt sich feststellen, ob die als verstanden geglaubten Zusammenhänge aus der Vorlesung tatsächlich in ihrer Tiefe und Konsequenz erfasst wurden. Kurzum, man muss an manchen Stellen erst einmal hängenbleiben, bevor sich Erkenntnis einstellt. Denn dazu sind Übungsaufgaben schließlich da. Falsche Ergebnisse kosten hier weder Geld noch gefährden sie Menschenleben, ganz im Gegensatz zum späteren Berufsleben.

Aber machen wir uns nichts vor. Natürlich sind die fertigen Lösungswege der Aufgaben über Kontakte in höhere Fachsemester leicht zu organisieren. Das ist zwar kommod, jedoch führt das stumpfe Nachvollziehen von Lösungen frei nach dem Motto »Ja, das hätte ich wohl auch so gemacht« nicht zu dem Verständnis, das zum Lösen einer neuen, noch unbekannteren Aufgabenstellung vonnöten ist. Es ist insofern eine gewisse charakterliche Standfestigkeit erforderlich, sich einer Aufgabe zu stellen und diese zunächst alleine anzugehen. Die Genugtuung, ein Problem selbst gelöst zu haben, ist dafür umso größer. Gleiches gilt für Übungen und Tutorien. Bitten Sie erst um Unterstützung, nachdem Sie selbst nachgedacht haben und wirklich nicht weiterkommen. Studieren bedeutet schließlich in erster Linie *sich* bemühen und nicht *andere* zu bemühen. Oder noch etwas salopper formuliert: Studium besteht nur zu 10 % aus Inspiration, jedoch zu 90 % aus Transpiration.

Zuletzt möchte ich Ihnen noch einige wichtige Hinweise zum Lösen der Aufgaben ans Herz legen:

- Auch wenn Sie einmal keinen Zugang zu einer Aufgabe finden sollten, können Sie immer freischneiden, die Schnittreaktionen antragen und die Gleichgewichtsbilanzen formulieren. Meistens erschließt sich der weitere Lösungsweg von ganz allein.
- Schreiben Sie am besten mit einem Bleistift. Das ermöglicht Ihnen durch Radieren schnelle Korrekturen bei Rechenfehlern oder in Skizzen. Beides ist erfahrungsgemäß bei nahezu jeder Aufgabe erforderlich.
- Überhaupt Skizzen... Ihre Bedeutung kann gar nicht überschätzt werden. Zeichnen Sie sie lieber zu groß als zu klein, damit Formelzeichen und Maße auch im Nachhinein noch ergänzt werden können.

<sup>1</sup>Eine umfangreiche, aber keinesfalls Vollständigkeit beanspruchende, Übersicht der zahlreichen Fachbücher zur Technischen Mechanik, ist, in subjektiver Reihenfolge, in Anhang B zu finden.

- Verwenden Sie für jede Aufgabe ein neues, weißes Blatt. Es hilft sich auf das Wesentliche – die eignen Rechenschritte und Skizzen – zu fokussieren und lenkt nicht unnötig ab.
- Rechnen Sie bitte bis zum Ende mit Variablen. Das verhindert einerseits Rundungsfehler bei Zwischenergebnissen und andererseits lassen sich so Fehler in vorangegangenen Aufgabenteilen schneller finden und korrigieren, was nicht nur für etwaige Folgefehler in der Klausur relevant ist.

Diese Aufgabensammlung habe ich sorgfältig erstellt. Dennoch können Fehler nicht ausgeschlossen werden und die Lösungen sind ohne Gewähr. Ich nehme Hinweise, die zur Korrektur oder Verbesserung dienen, sehr gerne unter [Sebastian.Goetz@HTW-Berlin.de](mailto:Sebastian.Goetz@HTW-Berlin.de) entgegen.

*Sebastian Götz*

# Inhaltsverzeichnis

<b>1</b>	<b>Statik (TM1)</b>	<b>6</b>
1.1	Zentrale Kraftsysteme . . . . .	6
1.2	Kräfte und Momente in der Ebene . . . . .	9
1.3	Ebene Tragwerke . . . . .	11
1.4	Ebene Fachwerke . . . . .	16
1.5	Schnittreaktionen . . . . .	17
1.6	Raumstatik . . . . .	21
1.7	Reibung . . . . .	23
1.8	Schwerpunktberechnung . . . . .	27
1.9	Flächenträgheitsmomente . . . . .	29
<b>2</b>	<b>Festigkeitslehre (TM2)</b>	<b>31</b>
2.1	Grundlagen . . . . .	31
2.2	Zug und Druck in Stäben . . . . .	32
2.3	Torsion . . . . .	35
2.4	Biegung . . . . .	39
2.5	Allgemeine Beanspruchungszustände . . . . .	47
2.6	Festigkeitsannahmen . . . . .	50
2.7	Stabilität . . . . .	54
<b>3</b>	<b>Kinetik (TM3)</b>	<b>57</b>
3.1	Kinematik . . . . .	57
3.2	Kinetik starrer Körper . . . . .	63
3.3	Kinetik von Starrkörpersystemen . . . . .	69
3.4	Impuls-, Arbeits- und Energiesätze . . . . .	73
3.5	Freie Schwingungen . . . . .	76
3.6	Erzwungene Schwingungen . . . . .	81
<b>A</b>	<b>Ergebnisse der Aufgaben</b>	<b>86</b>
<b>B</b>	<b>Literatur zur Technischen Mechanik</b>	<b>110</b>

# 1 Statik (TM1)

## 1.1 Zentrale Kraftsysteme

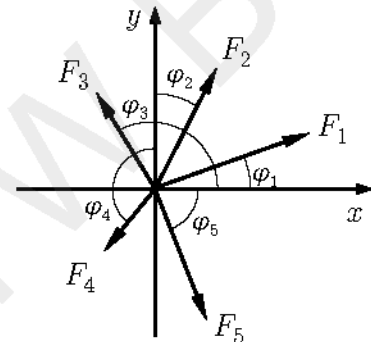
### Aufgabe 1.1.1

An einem Punkt greifen 5 Kräfte in der Ebene an.

Gesucht:

Betrag und Richtung der resultierenden Kraft

Zahlenwerte:  $F_1 = 213 \text{ N}$ ,  $\varphi_1 = 20^\circ$ ,  
 $F_2 = 174 \text{ N}$ ,  $\varphi_2 = 27^\circ$ ,  
 $F_3 = 151 \text{ N}$ ,  $\varphi_3 = 149^\circ$ ,  
 $F_4 = 106 \text{ N}$ ,  $\varphi_4 = 141^\circ$ ,  
 $F_5 = 188 \text{ N}$ ,  $\varphi_5 = 68^\circ$



Lösung

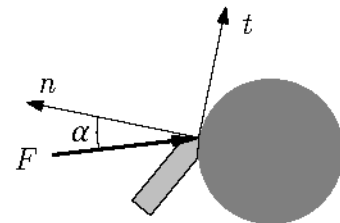
### Aufgabe 1.1.2

Der Meißel einer Drehmaschine wirkt mit der Kraft  $F$  auf das Werkstück.

Gesucht:

Zerlegung der Kraft in die Komponenten  $n$ -normal und  $t$ -tangential zum Werkstück

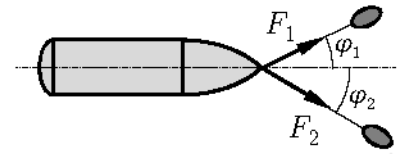
Zahlenwerte:  $F = 380 \text{ N}$ ,  $\alpha = 18^\circ$



Lösung

### Aufgabe 1.1.3

Ein Containerschiff wird von zwei Schleppern in einen Hafen gezogen. Dabei soll das Containerschiff geradeaus entlang der eingezeichneten Wirkungslinie gezogen werden.



Gesucht:

1. Erforderlicher Winkel  $\varphi_1$
2. Betrag der resultierenden Kraft

Zahlenwerte:  $F_1 = 0,8 \text{ MN}$ ,  $F_2 = 0,5 \text{ MN}$ ,  $\varphi_2 = 35^\circ$

Lösung

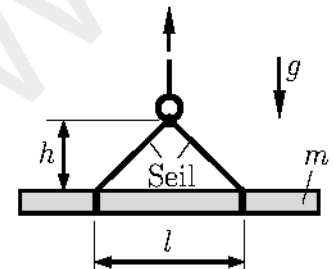
### Aufgabe 1.1.4

Auf einer Baustelle soll ein Stahlträger der Masse  $m$  von einem Kran gehoben werden. Das Seil ist symmetrisch am Träger befestigt, so dass dieser waagrecht gehalten wird.

Gesucht:

Seilkraft  $F_S$

Zahlenwerte:  $m = 450 \text{ kg}$ ,  $l = 2,5 \text{ m}$ ,  $h = 1,5 \text{ m}$ ,  
 $g = 9,81 \text{ m/s}^2$



Lösung

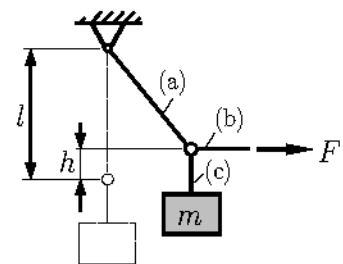
### Aufgabe 1.1.5

Eine Kiste der Masse  $m$  wird mit den Stricken (a), (b) und (c) durch die Kraft  $F$  angehoben. Die maximal ertragbare Zugkraft der Stricke beträgt  $S_{\max}$ .

Gesucht:

1. Höhe  $h_1$ , auf die die Kiste mit der Kraft  $F_1$  gehoben werden kann
2. Maximal erreichbare Höhe  $h_{\max}$  bis der Strick (a) reißt
3. Erforderliche Kraft  $F_{\max}$ , um  $h_{\max}$  (aus 2.) zu erreichen

Zahlenwerte:  $m = 50 \text{ kg}$ ,  $l = 0,8 \text{ m}$ ,  $F_1 = 300 \text{ N}$ ,  $S_{\max} = 1,2 \text{ kN}$ ,  $g = 9,81 \text{ m/s}^2$



Lösung

### Aufgabe 1.1.6

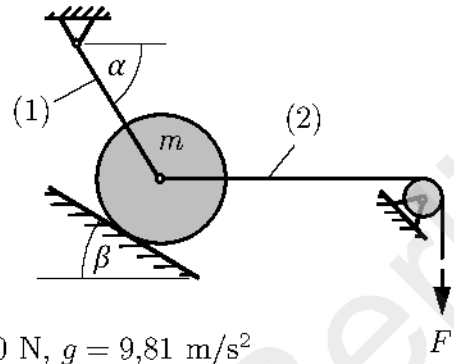
Ein Zylinder der Masse  $m$  wird durch ein Seil (1) auf einer geneigten Ebene gehalten. Am Seil (2), das über eine Rolle reibungsfrei umgelenkt wird, greift die Kraft  $F$  an.

Gesucht:

1. Kraft in Seil (1)
2. Erforderliche Kraft  $\tilde{F}$ , damit der Zylinder abhebt

Zahlenwerte:  $m = 60 \text{ kg}$ ,  $\alpha = 60^\circ$ ,  $\beta = 35^\circ$ ,  $F = 200 \text{ N}$ ,  $g = 9,81 \text{ m/s}^2$

Lösung



### Aufgabe 1.1.7

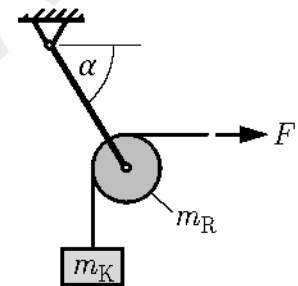
Ein Körper der Masse  $m_K$  wird über ein an einer Rolle umgelenktes Seil gehalten. Die Rolle ist wiederum reibungsfrei drehbar an einer Pendelstange befestigt.

Gesucht:

Winkel  $\alpha$  bei dem sich Gleichgewicht einstellt.

Zahlenwerte:  $m_R = 5 \text{ kg}$ ,  $m_K = 11 \text{ kg}$

Lösung



### Aufgabe 1.1.8

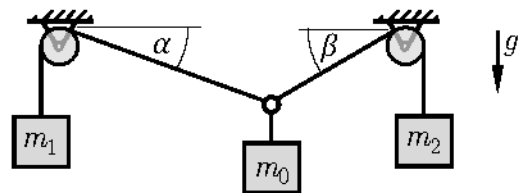
Ein Seil wird reibungsfrei über zwei Rollen geführt. An dessen Enden hängen die Massen  $m_1$  und  $m_2$ . Zwischen den Rollen hängt die Masse  $m_0$ . Das System befindet sich im statischen Gleichgewicht.

Gesucht:

1. Winkel  $\alpha$  und  $\beta$ , analytisch
2. Numerische Lösung

Zahlenwerte:  $m_0 = 35 \text{ kg}$ ,  $m_1 = 20 \text{ kg}$ ,  $m_2 = 30 \text{ kg}$ ,  $g = 9,81 \text{ m/s}^2$

Lösung



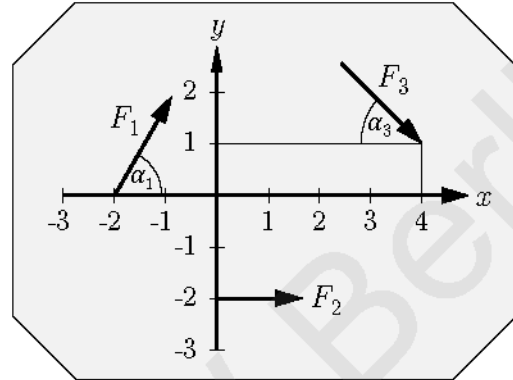
## 1.2 Kräfte und Momente in der Ebene

### Aufgabe 1.2.1

Auf eine starre Scheibe wirken 3 Kräfte. Die Maße der Skizze sind in m angegeben.

Gesucht:

1. Betrag  $F_R$  der resultierenden Kraft
2. Winkel  $\alpha_R$  der resultierenden Kraft
3. Betrag des resultierenden Moments  $M_{R,0}$  um den Koordinatenursprung
4. Gleichung der Wirkungslinie der resultierenden Kraft
5. Skizze mit Wirkungslinie



Zahlenwerte:  $F_1 = 2000 \text{ N}$ ,  $\alpha_1 = 60^\circ$ ,  $F_2 = 1500 \text{ N}$ ,  $\alpha_2 = 0^\circ$ ,  
 $F_3 = 2000 \text{ N}$ ,  $\alpha_3 = 45^\circ$

Lösung

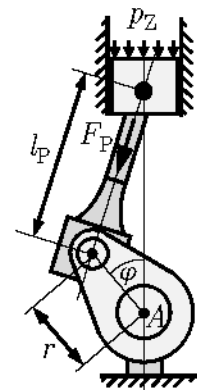
### Aufgabe 1.2.2

In einem 4-Zylinder-Verbrennungsmotor wirkt in der gezeigten Kurbelstellung (Kurbelwinkel  $\varphi$ ) der Verbrennungsdruck von  $p_Z$  auf den Kolben (Kolbendurchmesser  $d_K$ ).

Gesucht:

1. Pleuelkraft  $F_P$
2. Moment auf Kurbelwelle  $M_A$

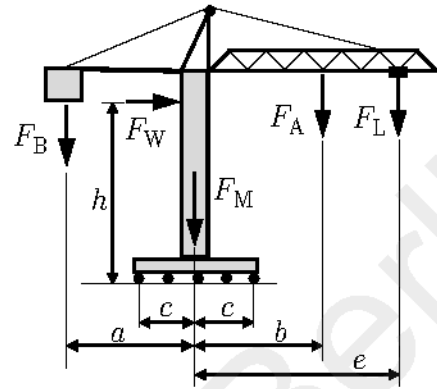
Zahlenwerte:  $p_Z = 50 \text{ bar}$ ,  $d_K = 80 \text{ mm}$ ,  
 Kurbelradius  $r = 48 \text{ mm}$ ,  
 Pleuellänge  $l_P = 144 \text{ mm}$ ,  
 $\varphi = 30^\circ$



Lösung

### Aufgabe 1.2.3

Ein Baukran besteht grob aus den 3 Teilen: dem Mast mit Fußgewicht (Gewichtskraft  $F_M$ ), dem Ausleger (Gewichtskraft  $F_A$ ) und dem Gegenausleger mit Ballast (Gewichtskraft  $F_B$ ). Neben der Last  $F_L$ , die der Kran hebt, ist noch die resultierende Windkraft  $F_W$  zu berücksichtigen. Die Standsicherheit bei Kranen  $S_S$  ist definiert als das Verhältnis von Standmoment  $M_S$  (Moment der Kräfte, die dem Kippen um den Kippunkt entgegenwirken) und Kippmoment  $M_K$  (Moment der Kräfte, die Kippen um den Kippunkt bewirken).



Gesucht:

1. Standsicherheit  $S_S$
2. Maximale Position  $e_{\max}$  der Last  $F_L$  für die geforderte Standsicherheit von  $S_{S,\text{erf}}$

Zahlenwerte:  $F_B = 30 \text{ kN}$ ,  $F_W = 2,8 \text{ kN}$ ,  $F_M = 50 \text{ kN}$ ,  $F_A = 8 \text{ kN}$ ,  $F_L = 5,5 \text{ kN}$ ,  
 $a = 3,8 \text{ m}$ ,  $b = 8 \text{ m}$ ,  $c = 1,5 \text{ m}$ ,  $e = 16,5 \text{ m}$ ,  $h = 10 \text{ m}$ ,  $S_{S,\text{erf}} = 2,4$

Lösung

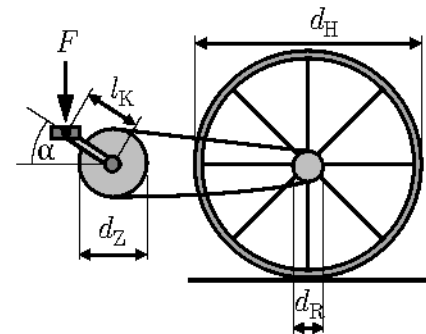
### Aufgabe 1.2.4

An der Tretkurbel (Länge  $l_K$ ) eines Fahrrads wirkt die Kraft  $F$  in vertikaler Richtung. Der Zahnkranz und Ritzel haben die Durchmesser  $d_Z$  bzw.  $d_R$  und das Hinterrad hat den Durchmesser  $d_H$ .

Gesucht:

1. Moment auf die Tretkurbelwelle  $M_T$
2. Kettenkraft  $F_K$
3. Moment auf die Ritzelwelle  $M_R$
4. Vortriebskraft  $F_V$  des Hinterrads auf die Straße

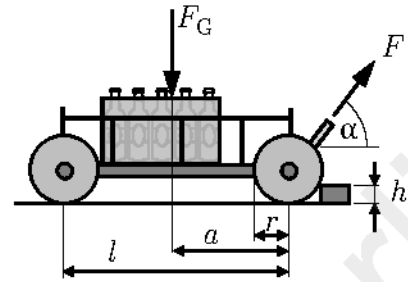
Zahlenwerte:  $F = 500 \text{ N}$ ,  $\alpha = 40^\circ$ ,  $l_K = 180 \text{ mm}$ ,  $d_Z = 150 \text{ mm}$ ,  $d_R = 72 \text{ mm}$ ,  
 $d_H = 730 \text{ mm}$



Lösung

### Aufgabe 1.2.5

Bei einem Himmelfahrtsausflug soll ein mit einem Getränkekasten beladener Bollerwagen (Radabstand  $l$ , Raddurchmesser  $2r$ ) über eine Bordsteinkante der Höhe  $h$  gezogen werden. Die resultierende Gewichtskraft von Bollerwagen und Kasten ist  $F_G$ .



1. Erforderliche Zugkraft  $F$  bei einem Deichselwinkel  $\alpha$
2. Deichselwinkel  $\alpha'$ , bei dem die Zugkraft minimal wird

Zahlenwerte:  $F_G = 290 \text{ N}$ ,  $l = 800 \text{ mm}$ ,  $a = 500 \text{ mm}$ ,  $r = 60 \text{ mm}$ ,  $h = 45 \text{ mm}$ ,  $\alpha = 60^\circ$

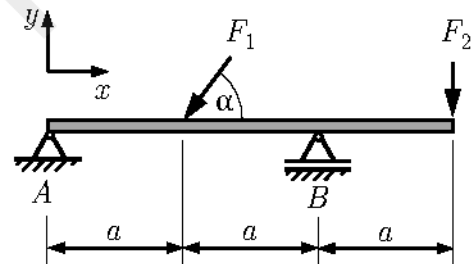
Lösung

## 1.3 Ebene Tragwerke

### Aufgabe 1.3.1

Für das Tragwerk sind die Auflagerreaktionen zu ermitteln.

Zahlenwerte:  $F_1 = 2000 \text{ N}$ ,  $F_2 = 1000 \text{ N}$ ,  
 $a = 1 \text{ m}$ ,  $\alpha = 60^\circ$

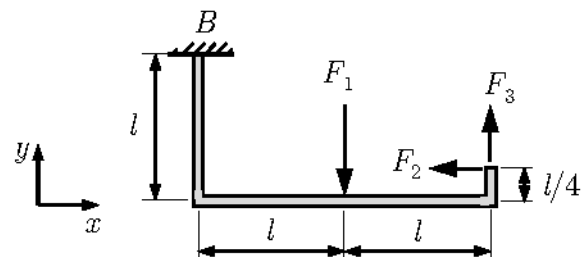


Lösung

### Aufgabe 1.3.2

Für das Tragwerk sind die Auflagerreaktionen zu ermitteln.

Zahlenwerte:  $F_1 = 300 \text{ N}$ ,  $F_2 = F_3 = 100 \text{ N}$ ,  
 $l = 2 \text{ m}$



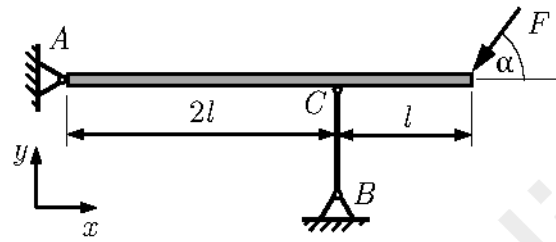
Lösung

### Aufgabe 1.3.3

Für das Tragwerk sind die Auflagerreaktionen zu ermitteln.

Zahlenwerte:  $F = 30 \text{ kN}$ ,  $l = 1 \text{ m}$ ,  $\alpha = 60^\circ$

Lösung

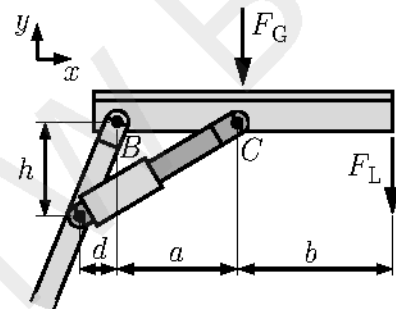


### Aufgabe 1.3.4

Für eine Hebebühne sind die Lagerreaktionen in den Punkten B und C zu ermitteln.

Zahlenwerte:  $F_G = 400 \text{ N}$ ,  $F_L = 1500 \text{ N}$ ,  
 $a = 0,8 \text{ m}$ ,  $b = 1,0 \text{ m}$ ,  
 $d = 0,25 \text{ m}$ ,  $h = 0,6 \text{ m}$

Lösung



### Aufgabe 1.3.5

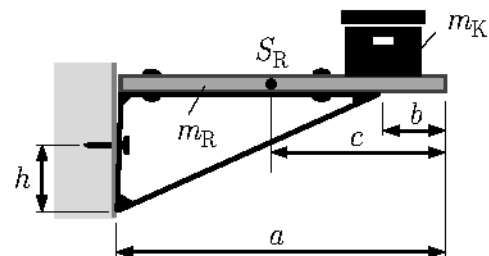
Ein provisorisches Regal besteht aus einem Brett und einem Winkel mit der Gesamtmasse  $m_R$  (Schwerpunkt  $S_R$ ). Es wird von einer Schraube an der Wand gehalten und berührt die Wand (reibungsfrei) im Abstand  $h$  von der Schraube. Auf dem Regal steht eine Kiste der Masse  $m_K$ .

Gesucht:

1. An der Schraube wirkende Zugkraft  $F_{S,z}$  und Scherkraft  $F_{S,s}$
2. Normalkraft  $F_{N,w}$  zwischen Winkel und Wand im unteren Abstützpunkt

Zahlenwerte:  $m_R = 1,3 \text{ kg}$ ,  $m_K = 12 \text{ kg}$ ,  $a = 50 \text{ cm}$ ,  $b = 8 \text{ cm}$ ,  $c = 28 \text{ cm}$ ,  
 $h = 10 \text{ cm}$ ,  $g = 9,81 \text{ m/s}^2$

Lösung

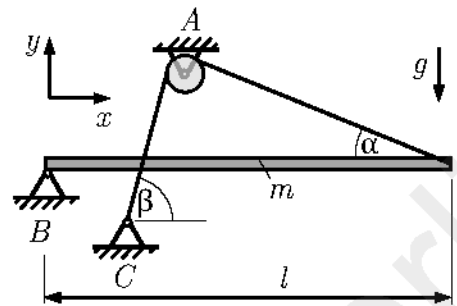


### Aufgabe 1.3.6

Ein homogener Stab der Masse  $m$  wird durch ein Seil gehalten, das in A reibungsfrei über eine Rolle geführt wird. Gesucht sind die Lagerreaktionen in A, B und C.

Zahlenwerte:  $m = 100 \text{ kg}$ ,  $l = 10 \text{ m}$ ,  $\alpha = 18^\circ$ ,  
 $\beta = 80^\circ$ ,  $g = 9,81 \text{ m/s}^2$

Lösung



### Aufgabe 1.3.7

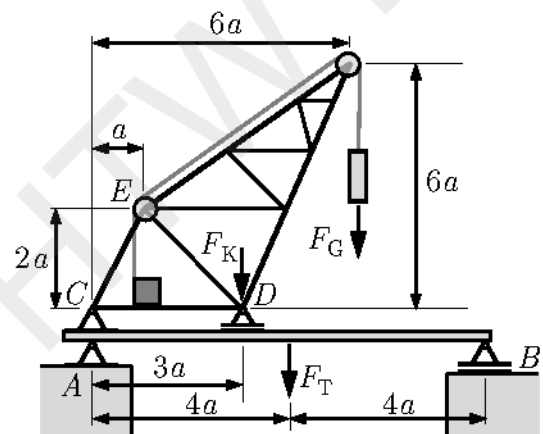
Ein Lastenkran ist auf einem Träger montiert. Die Last wird über ein Seil gehoben. Die Seilrollendurchmesser sind klein gegenüber der Länge  $a$ . Die Gewichtskräfte von Kran, Träger und Last sind mit  $F_K$ ,  $F_T$  und  $F_G$  gegeben.

Gesucht:

1. Auflagerreaktionen bei A, B, C und D
2. Achslast der unteren Seilrolle bei E

Gegeben:  $F_K$ ,  $F_T$ ,  $F_G$ ,  $a$

Lösung

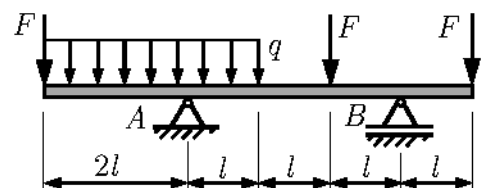


### Aufgabe 1.3.8

Für das Tragwerk sind die Auflagerreaktionen zu ermitteln.

Zahlenwerte:  $F = 1000 \text{ N}$ ,  $q = 1,25 \text{ N/mm}$ ,  
 $l = 0,8 \text{ m}$

Lösung

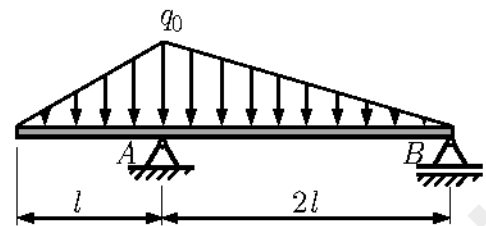


### Aufgabe 1.3.9

Für das Tragwerk sind die Auflagerreaktionen zu ermitteln.

Zahlenwerte:  $q_0 = 4 \text{ N/cm}$ ,  $l = 0,6 \text{ m}$

Lösung

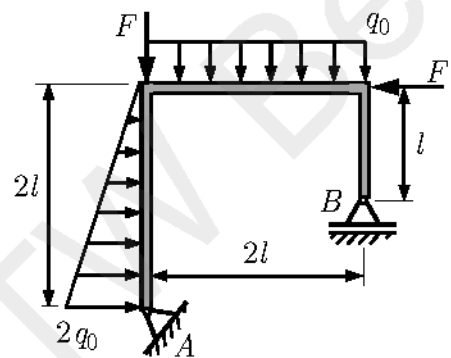


### Aufgabe 1.3.10

Für das Tragwerk sind die Auflagerreaktionen zu ermitteln.

Zahlenwerte:  $F = 200 \text{ N}$ ,  $q_0 = 0,3 \text{ N/mm}$ ,  
 $l = 45 \text{ cm}$

Lösung

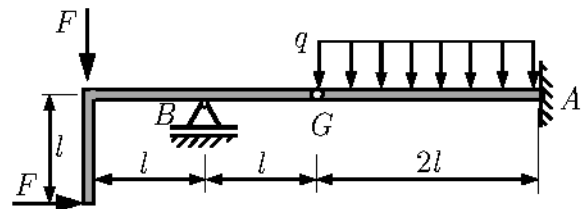


### Aufgabe 1.3.11

Für das Tragwerk sind die Auflagerreaktionen und Gelenkkräfte zu ermitteln.

Zahlenwerte:  $F = 400 \text{ N}$ ,  $q = 800 \text{ N/m}$ ,  
 $l = 0,85 \text{ m}$

Lösung

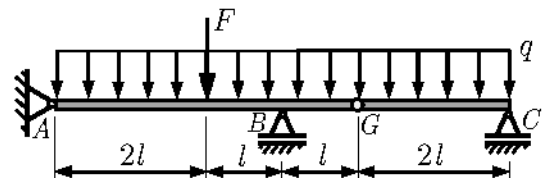


### Aufgabe 1.3.12

Für das Tragwerk sind die Auflagerreaktionen und Gelenkkräfte zu ermitteln.

Zahlenwerte:  $F = 2000 \text{ N}$ ,  $q = 1,0 \text{ kN/m}$ ,  
 $l = 10 \text{ m}$

Lösung



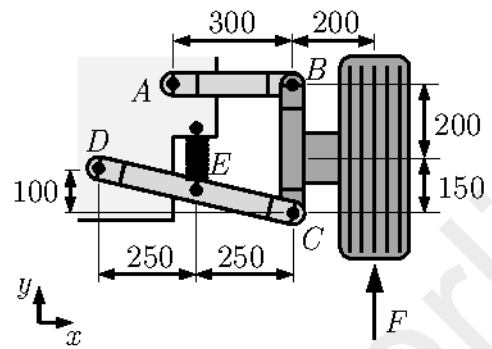
### Aufgabe 1.3.13

Die Einzelradaufhängung eines Kraftfahrzeugs ist mit der Radlast  $F$  belastet.

Gesucht:

1. Gelenkkräfte in  $A$ ,  $B$ ,  $C$  und  $D$
2. Federkraft bei  $E$

Zahlenwerte:  $F = 3 \text{ kN}$ ,  
Abmessungen aus Skizze in mm



Lösung

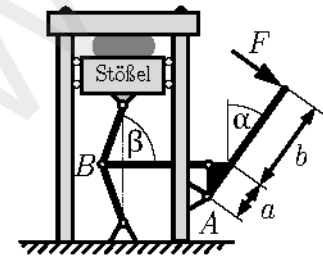
### Aufgabe 1.3.14

Durch den Mechanismus der dargestellten Kniehebelpresse wird die aufgebrachte Kraft  $F$  zur Presskraft  $F_P$  verstärkt. Die dargestellte Stellung ist zu untersuchen.

Gesucht:

1. Presskraft  $F_P$
2. Verstärkungsfaktor  $F_P/F$

Zahlenwerte:  $F = 35 \text{ kN}$ ,  $a = 0,5 \text{ m}$ ,  $b = 1,5 \text{ m}$ ,  $\alpha = 35^\circ$ ,  $\beta = 80^\circ$



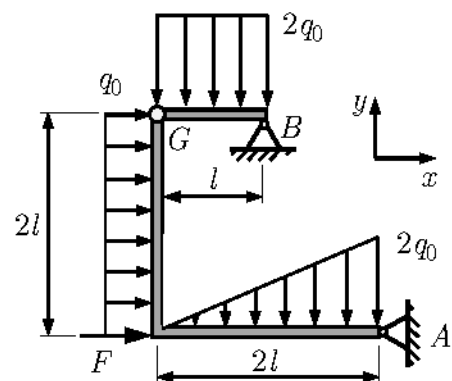
Lösung

### Aufgabe 1.3.15

Für das Tragwerk sind die Auflagerreaktionen und Gelenkkräfte zu ermitteln.

Zahlenwerte:  $F = 300 \text{ N}$ ,  $q_0 = 360 \text{ N/m}$ ,  
 $l = 600 \text{ mm}$

Lösung

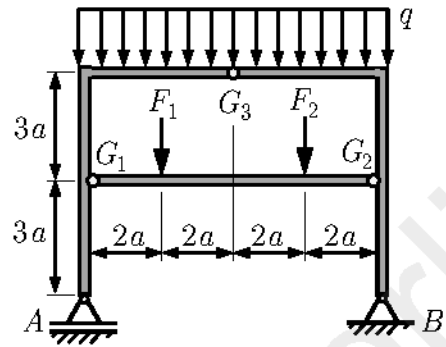


### Aufgabe 1.3.16

Für die Rahmenstruktur mit drei Gelenken sind die Auflagerreaktionen und Gelenkkräfte zu ermitteln.

Zahlenwerte:  $F_1 = 10 \text{ kN}$ ,  $F_2 = 20 \text{ kN}$ ,  
 $q = 4,0 \text{ kN/m}$ ,  $a = 1 \text{ m}$

Lösung



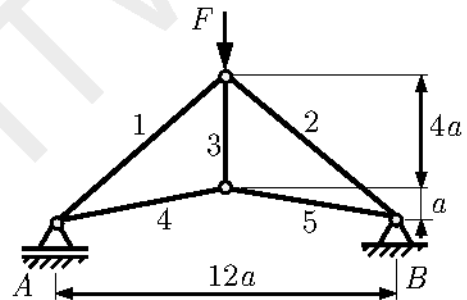
## 1.4 Ebene Fachwerke

### Aufgabe 1.4.1

Als Dachbinder wird das vertikal tragende und aussteifende Fachwerkteil eines Dachstuhls bezeichnet. Für den dargestellten Dachbinder sind die Stabkräfte zu berechnen.

Zahlenwerte:  $F = 5 \text{ kN}$ ,  $a = 0,5 \text{ m}$

Lösung



### Aufgabe 1.4.2

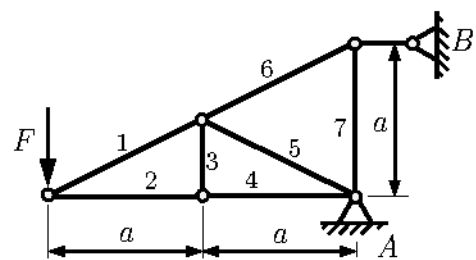
Der Ausleger des Oberleitungsmastes an einer Bahnstrecke ist durch die Gewichtskraft der Leitung belastet.

Gesucht:

1. Angabe der Nullstäbe (ohne Rechnung)
2. Stabkräfte und Lagerreaktionen

Gegeben:  $F$ ,  $a$

Lösung

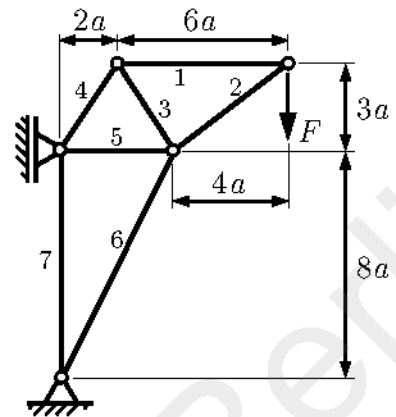


### Aufgabe 1.4.3

Ein Wanddrehkran ist als Fachwerkkonstruktion ausgeführt. Berechnen Sie mit Hilfe des Ritterschen Schnittverfahrens die Stabkräfte  $F_4$ ,  $F_5$  und  $F_6$ .

Zahlenwerte:  $F = 20 \text{ kN}$ ,  $a = 0,5 \text{ m}$

Lösung



### Aufgabe 1.4.4

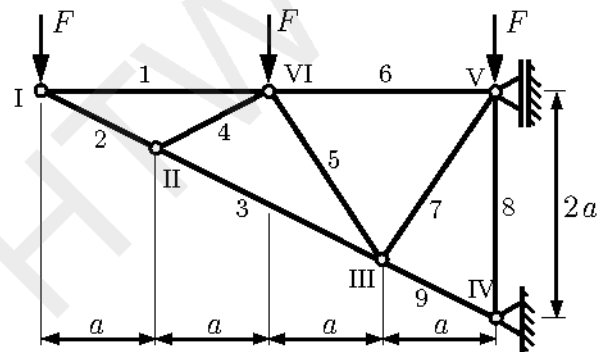
Eine Stützkonstruktion in einer Lagerhalle ist durch das Gewicht der getragenen Struktur belastet. Die Knoten sind mit römischen Zahlen und die Stäbe mit arabischen Zahlen gekennzeichnet.

Gesucht:

1. Stabkräfte und Auflagerreaktionen (mit Knotenpunktverfahren)
2. Überprüfung der Stabkraft  $F_5$  mit dem Ritterschen Schnittverfahren

Zahlenwerte:  $F = 5 \text{ kN}$ ,  $a = 1 \text{ m}$

Lösung



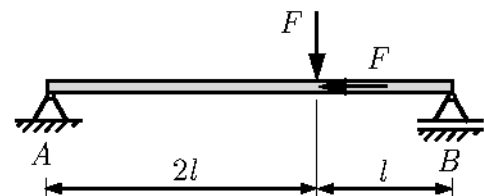
## 1.5 Schnittreaktionen

### Aufgabe 1.5.1

Für das Tragwerk sind die Schnittreaktionen  $F_L(z)$ ,  $F_Q(z)$  und  $M_b(z)$  zu ermitteln.

Zahlenwerte:  $F = 100 \text{ N}$ ,  $l = 80 \text{ cm}$

Lösung

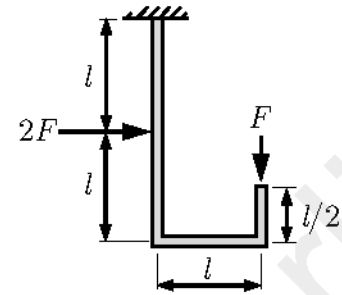


### Aufgabe 1.5.2

Für das Tragwerk sind die Schnittreaktionen  $F_L(z)$ ,  $F_Q(z)$  und  $M_b(z)$  zu ermitteln.

Zahlenwerte:  $F = 2000 \text{ N}$ ,  $l = 60 \text{ cm}$

Lösung

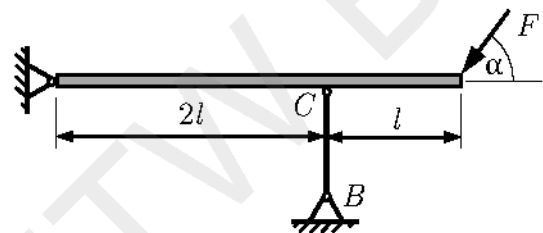


### Aufgabe 1.5.3

Für das Tragwerk sind die Schnittreaktionen  $F_L(z)$ ,  $F_Q(z)$  und  $M_b(z)$  zu ermitteln.

Zahlenwerte:  $F = 30 \text{ kN}$ ,  $l = 1 \text{ m}$ ,  $\alpha = 60^\circ$

Lösung

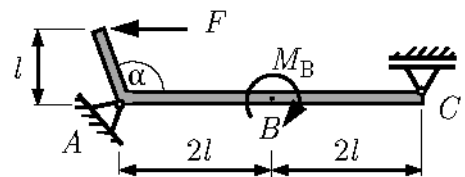


### Aufgabe 1.5.4

Für das Tragwerk sind die Schnittreaktionen  $F_L(z)$ ,  $F_Q(z)$  und  $M_b(z)$  zu ermitteln.

Zahlenwerte:  $F = 20 \text{ kN}$ ,  $M_B = 40 \text{ kNm}$ ,  
 $l = 1 \text{ m}$ ,  $\alpha = 110^\circ$

Lösung



### Aufgabe 1.5.5

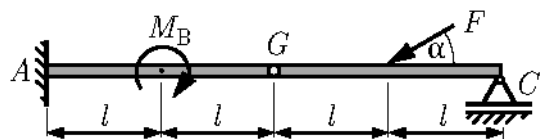
Das gegebene Tragwerk hat in der Mitte ein Gelenk und ist durch ein Einzelmoment und eine Einzelkraft belastet.

Gesucht:

1. Auflagerreaktionen und Gelenkkräfte
2. Schnittreaktionen  $F_L(z)$ ,  $F_Q(z)$  und  $M_b(z)$

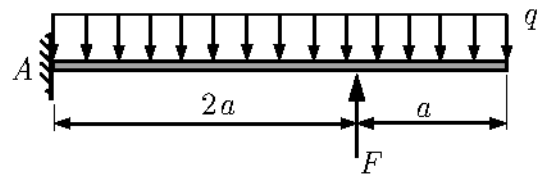
Zahlenwerte:  $F = 3000 \text{ N}$ ,  $M_B = 500 \text{ Nm}$ ,  $l = 1,5 \text{ m}$ ,  $\alpha = 30^\circ$

Lösung



### Aufgabe 1.5.6

Für das Tragwerk sind die Schnittreaktionen  $F_L(z)$ ,  $F_Q(z)$  und  $M_b(z)$  zu ermitteln sowie Ort und Größe des extremen Biegemoments anzugeben.



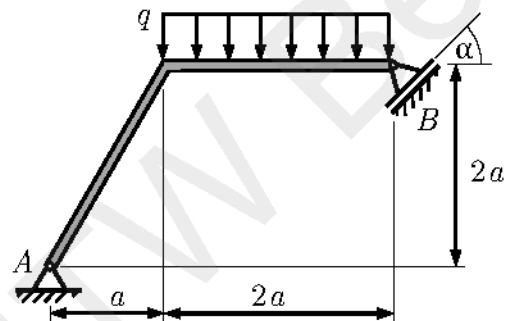
Zahlenwerte:  $F = 1250 \text{ N}$ ,  $q = 3 \text{ N/cm}$ ,  $a = 1,68 \text{ m}$

[Lösung](#)

### Aufgabe 1.5.7

Für das Tragwerk sind die Schnittreaktionen  $F_L(z)$ ,  $F_Q(z)$  und  $M_b(z)$  zu ermitteln sowie Ort und Größe des extremen Biegemoments anzugeben.

Gegeben:  $q$ ,  $a$ ,  $\alpha = 45^\circ$

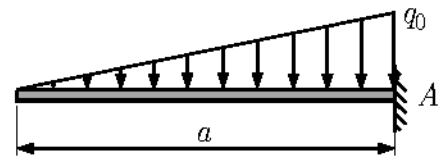


[Lösung](#)

### Aufgabe 1.5.8

Für das Tragwerk sind die Schnittreaktionen  $F_L(z)$ ,  $F_Q(z)$  und  $M_b(z)$  zu ermitteln.

Gegeben:  $q_0$ ,  $a$



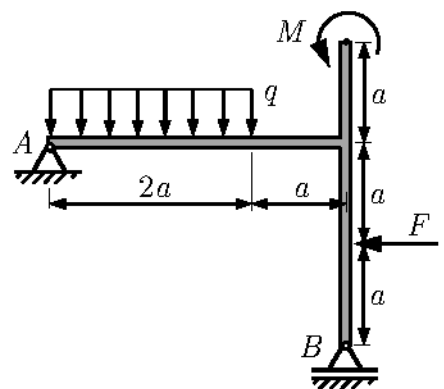
[Lösung](#)

### Aufgabe 1.5.9

Für das Tragwerk sind die Auflager- und die Schnittreaktionen  $F_L(z)$ ,  $F_Q(z)$  und  $M_b(z)$  zu ermitteln.

Gegeben:  $F = 2qa$ ,  $M = qa^2$ ,  $q$ ,  $a$

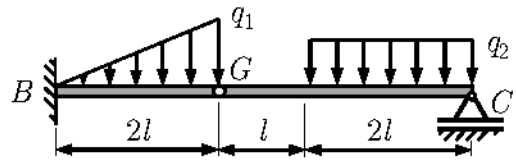
[Lösung](#)



### Aufgabe 1.5.10

Für das Tragwerk sind die Auflagerreaktionen, Gelenkkräfte und die Schnittreaktionen  $F_L(z)$ ,  $F_Q(z)$  und  $M_b(z)$  zu ermitteln.

Zahlenwerte:  $q_1 = 3000 \text{ N/m}$ ,  $q_2 = 2000 \text{ N/m}$ ,  
 $l = 0,75 \text{ m}$



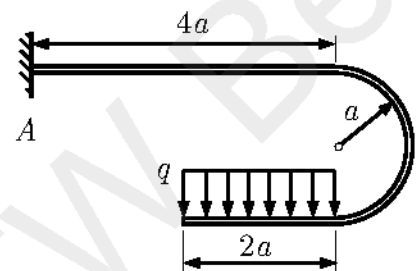
Lösung

### Aufgabe 1.5.11

Für das Tragwerk sind die Auflager- und die Schnittreaktionen  $F_L(z)$ ,  $F_Q(z)$  und  $M_b(z)$  zu ermitteln.

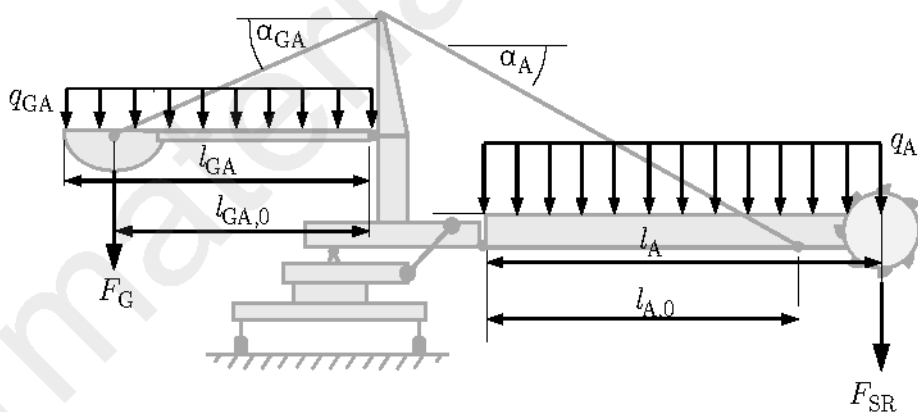
Gegeben:  $q$ ,  $a$

Lösung



### Aufgabe 1.5.12

Mit einem Schaufelradaufnahmegerät kann an einem Lagerplatz Schüttgut aufgenommen und verkippt werden. Sowohl der Radausleger (Länge  $l_A$ ) als auch der Gegenausleger (Länge  $l_{GA}$ ) sind gelenkig mit dem Pylon (Mast) des Geräts verbunden und werden von Drahtseilen gehalten. Die zu berücksichtigenden Lasten ergeben sich aus den Gewichtskräften der Ausleger ( $q_A$  und  $q_{GA}$ ), des Schaufelrads  $F_{SR}$  und des Gegengewichts  $F_G$ .



Gesucht:

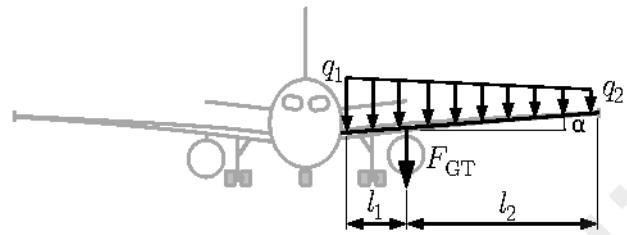
1. Seil- und Gelenkkräfte von Radausleger und Gegenausleger
2. Schnittreaktionen  $F_L(z)$ ,  $F_Q(z)$  und  $M_b(z)$  in Radausleger und Gegenausleger

Zahlenwerte:  $q_A = 30 \text{ kN/m}$ ,  $q_{GA} = 16 \text{ kN/m}$ ,  $F_{SR} = 350 \text{ kN}$ ,  $F_G = 1850 \text{ kN}$ ,  
 $l_A = 43 \text{ m}$ ,  $l_{A,0} = 32 \text{ m}$ ,  $l_{GA} = 30 \text{ m}$ ,  $l_{GA,0} = 28 \text{ m}$ ,  $\alpha_A = 22^\circ$ ,  
 $\alpha_{GA} = 20^\circ$

Lösung

### Aufgabe 1.5.13

Der Tragflügel eines Verkehrsflugzeugs ist durch sein Eigengewicht  $q$  und das Gewicht des Triebwerks  $F_{GT}$  belastet. Gesucht sind die Verläufe der Schnittreaktionen  $F_L(z)$ ,  $F_Q(z)$  und  $M_b(z)$  im Tragflügel. Vereinfachend sei angenommen, dass der Tragflügel nicht gekrümmt ist und dessen Eigengewicht durch eine linear verlaufende Streckenlast dargestellt werden kann.



Zahlenwerte:  $q_1 = 12 \text{ kN/m}$ ,  $q_2 = 8 \text{ kN/m}$ ,  $F_{GT} = 130 \text{ kN}$ ,  $l_1 = 3 \text{ m}$ ,  $l_2 = 9 \text{ m}$ ,  
 $\alpha = 5^\circ$

Lösung

## 1.6 Raumstatik

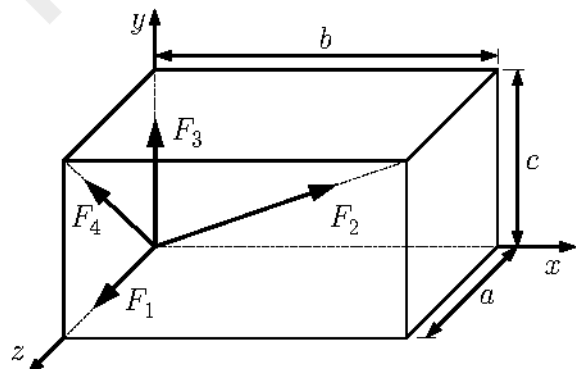
### Aufgabe 1.6.1

Gegeben ist ein räumliches zentrales Kraftsystem mit 4 Kräften.

Gesucht:

1. Betrag der resultierenden Kraft  $F_R$
2. Richtung der resultierenden Kraft

Zahlenwerte:  $F_1 = 200 \text{ N}$ ,  $F_2 = 300 \text{ N}$ ,  
 $F_3 = 100 \text{ N}$ ,  $F_4 = 200 \text{ N}$ ,  
 $a = 2 \text{ cm}$ ,  $b = 6 \text{ cm}$ ,  $c = 3 \text{ cm}$



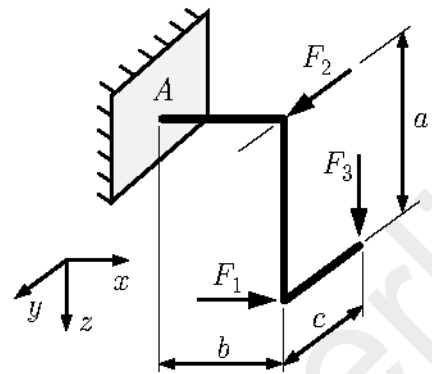
Lösung

### Aufgabe 1.6.2

Für das räumliche Tragwerk sind die Auflagerreaktionen in  $A$  zu ermitteln.

Gegeben:  $F_1 = 600 \text{ N}$ ,  $F_2 = 800 \text{ N}$ ,  $F_3 = 500 \text{ N}$ ,  
 $a = 2,4 \text{ m}$ ,  $b = 1,6 \text{ m}$ ,  $c = 1,2 \text{ m}$

Lösung



### Aufgabe 1.6.3

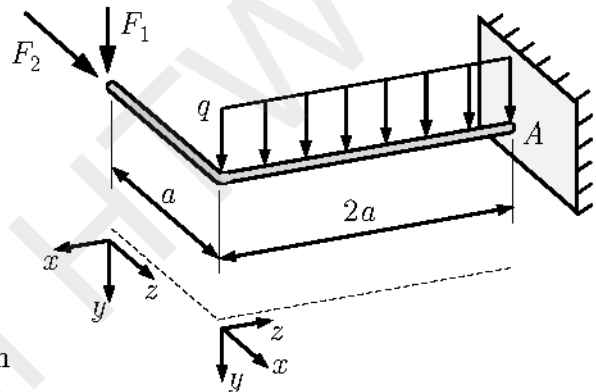
Ein einseitig fest eingespanntes räumliches Tragwerk ist durch zwei Einzelkräfte und eine konstante Streckenlast belastet.

Gesucht:

1. Auflagerreaktionen bei  $A$
2. Schnittreaktionen

Zahlenwerte:  $F_1 = 200 \text{ N}$ ,  $F_2 = 400 \text{ N}$ ,  
 $q = 1,0 \text{ N/mm}$ ,  $a = 200 \text{ mm}$

Lösung

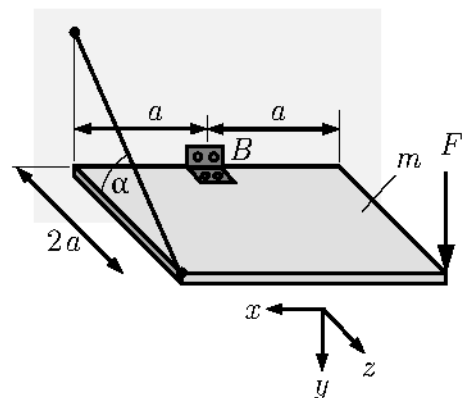


### Aufgabe 1.6.4

Für das abgebildete Klappbrett in waagerechter Lage sind die Lagerreaktionen und die Seilkraft zu berechnen. Die Befestigung bei  $B$  erfolgt über ein Scharnier, das um die  $x$ -Achse drehbar ist. Die Belastung erfolgt durch die Einzelkraft und das Eigengewicht des Bretts.

Zahlenwerte:  $F = 50 \text{ N}$ ,  $m = 2,3 \text{ kg}$ ,  
 $a = 22 \text{ cm}$ ,  $\alpha = 30^\circ$   
 $g = 9,81 \text{ m/s}^2$

Lösung



### Aufgabe 1.6.5

Eine in  $B$  und  $C$  gelenkig gelagerte Antriebswelle mit schräg verzahntem Zahnrad (Wälzkreisdurchmesser  $2r$  und Schrägungswinkel  $\beta$ ) überträgt bei der Drehzahl  $n$  die Leistung  $P$ .

Hinweis: Bei einer Schrägverzahnung entstehen zusätzlich zur für die Momentenübertragung relevanten Tangentialkraft  $F_t$  stets noch 2 Kraftkomponenten in axialer Richtung

$$F_a = F_t \cdot \tan \beta$$

und in radialer Richtung

$$F_r = F_t \cdot \tan \alpha_n / \cos \beta,$$

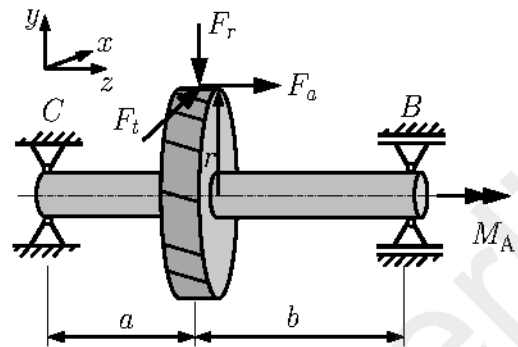
wobei  $\alpha_n$  der Normaleneingriffswinkel der Verzahnung ist.

Gesucht:

1. Übertragenes Antriebsmoment  $M_A$  und Verzahnungskräfte  $F_t, F_a, F_r$
2. Auflagerreaktionen in  $B$  und  $C$
3. Schnittmomente in der Welle mit grafischer Darstellung
4. Maximales Biegemoment  $M_{b,max}$

Zahlenwerte:  $P = 2,0 \text{ kW}$ ,  $n = 1200 \text{ U/min}$ ,  $a = 200 \text{ mm}$ ,  $b = 300 \text{ mm}$ ,  
 $r = 43,2 \text{ mm}$ ,  $\alpha_n = 20^\circ$ ,  $\beta = 15^\circ$

Lösung

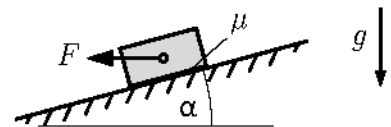


## 1.7 Reibung

### Aufgabe 1.7.1

Wie hoch muss die horizontal angreifende Kraft mindestens sein, damit der Körper die Haftreibung überwindet?

Zahlenwerte:  $m = 200 \text{ kg}$ ,  $g = 9,81 \text{ m/s}^2$ ,  $\alpha = 15^\circ$ ,  
 $\mu = 0,3$



Lösung

### Aufgabe 1.7.2

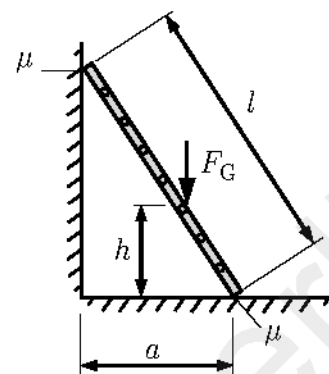
Eine Person (Gewichtskraft  $F_G$ ) klettert die an einer Wand lehende Leiter der Länge  $l$  hinauf. Die Reibung zwischen Leiter und Wand sowie zwischen Leiter und Boden kann mit demselben Haftreibungskoeffizienten  $\mu$  beschrieben werden. Das Eigengewicht der Leiter kann vernachlässigt werden.

Gesucht:

Wie hoch kann die Person steigen, ohne dass die Leiter rutscht?

Zahlenwerte:  $F_G = 800 \text{ N}$ ,  $l = 10 \text{ m}$ ,  $a = 4 \text{ m}$ ,  $\mu = 0,3$

Lösung



### Aufgabe 1.7.3

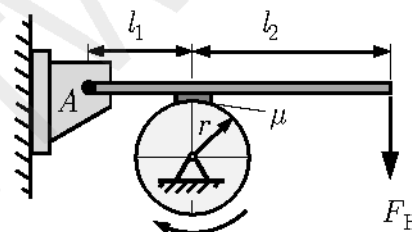
Mit einer Handbackenbremse wird eine rotierende Welle abgebremst. Am Ende des Hebels wirkt die Kraft  $F_H$

Gesucht:

1. Auf die Welle wirkendes Bremsmoment
2. Resultierende Kraft auf Bolzen in A
3. Schnittreaktionen im Hebel

Zahlenwerte:  $F_H = 200 \text{ N}$ ,  $l_1 = 300 \text{ mm}$ ,  $l_2 = 600 \text{ mm}$ ,  $\mu = 0,4$ ,  $r = 160 \text{ mm}$

Lösung



### Aufgabe 1.7.4

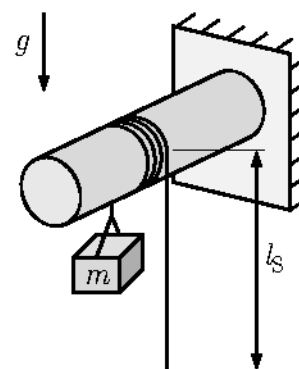
Um ein waagerechtes Rundholz soll ein Seil so oft umschlungen werden, dass eine Kiste der Masse  $m$  allein durch das Gewicht des auf der anderen Seite frei hängenden Seiles gehalten werden kann. Das Seil hat das Längengewicht  $m_{L,S}$ .

Gesucht:

Erforderliche Anzahl der Umschlingungen

Zahlenwerte:  $m = 200 \text{ kg}$ ,  $l_S = 3 \text{ m}$ ,  $g = 9,81 \text{ m/s}^2$ ,  
 $m_{L,S} = 120 \text{ g/m}$ ,  $\mu = 0,5$

Lösung



### Aufgabe 1.7.5

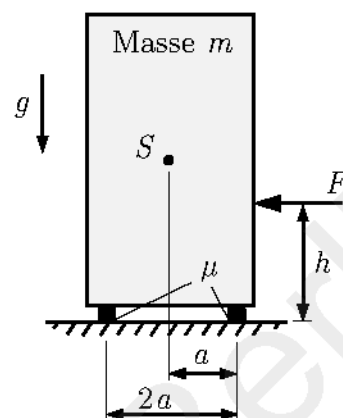
Ein Schrank der Masse  $m$  soll verrückt werden. Dafür wird von der ausführenden Person eine horizontal wirkende Kraft  $F$  aufgebracht.

Gesucht:

1. Erforderliche Kraft um den Schrank zu verrücken
2. Lastangriffshöhe  $h$ , ab der der Schrank eher kippt als verschoben wird

Zahlenwerte:  $m = 55 \text{ kg}$ ,  $a = 30 \text{ cm}$ ,  $g = 9,81 \text{ m/s}^2$ ,  
 $\mu = 0,45$

Lösung



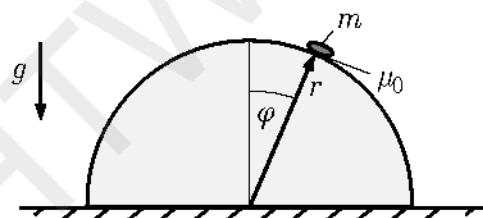
### Aufgabe 1.7.6

Auf einem halbkugelförmigen Iglu liegt ein flacher Stein. Zwischen Eis und Stein wirkt Haftreibung mit dem Koeffizienten  $\mu_0 = 0,04$ .

Gesucht:

Winkel  $\varphi$ , bei dem der Stein zu rutschen beginnt

Lösung



### Aufgabe 1.7.7

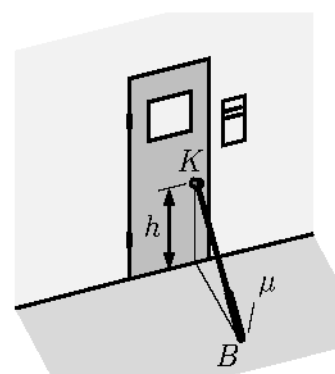
Mit einem Teleskopstab unter dem Türknauf soll das Öffnen der Tür von Innen verhindert werden. Der Haftreibungskoeffizient zwischen Stab und Boden beträgt  $\mu$ .

Gesucht:

Maximale Länge  $l$  des Stabs, mit der das Türöffnen verhindert werden kann

Zahlenwerte:  $h = 105 \text{ cm}$ ,  $\mu = 0,42$

Lösung



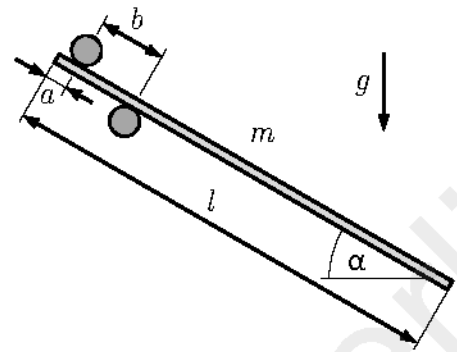
### Aufgabe 1.7.8

Ein Brett (Länge  $l$ , Masse  $m$ ) soll zwischen zwei Rundhölzern geklemmt werden.

Wie groß müsste der Haftreibungskoeffizient  $\mu_0$  sein, damit das Brett in der gezeigten Lage nicht abrutscht?

Zahlenwerte:  $m = 1 \text{ kg}$ ,  $l = 2 \text{ m}$ ,  $a = 10 \text{ cm}$ ,  
 $b = 30 \text{ cm}$ ,  $\alpha = 30^\circ$ ,  $g = 9,81 \text{ m/s}^2$

Lösung



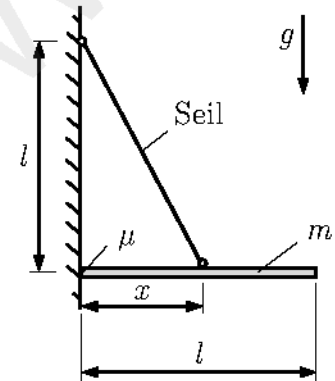
### Aufgabe 1.7.9

Ein Stab wird an einem Seil befestigt und soll sich in waagerechter Stellung zur Wand nur durch Reibung abstützen.

In welcher Entfernung  $x$  von der Wand muss das Seil befestigt werden, damit der Stab nicht abrutscht?

Zahlenwerte:  $m = 1 \text{ kg}$ ,  $l = 1 \text{ m}$ ,  $\mu = 0,5$ ,  $g = 9,81 \text{ m/s}^2$

Lösung



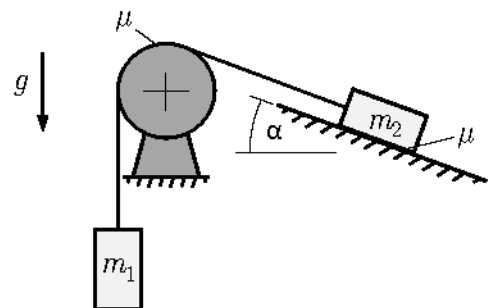
### Aufgabe 1.7.10

Zwei Kisten der Massen  $m_1$  und  $m_2$  sind über ein Seil verbunden, das über eine fest stehende Rolle geführt ist. Zwischen Seil und Rolle sowie zwischen der Kiste mit der Masse  $m_2$  und dem Untergrund liegt Haftreibung vor.

In welchem Bereich muss die Masse  $m_2$  liegen, damit das System in Ruhe bleibt.

Zahlenwerte:  $m_1 = 100 \text{ kg}$ ,  $\alpha = 20^\circ$ ,  $\mu = 0,3$ ,  
 $g = 9,81 \text{ m/s}^2$

Lösung



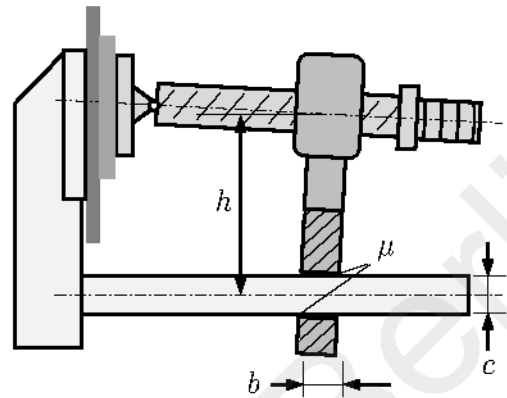
**Aufgabe 1.7.11**

Mit Hilfe einer Schraubzwinge können mehrere Werkstücke zur Bearbeitung festgehalten werden.

Gesucht ist das Mindestmaß  $b$ , für das Selbsthemmung gegen das Verschieben auf der unteren Schiene eintritt.

Hinweis: Die Schrägstellung der Teile gegeneinander ist hier übertrieben dargestellt und braucht bei der Formulierung der Gleichgewichtsbilanzen nicht berücksichtigt werden.

Zahlenwerte:  $c = 38 \text{ mm}$ ,  $h = 115 \text{ mm}$ ,  
 $\mu = 0,18$



Lösung

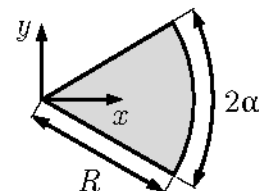
**1.8 Schwerpunktberechnung****Aufgabe 1.8.1**

Ein Kreisabschnitt habe den Radius  $R$  und den Öffnungswinkel  $2\alpha$

Gesucht:

1. Schwerpunktkoordinaten in Abhängigkeit von  $\alpha$
2. Schwerpunktkoordinaten für den Viertel- und Halbkreis

Gegeben:  $R$ ,  $\alpha$



Lösung

### Aufgabe 1.8.2

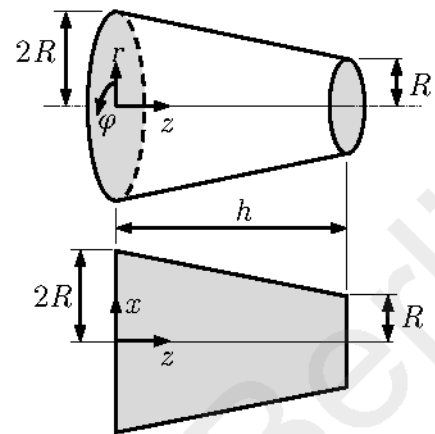
Ein Trapez entspreche der Schnittfläche eines Kegelstumpfes.

Gesucht:

1. Flächenschwerpunkt des Trapezes durch Integration
2. Volumenschwerpunkt des Kegelstumpfes durch Integration

Gegeben:  $R, h$

Lösung

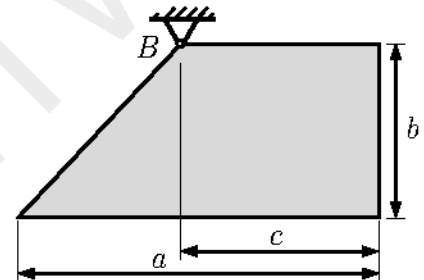


### Aufgabe 1.8.3

Ein Blech mit trapezförmiger Grundfläche soll im Punkt  $B$  gelenkig aufgehängt werden. Das Maß  $c$  soll so bestimmt werden, dass die Unterkante des Blechs waagrecht liegt.

Gegeben:  $a = 4,8 \text{ dm}$ ,  $b = 2,3 \text{ dm}$

Lösung



### Aufgabe 1.8.4

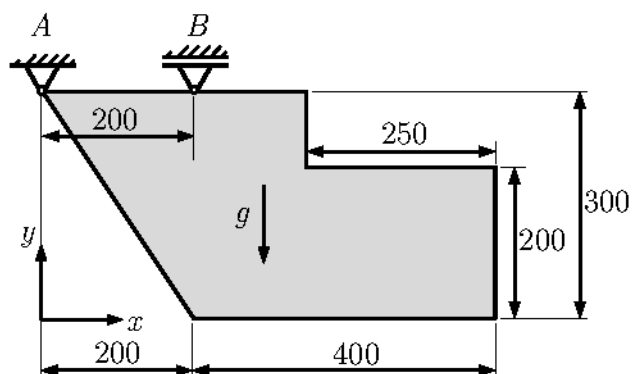
Gegeben ist ein Stahlblech der Dicke  $d$  mit den gezeigten Abmessungen in mm.

Gesucht:

1. Lage des Schwerpunkts im Koordinatensystem  $(x, y)$
2. Auflagerreaktionen infolge des Eigengewichts

Zahlenwerte:  $\rho_{\text{Stahl}} = 7,85 \text{ g/cm}^3$ ,  
 $d = 5 \text{ mm}$ ,  $g = 9,81 \text{ m/s}^2$

Lösung

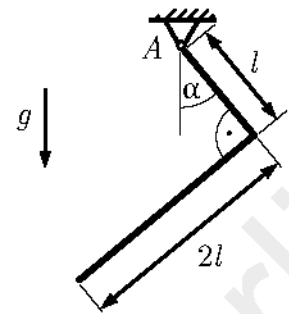


### Aufgabe 1.8.5

Ein gebogener Draht ist im Punkt  $A$  gelenkig aufgehängt. Welcher Winkel  $\alpha$  stellt sich im Gleichgewichtsfall ein?

Gegeben:  $l$

Lösung



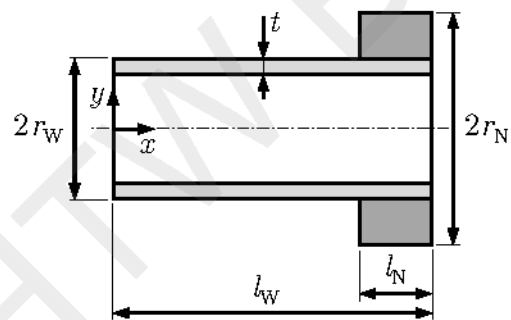
### Aufgabe 1.8.6

Durch einen zylindrischen Pressverband ist eine Nabe mit einer Hohlwelle fest verbunden. Die Dichte des Materials von Welle und Nabe ist gleich groß.

Gesucht ist die Lage des Gesamtschwerpunktes.

Zahlenwerte:  $r_W = 18,6 \text{ mm}$ ,  $r_N = 30,7 \text{ mm}$ ,  
 $l_W = 42,1 \text{ mm}$ ,  $l_N = 9,6 \text{ mm}$ ,  
 $t = 2,1 \text{ mm}$

Lösung



## 1.9 Flächenträgheitsmomente

### Aufgabe 1.9.1

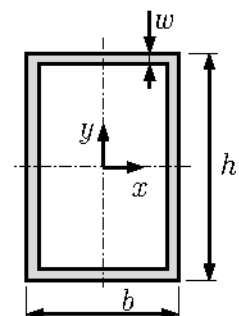
Für einen Träger mit Kastenprofil sollen die Flächenträgheitsmomente des Querschnitts ermittelt werden.

Gesucht:

1.  $I_{xx}$ ,  $I_{yy}$ ,  $I_{xy}$
2. Hauptträgheitsmomente  $I_1$  und  $I_2$

Zahlenwerte:  $h = 60 \text{ mm}$ ,  $b = 40 \text{ mm}$ ,  $w = 3 \text{ mm}$

Lösung

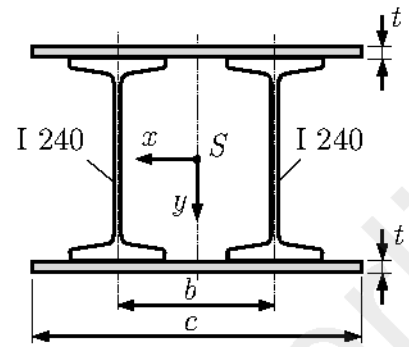


### Aufgabe 1.9.2

Beim Bau eines Containerschiffs soll ein Träger als Verbundprofil aus zwei Blechen ( $t \times c$ ) und zwei I-Profilen I 240 nach DIN 1025-1 (04/2009) verwendet werden.

Zu berechnen ist das Flächenträgheitsmoment des Trägers bezogen auf die  $x$ -Achse. Die Querschnittskennwerte der I-Profile sind der DIN zu entnehmen.

Zahlenwerte:  $c = 390 \text{ mm}$ ,  $b = 180 \text{ mm}$ ,  
 $t = 12,5 \text{ mm}$



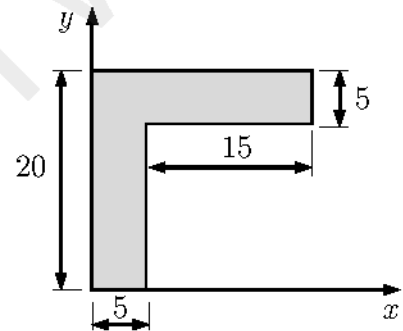
Lösung

### Aufgabe 1.9.3

Gegeben ist ein Träger mit Winkelprofil. Die Skizzenmaße sind in mm.

Gesucht:

1. Lage des Flächenschwerpunktes
2. Hauptträgheitsmomente  $I_1$  und  $I_2$
3. Lage der Hauptachsen



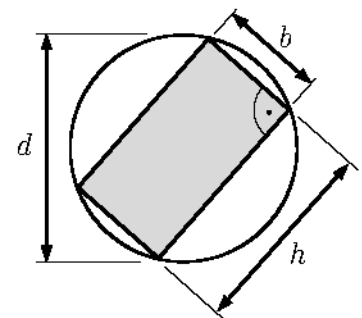
Lösung

### Aufgabe 1.9.4

Aus einem runden Baumstamm mit dem Durchmesser  $d$ , soll ein Balken mit Rechteckquerschnitt so ausgeschnitten werden, dass das Flächenträgheitsmoment maximal wird.

Gesucht:  $I_{\max}$

Gegeben:  $d$



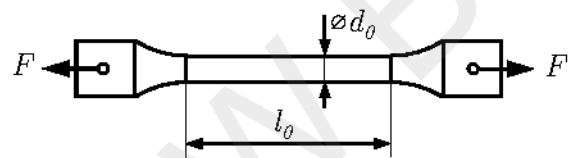
Lösung

## 2 Festigkeitslehre (TM2)

### 2.1 Grundlagen

#### Aufgabe 2.1.1

Zur Bestimmung der elastischen Materialparameter eines isotropen, metallischen Werkstoffs wird eine Probe im Zugversuch getestet. Bei einer Zugkraft von  $F$  werden für Länge und Durchmesser der Probe die Werte  $l_1$  und  $d_1$  gemessen. Dabei sind die Verformungen noch im elastischen Bereich.



Gesucht:

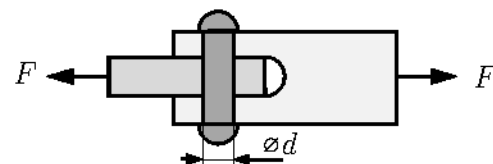
1. E-Modul  $E$
2. Querkontraktionszahl  $\nu$
3. Schubmodul  $G$
4. Um welchen Werkstoff könnte es sich demnach handeln?

Zahlenwerte:  $F = 14.253 \text{ N}$ ,  $l_0 = 80,714 \text{ mm}$ ,  $d_0 = 10,005 \text{ mm}$ ,  $l_1 = 80,920 \text{ mm}$ ,  
 $d_1 = 9,996 \text{ mm}$

Lösung

#### Aufgabe 2.1.2

Eine Bolzenverbindung ist auf Zug belastet. Gesucht ist der mindestens erforderliche Bolzendurchmesser  $d$ , damit die zulässige mittlere Schubspannung  $\tau_{zul}$  nicht überschritten wird.



Zahlenwerte:  $F = 10 \text{ kN}$ ,  $\tau_{zul} = 120 \text{ MPa}$

Lösung

## 2.2 Zug und Druck in Stäben

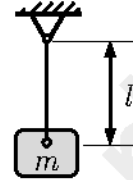
### Aufgabe 2.2.1

An einem Kupferkabel (Länge  $l$ , Querschnittsfläche  $A$ ) hängt bei Raumtemperatur  $T_0$  ein Bauteil der Masse  $m$ .

Gesucht:

1. Längenänderung  $\Delta l_0$  unter der Last
2. Längenänderung  $\Delta l_1$ , wenn zusätzlich noch die Temperatur auf  $T_1$  ansteigt.

Zahlenwerte:  $l = 0,5 \text{ m}$ ,  $A = 6,8 \text{ mm}^2$ ,  $m = 80 \text{ kg}$ ,  $E_{\text{Cu}} = 120 \text{ GPa}$ ,  
 $\alpha_{\text{Cu}} = 17 \cdot 10^{-6} \text{ K}^{-1}$ ,  $T_0 = 20^\circ$ ,  $T_1 = 65^\circ$ ,  $g = 9,81 \frac{\text{m}}{\text{s}^2}$



Lösung

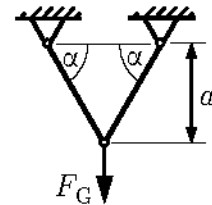
### Aufgabe 2.2.2

Ein Körper mit der Gewichtskraft  $F_G$  wird durch zwei Stahlstäbe mit Kreisquerschnitt (Durchmesser  $d$ ) gehalten.

Gesucht:

1. Spannung in den Stäben
2. Längenänderung der Stäbe  $\Delta l$
3. Vertikale Verschiebung des Lastangriffspunktes  $\Delta h$

Zahlenwerte:  $F_G = 6000 \text{ N}$ ,  $a = 1,5 \text{ m}$ ,  $d = 6 \text{ mm}$ ,  $\alpha = 60^\circ$ ,  $E = 210.000 \text{ MPa}$



Lösung

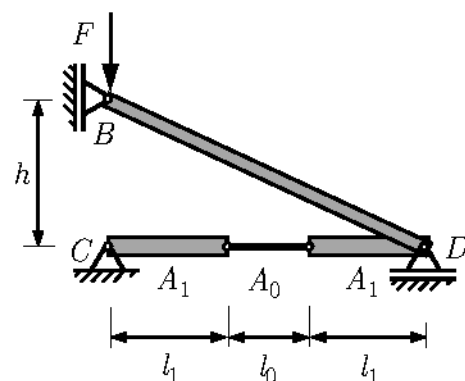
### Aufgabe 2.2.3

Das abgebildete Stabsystem aus Stahl besteht zwischen den Lagern  $C$  und  $D$  aus zwei Stäben ( $l_1$ ,  $A_1$ ), die durch ein Stahlseil ( $l_0$ ,  $A_0$ ) miteinander verbunden sind sowie einem Stab zwischen den Lagern  $B$  und  $D$ . Infolge der Belastung mit der Kraft  $F$  ist das Lager  $D$  um die Strecke  $\Delta l_{CD}$  verschoben.

Gesucht:

1. Kraft  $F$ , die Verschiebung  $\Delta l_{CD}$  bewirkt
2. Kraft  $F_{\text{max}}$ , die zum Bruch des Stahlseils (Zugfestigkeit  $R_m$ ) führt

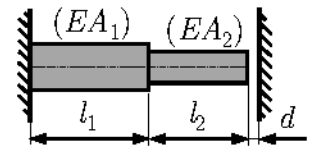
Zahlenwerte:  $l_0 = 120 \text{ mm}$ ,  $l_1 = 200 \text{ mm}$ ,  $A_0 = 4 \text{ mm}^2$ ,  $A_1 = 10 \text{ mm}^2$ ,  
 $h = 250 \text{ mm}$ ,  $E = 210.000 \text{ MPa}$ ,  $\Delta l_{CD} = 0,6 \text{ mm}$ ,  $R_m = 650 \text{ MPa}$



Lösung

### Aufgabe 2.2.4

Ein abgesetzter Stab aus Stahl ist zwischen zwei starren Wänden mit einem Spiel  $d$  montiert. Anschließend wird der Stab erwärmt, wobei der Abstand der Wände unverändert bleibt.



Gesucht:

1. Temperaturdifferenz  $\Delta T_1$ , wobei der Stab kraftfrei die rechte Wand berührt
2. Druckkraft gegen die Wand nach einer Erwärmung um  $\Delta T_2$
3. Maximale Spannung  $\sigma_{\max}$  im Stab

Zahlenwerte:  $l_1 = 2 \text{ m}$ ,  $l_2 = 1,5 \text{ m}$ ,  $A_1 = 8 \text{ cm}^2$ ,  $A_2 = 7 \text{ cm}^2$ ,  $d = 1,2 \text{ mm}$ ,  
 $E = 210.000 \text{ MPa}$ ,  $\alpha = 12 \cdot 10^{-6} \text{ K}^{-1}$ ,  $\Delta T_2 = 40 \text{ K}$ ,  $R_m = 650 \text{ MPa}$

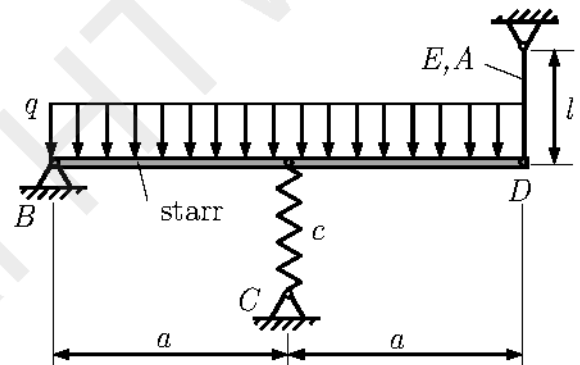
Lösung

### Aufgabe 2.2.5

Ein starrer Träger ist durch eine Feder (Steifigkeit  $c$ ) und einen Stab elastisch gelagert und mit einer konstanten Streckenlast belastet.

Gesucht: Auflagerreaktionen in  $B$ , Feder- und Stabkraft

Gegeben:  $q$ ,  $E$ ,  $A$ ,  $a$ ,  $l$ ,  $c$



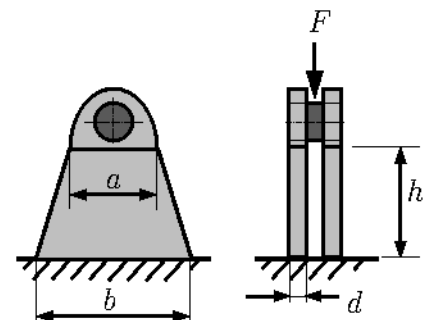
### Aufgabe 2.2.6

Ein Lagerbock aus Stahl besteht aus zwei trapezförmigen Platten der Höhe  $h$  und einem Aufsatz in dem über zwei Lageraugen mit Verbindungsbolzen die Lasteinleitung erfolgt.

Gesucht: Vertikale Lagersteifigkeit ( $c = \frac{F}{\Delta h}$ ).

Hinweis: Die Verformung von Lageraugen und Bolzen sollen vernachlässigt werden.

Zahlenwerte:  $a = 40 \text{ mm}$ ,  $b = 80 \text{ mm}$ ,  $h = 60 \text{ mm}$ ,  
 $d = 5 \text{ mm}$ ,  $E = 210.000 \text{ MPa}$



Lösung

### Aufgabe 2.2.7

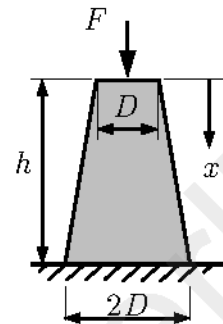
Ein konischer Betonpfeiler mit Kreisquerschnitt ist durch die Auflagerkraft  $F$  und sein Eigengewicht beansprucht.

Gesucht:

1. Druckspannungsverteilung  $\sigma_x(x)$
2. Maximale Spannung  $\sigma_{\max}$  im Pfeiler

Zahlenwerte:  $F = 2000 \text{ kN}$ ,  $D = 0,5 \text{ m}$ ,  $h = 10 \text{ m}$ ,  
 $\rho_{\text{Beton}} = 2,3 \frac{\text{g}}{\text{cm}^3}$ ,  $g = 9,81 \frac{\text{m}}{\text{s}^2}$

Lösung



### Aufgabe 2.2.8

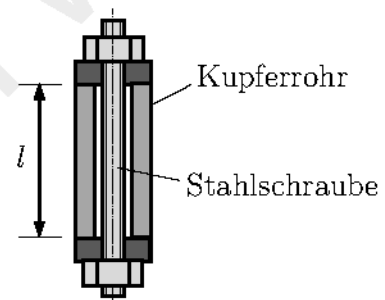
Eine Schraube wird in einem Kupferrohr verschraubt. Im spannungsfreien Zustand ist die Länge des Rohres  $l$ . Anschließend wird die obere Mutter um eine Umdrehung angezogen (Ganghöhe  $\delta$ ). Die Querschnittsflächen von Schraube und Rohr sind  $A_S$  bzw.  $A_R$ .

Gesucht:

1. Zugkraft in der Schraube
2. Verkürzung des Rohres  $\Delta l$

Zahlenwerte:  $l = 80 \text{ mm}$ ,  $A_S = 75,6 \text{ mm}^2$ ,  $A_R = 942,5 \text{ mm}^2$ ,  $\delta = 0,15 \text{ mm}$ ,  
 $E_{\text{St}} = 210.000 \text{ MPa}$ ,  $E_{\text{Cu}} = 120.000 \text{ MPa}$

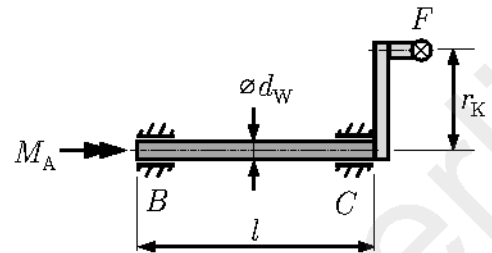
Lösung



## 2.3 Torsion

### Aufgabe 2.3.1

Zum Starten eines Kleinflugzeugs wird der Motor über eine Welle aus Stahl mit einer Handkurbel angedreht. In der gezeigten Position beträgt die Kraft in Umfangsrichtung der Kurbel  $F$ .



Gesucht:

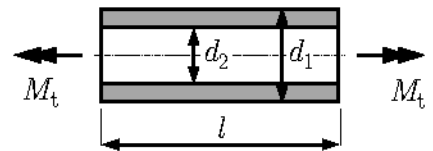
1. Aufgebrachtes Drehmoment  $M_A$
2. Maximale Schubspannung in der Welle  $\tau_{\max}$
3. Verdrehwinkel der Welle zwischen den Lagern  $B$  und  $C$

Zahlenwerte:  $F = 150 \text{ N}$ ,  $l = 500 \text{ mm}$ ,  $r_K = 250 \text{ mm}$ ,  $d_W = 15 \text{ mm}$ ,  
 $E = 210 \text{ GPa}$ ,  $\nu = 0,3$

[Lösung](#)

### Aufgabe 2.3.2

Zur Gewichtseinsparung soll eine auf Torsion beanspruchte Vollwelle mit dem Durchmesser  $d_1$  durch eine Hohlwelle gleichen Außendurchmessers und einem Innendurchmesser  $d_2$  ersetzt werden.



Gesucht:

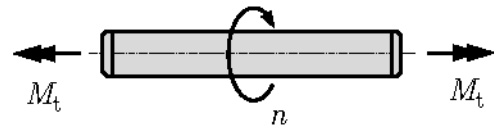
1. Relative Spannungserhöhung
2. Relative Erhöhung des Verdrehwinkels
3. Relative Masseinsparung

Zahlenwerte:  $d_1 = 42 \text{ mm}$ ,  $d_2 = 22 \text{ mm}$ ,  $l = 500 \text{ mm}$

[Lösung](#)

### Aufgabe 2.3.3

Eine Antriebswelle soll bei der Betriebsdrehzahl  $n_B$  eine Leistung  $P_B$  übertragen, ohne dass die zulässige Schubspannung  $\tau_{zul}$  überschritten wird.



Gesucht:

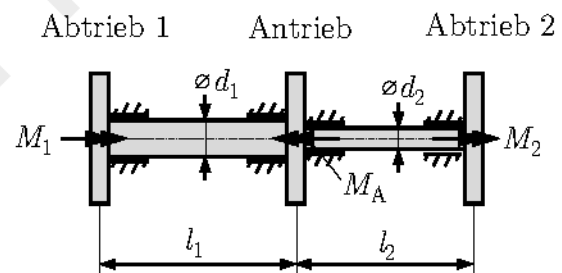
1. Torsionsmoment in der Welle
2. Erforderlicher Wellendurchmesser  $d_V$  bei Ausführung als Vollwelle
3. Erforderlicher Innendurchmesser  $d_{H,i}$  bei Ausführung als Hohlwelle mit einem Außendurchmesser  $d_{H,a} = 45$  mm ( $d_{H,i}$  auf ganzen Millimeter gerundet)
4. Gewichtseinsparung (in %) dieser Hohlwelle im Vergleich zur Vollwelle
5. Schubspannungen an der Innenwand der Hohlwelle

Zahlenwerte:  $n_B = 460$  U/min,  $P_B = 12$  kW,  $\tau_{zul} = 30$  MPa

Lösung

### Aufgabe 2.3.4

Das Antriebsmoment  $M_A$  einer Baumaschine wird über eine Welle auf zwei Abtriebe,  $M_1$  und  $M_2$ , verteilt. Aufgrund der Lagerung ist die Welle ausschließlich auf Torsion beansprucht (keine Biegung).



Gesucht:

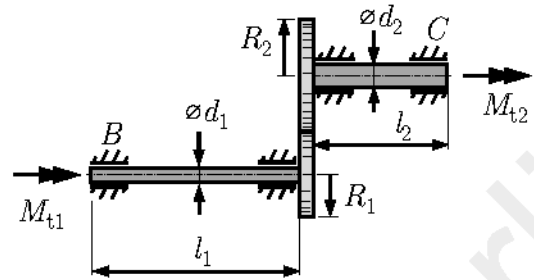
1. Erforderliches Antriebsmoment  $M_A$
2. Schnittmomente  $M_{t1}$  und  $M_{t2}$  in beiden Wellenabschnitten mit grafischer Darstellung des Verlaufs
3. Dimensionierung der Wellendurchmesser  $d_V$  bei Ausführung als Vollwelle für die zulässige Schubspannung  $\tau_{zul}$  (Durchmesser auf ganzen Millimeter gerundet)
4. Verdrehung beider Wellenabschnitte und Verdrehung beider Wellenenden gegeneinander

Zahlenwerte:  $M_1 = 4250$  Nm,  $M_2 = 2800$  Nm,  $l_1 = 0,8$  m,  $l_2 = 1,0$  m,  
 $G = 79.000$  MPa,  $\tau_{zul} = 30$  MPa

Lösung

### Aufgabe 2.3.5

Das einstufige Zahnradgetriebe in einem Antrieb besteht aus zwei Zahnrädern mit den Grundkreisradien  $R_1$  und  $R_2$  und zwei elastischen Vollwellen. An Welle 1 greift das Antriebsmoment  $M_{t1}$  an.



Gesucht:

1. Abtriebsmoment  $M_{t2}$
2. Erforderliche Wellendurchmesser  $d_1$  und  $d_2$  für zulässige Schubspannung  $\tau_{zul}$
3. Verdrehwinkel bei  $C$ , wenn Wellenende bei  $B$  festgehalten wird ( $d_1$  und  $d_2$  auf ganze Millimeter gerundet)

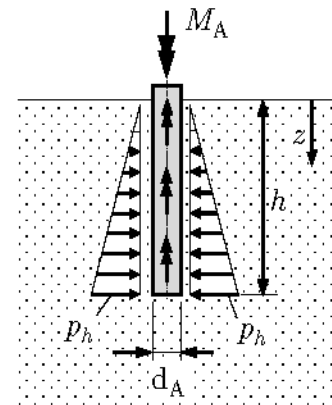
Hinweis: Zahnräder können als starr im Verhältnis zu den Wellen behandelt werden

Zahlenwerte:  $M_{t1} = 360 \text{ Nm}$ ,  $R_1 = 78,5 \text{ mm}$ ,  $R_2 = 115,75 \text{ mm}$ ,  $l_1 = 300 \text{ mm}$ ,  
 $l_2 = 150 \text{ mm}$ ,  $G = 79.000 \text{ MPa}$ ,  $\tau_{zul} = 55 \text{ MPa}$

Lösung

### Aufgabe 2.3.6

Bei Erdbohrungen in Lockergestein wird ein Stützrohr aus Stahl (Außendurchmesser  $d_A$ , Wandstärke  $t$ ) drehend eingebracht. Zwischen Rohr und Boden wirkt durch den horizontalen Erddruck  $p(z)$  Gleitreibung ( $\mu$ ). Es wird angenommen, dass  $p(z)$  linear ansteigt und in der Tiefe  $z = h$  den Wert  $p_h$  annimmt.



Gesucht:

1. Auf Rohr wirkendes Linienmoment  $M_t(z)$
2. Erforderliches Antriebsmoment  $M_A$  des Bohrgeräts
3. Maximale Schubspannung im Rohr

Zahlenwerte:  $h = 15 \text{ m}$ ,  $d_A = 880 \text{ mm}$ ,  $t = 12 \text{ mm}$ ,  $p_h = 42 \text{ kN/m}^2$ ,  $\mu = 0,36$

Lösung

**Aufgabe 2.3.7**

Eine Vollwelle besteht aus 3 Abschnitten: zwei zylindrische (Längen  $l_1$  und  $l_3$ ) und ein konischer (Länge  $l_2$ ) Abschnitt.

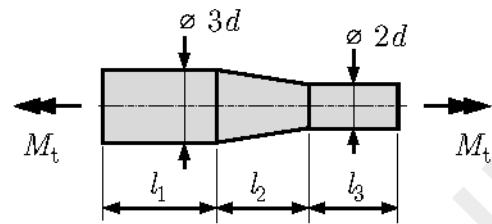
Gesucht:

1. Verdrehung der Wellenenden bei einer Belastung mit  $M_t$
2. Torsionssteifigkeit  $c_T = \frac{M_t}{\varphi}$  der Welle

Hinweis: Das für den Verdrehwinkel des konischen Wellenabschnitts zu lösende Integral vom Typ  $\int \frac{1}{(ax+b)^4} dx$  kann durch Integration mittels Substitution gelöst werden.

Zahlenwerte:  $M_t = 120 \text{ Nm}$ ,  $l_1 = 70 \text{ mm}$ ,  $l_2 = 60 \text{ mm}$ ,  $l_3 = 50 \text{ mm}$ ,  $d = 12 \text{ mm}$ ,  
 $G = 79.000 \text{ MPa}$

Lösung

**Aufgabe 2.3.8**

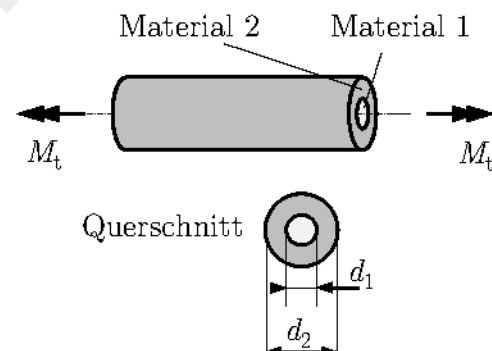
Ein Bauteil ist als Verbund aus zwei verschiedenen Werkstoffen aufgebaut. Dabei ist ein Rohr aus Material 2 (Durchmesser  $d_2$ , Schubmodul  $G_2$ ) fest auf einen Stab aus Material 1 (Durchmesser  $d_1$ , Schubmodul  $G_1$ ) gefügt. Das Bauteil wird auf Torsion beansprucht.

Gesucht:

1. Maximale Schubspannungen in Stab (1) und Rohr (2)
2. Verdrillung  $\theta$  des Bauteils (Verdrehwinkel bezogen auf die Länge)

Zahlenwerte:  $d_1 = 32 \text{ mm}$ ,  $d_2 = 60 \text{ mm}$ ,  $G_1 = 80.000 \text{ MPa}$ ,  $G_2 = 32.000 \text{ MPa}$ ,  
 $M_t = 800 \text{ Nm}$

Lösung



### Aufgabe 2.3.9

Ein Rohr (Außendurchmesser  $d_a$ , Wandstärke  $t$ , Länge  $l$ ) wird auf Torsion beansprucht. Es sollen die beiden Varianten untersucht werden:

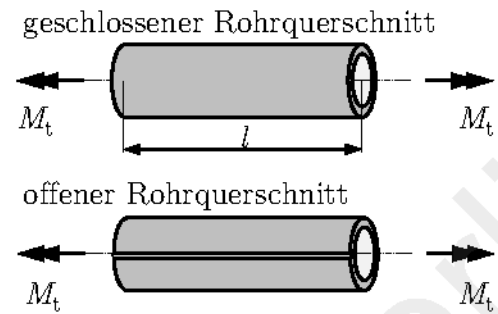
- geschlossener Rohrquerschnitt
- offener Rohrquerschnitt (aufgeschlitzt)

Gesucht:

- Maximale Schubspannungen
- Verdrehwinkel der Endquerschnitte zueinander

Zahlenwerte:  $d_a = 30 \text{ mm}$ ,  $t = 2 \text{ mm}$ ,  $l = 1,5 \text{ m}$ ,  
 $G = 80.000 \text{ MPa}$ ,  $M_t = 10 \text{ Nm}$

Lösung



## 2.4 Biegung

### Aufgabe 2.4.1

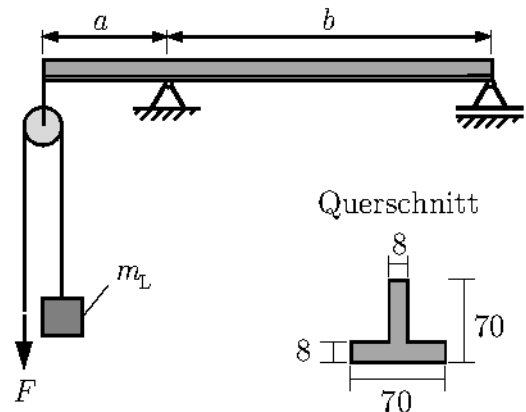
Zum Heben von Lasten (Masse  $m_L$ ) wird eine Umlenkrolle an einem Stahlträger mit T-Profil befestigt. Der Träger wird aus konstruktiven Gründen mit der Stegseite nach unten befestigt.

Gesucht:

Zulässige Masse, damit  $\sigma_{zul}$  im Träger nicht überschritten wird

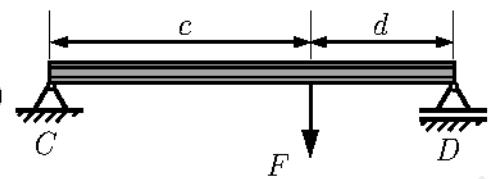
Zahlenwerte:  $a = 0,3 \text{ m}$ ,  $b = 1,2 \text{ m}$ ,  
 $\sigma_{zul} = 160 \text{ MPa}$ ,  $g = 9,81 \text{ m/s}^2$

Lösung



### Aufgabe 2.4.2

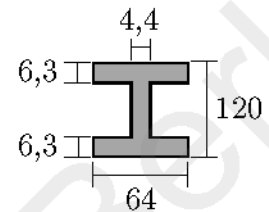
In einer Fabrikhalle soll ein Träger mit der Kraft  $F$  belastet werden. Der Träger ist aus dem Baustahl S275 und als Walzprofil mit dem Querschnitt IPE120 ausgeführt.



Gesucht:

1. Flächenträgheitsmoment für die zutreffende Biegeachse
2. Maximales Biegemoment im Träger
3. Maximale Biegespannungen im Träger mit Angabe, ob Zug- oder Druckspannungen
4. Sicherheit  $S_F$  gegen plastisches Fließen

Querschnitt  
IPE 120  
(in mm)

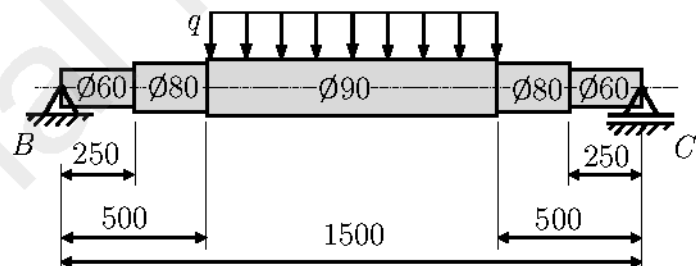


Zahlenwerte:  $c = 1,2 \text{ m}$ ,  $d = 0,6 \text{ m}$ ,  $F = 20 \text{ kN}$

Lösung

### Aufgabe 2.4.3

Eine abgesetzte Welle ist durch eine Streckenlast  $q$  belastet. Die Abmessungen in der Abbildung sind in mm angegeben.



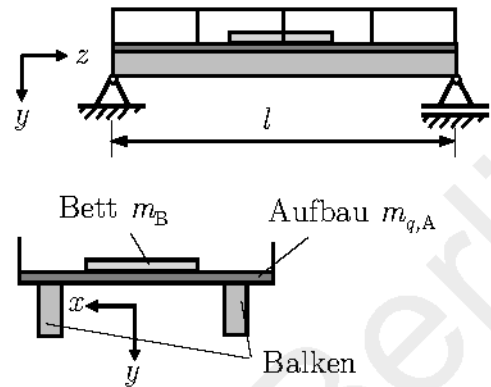
1. Biege widerstandsmomente der verschiedenen Abschnitte
2. Biegespannungsverlauf

Zahlenwerte:  $q = 40 \text{ N/mm}$ , Skizzenmaße in mm

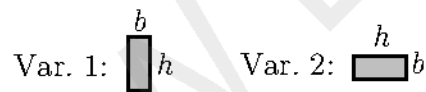
Lösung

### Aufgabe 2.4.4

Beim Bau eines Hochbettes sollen für die tragenden Holzbalken (Rechteckquerschnitt  $h \times b$ ) zwei Varianten untersucht werden: Var. 1: hochkant und Var. 2: flachkant. Dafür sind das Eigengewicht der Balken (Dichte  $\rho$ ), das Gewicht des Aufbaus (Streckengewicht  $m_{q,A}$ ) und das Gewicht des eigentlichen Bettes mit Zuladung (Matratze, Kopfkissen, Zudecke, Kopfkissen sowie 3 Personen:  $m_B$ ) zu berücksichtigen. Die zulässige Biegespannung für Konstruktionsholz ist mit  $\sigma_{zul}$  gegeben. Nehmen Sie für die Auslegung die Gewichtskraft des Bettes als Einzelkraft in der Mitte sowie eine gleichmäßige Aufteilung der Lasten auf beiden Balken an.



Orientierung Balkenquerschnitt



Gesucht:

1. Mechanisches Modell der Balken mit Belastung
2. Maximale Spannweite  $l$  des Hochbettes für die Varianten 1 und 2

Zahlenwerte:  $\rho = 500 \text{ kg/m}^3$ ,  $\sigma_{zul} = 18 \text{ MPa}$ ,  $m_{q,A} = 20 \text{ kg/m}$ ,  $m_B = 230 \text{ kg}$ ,  
 $h = 12 \text{ cm}$ ,  $b = 4 \text{ cm}$ ,  $g = 9,81 \text{ m/s}^2$

Lösung

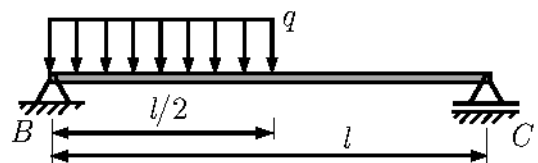
### Aufgabe 2.4.5

Ein dünner Edelstahlträger mit Vollkreisquerschnitt (Durchmesser  $d$ ) wird mit einer Streckenlast  $q$  wie abgebildet belastet.

Gesucht:

Ort und Betrag der maximalen Biegespannung

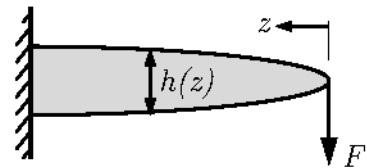
Zahlenwerte:  $l = 70 \text{ mm}$ ,  $d = 3,5 \text{ mm}$ ,  $q = 2,5 \text{ N/mm}$



Lösung

### Aufgabe 2.4.6

Formleichtbau bezeichnet ein Leichtbaukonzept, bei dem die Geometrie eines Bauteils so optimiert wird, dass die Auslastung möglichst konstant ist. Am Beispiel des einseitig eingespannten Trägers mit Rechteckquerschnitt (konstante Breite  $b$ ) soll die Querschnittshöhe so dimensioniert werden, dass in jedem Querschnitt die gleiche maximale Biegespannung  $\sigma_{zul}$  auftritt (Träger gleicher Festigkeit).

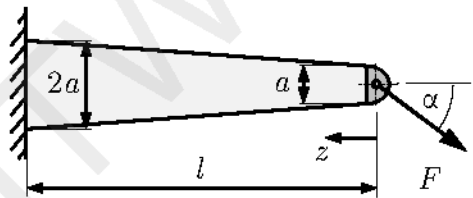


Gesucht:  $h(z)$  in Abhängigkeit von  $F$ ,  $b$ ,  $\sigma_{zul}$

Lösung

### Aufgabe 2.4.7

Ein Träger mit veränderlichem Rechteckquerschnitt (konstante Breite  $b$ ) wird mit einer schräg angreifenden Kraft belastet.



Gesucht:

1. Verlauf der maximalen Spannung im Querschnitt  $\sigma_{max}(z)$
2. Ort und Größe der maximalen Spannung

Zahlenwerte:  $a = 100 \text{ mm}$ ,  $b = 50 \text{ mm}$ ,  $l = 1000 \text{ mm}$ ,  $F = 50 \text{ kN}$ ,  $\alpha = 35^\circ$

Lösung

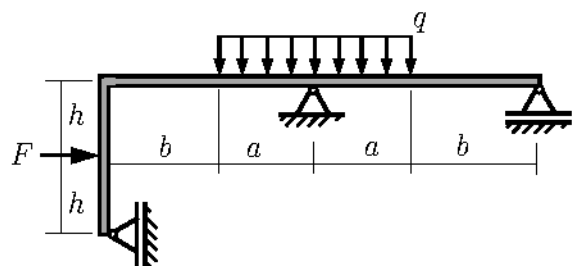
### Aufgabe 2.4.8

Für das Tragwerk soll die Biegelinie bestimmt werden.

Gesucht:

1. Grad der statischen Bestimmtheit
2. Bereichseinteilung zur Berechnung der Schnittmomente
3. Rand- und Übergangsbedingungen

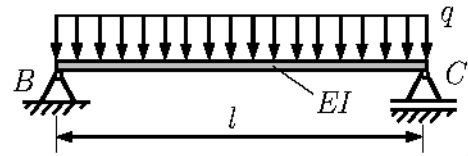
Gegeben:  $a$ ,  $b$ ,  $h$ ,  $F$ ,  $q$



Lösung

### Aufgabe 2.4.9

Ein Träger mit konstantem Querschnitt ist beidseitig gelenkig gelagert und durch eine konstante Streckenlast  $q$  belastet.



Gesucht:

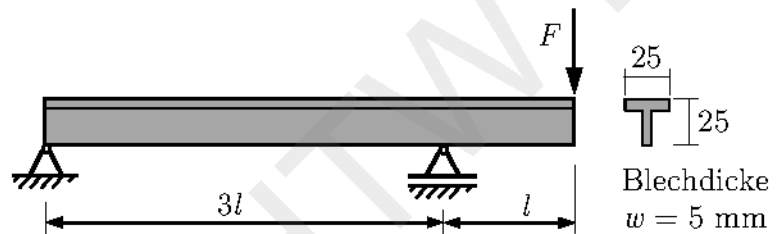
1. Gleichung der Biegelinie  $v(z)$
2. Maximale Durchbiegung

Gegeben:  $q, l, EI$

Lösung

### Aufgabe 2.4.10

Aus zwei Blechen ( $25 \times 5$  und  $20 \times 5$ ) wurde ein Träger mit T-Profil geschweißt. Für die nachfolgenden Berechnungen soll das Eigengewicht vernachlässigt werden.



Gesucht:

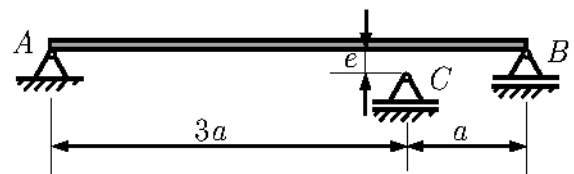
1. Ort und Größe der maximalen Biegespannung
2. Ort und Größe der maximalen Durchbiegung

Gegeben:  $F = 900 \text{ N}, l = 150 \text{ mm}, E = 2,1 \cdot 10^5 \text{ MPa}$

Lösung

### Aufgabe 2.4.11

Eine Welle mit Vollkreisquerschnitt (Durchmesser  $d$ ) aus einer Al-Legierung soll durch die Lager A, B und C gehalten werden. Fertigungsbedingt ist Lager C um den Wert  $e$  zur Wellenlängsachse verschoben.



Gesucht:

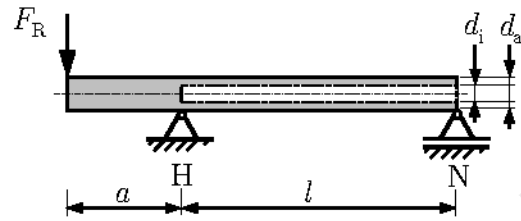
1. Bei C angreifende notwendige Montagekraft  $F_C$ , um Welle in Lager zu drücken
2. Maximale Biegespannung in der Welle nach der Montage in Lager C (ohne Querkraftschub)

Zahlenwerte:  $a = 200 \text{ mm}, d = 25 \text{ mm}, e = 4,25 \text{ mm}, E_{\text{Al-Leg.}} = 70.000 \text{ MPa}$

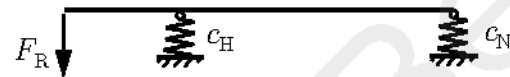
Lösung

### Aufgabe 2.4.12

Die Hauptspindel einer Werkzeugmaschine wird beim Fräsen mit einer Radialkraft  $F_R$  belastet. Die Spindel hat den Außendurchmesser  $d_a$  und ist im Abschnitt 1, zwischen Kraftangriffspunkt und Hauptlager H, mit Vollkreisquerschnitt sowie im Abschnitt 2, zwischen Haupt- und Nebenlager, mit Hohlkreisquerschnitt ausgeführt.



Modell mit Lagersteifigkeit



Gesucht:

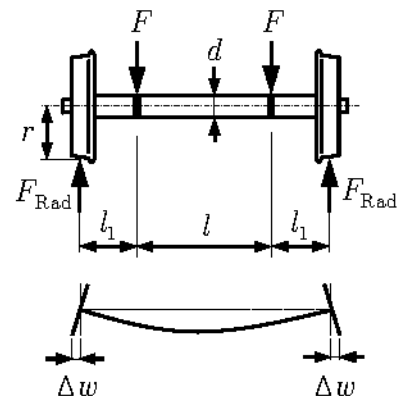
1. Durchbiegung der Spindel am Lastangriffspunkt
2. Gesamtverschiebung des Lastangriffspunkts unter Berücksichtigung von Durchbiegung und Lagersteifigkeit

Zahlenwerte:  $F_R = 4000 \text{ N}$ ,  $a = 200 \text{ mm}$ ,  $l = 550 \text{ mm}$ ,  $d_a = 80 \text{ mm}$ ,  $d_i = 40 \text{ mm}$ ,  
 $c_H = c_N = 147,5 \text{ kN/mm}$ ,  $E = 210.000 \text{ MPa}$

Lösung

### Aufgabe 2.4.13

Die Radsatzwelle eines Straßenbahnwagens wird bei Geradeausfahrt mit konstanter Geschwindigkeit symmetrisch durch zwei vertikale Kräfte  $F$  an den Wälzlagern belastet. Aufgrund der elastischen Durchbiegung der Radsatzwelle verschieben sich die Kontaktpunkte zwischen Rad und Schiene jeweils um  $\Delta w$  in horizontaler Richtung.



Vereinfachend darf angenommen werden, dass die Radsatzwelle einen konstanten Durchmesser (Vollwelle) hat und Reibung zwischen Rad und Schiene vernachlässigt werden kann.

Gesucht:

1. Minstdurchmesser  $d_{\min}$ , damit  $\Delta w_{\text{zul}}$  mm nicht überschritten wird
2. Maximale Biegespannung mit dem auf ganze Millimeter gerundeten Durchmesser

Hinweise: Bei Aufgabe 1. kann mit der Kleinwinkelnäherung  $\tan \varphi \approx \sin \varphi \approx \varphi$  oder exakt mit der Identität  $\sin(\arctan(\varphi)) = \frac{\varphi}{\sqrt{\varphi^2+1}}$  gerechnet werden. Weiterhin kann die Berechnung der Durchbiegung unter Ausnutzung der Symmetrie erfolgen.

Zahlenwerte:  $F = 96.000 \text{ N}$ ,  $l = 2050 \text{ mm}$ ,  $l_1 = 300 \text{ mm}$ ,  $r = 410 \text{ mm}$ ,  
 $\Delta w_{\text{zul}} = 0,8 \text{ mm}$ ,  $E = 210.000 \text{ MPa}$

Lösung

### Aufgabe 2.4.14

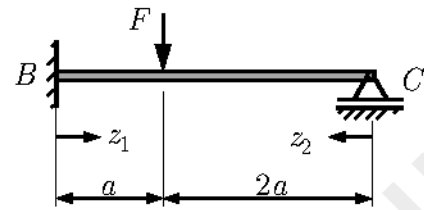
Ein Träger ist durch eine Einzelkraft belastet und statisch unbestimmt gelagert.

Gesucht:

1. Auflagerreaktionen
2. Ort und Größe der maximalen Durchbiegung

Gegeben:  $F$ ,  $a$ ,  $EI = \text{konst.}$

Lösung



### Aufgabe 2.4.15

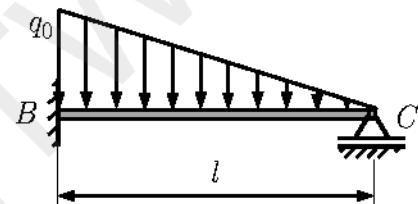
Der Träger aus der vorherigen Aufgabe ist jetzt durch eine linear verteilte Streckenlast belastet.

Gesucht:

1. Auflagerreaktionen
2. Biegelinie  $v(z)$

Gegeben:  $q_0$ ,  $l$ ,  $EI = \text{konst.}$

Lösung



### Aufgabe 2.4.16

Ein Balken mit Rechteckquerschnitt ist zwischen den Lagern mit einer konstanten Streckenlast belastet.

Gesucht:

1. Ort und Größe der maximalen Durchbiegung  $v_{\max}$
2. Ort und Größe der maximalen Auslenkung  $u_{\max}$

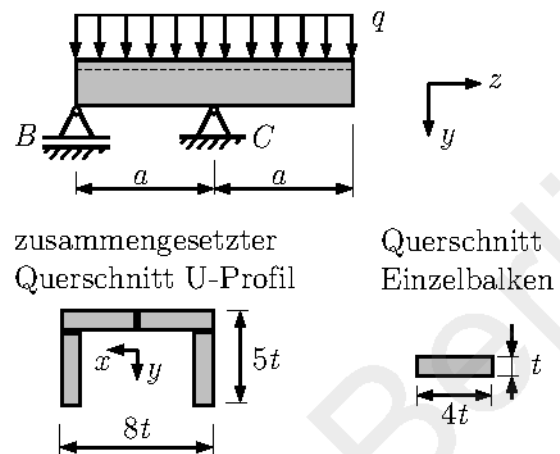
Zahlenwerte:  $q = 100 \text{ N/mm}$ ,  $l = 800 \text{ mm}$ ,  $E = 2,1 \cdot 10^5 \text{ N/mm}^2$ ,  
 $I_{xx} = 51412 \text{ mm}^4$ ,  $I_{yy} = 284414 \text{ mm}^4$

Lösung



### Aufgabe 2.4.17

Ein Träger wurde aus 4 Einzelbalken mit Rechteckquerschnitt zu einem U-Profil durch Verkleben hergestellt. Er besteht aus Kunststoff (Polyamid) und ist durch eine konstante Streckenlast belastet. Entsprechend der Schubspannungen in der Klebeschicht soll ein Kleber ausgewählt werden.



1. Angabe, welche Klebeschichten auf Schub beansprucht werden
2. Schubspannungen in den relevanten Klebeschichten

Zahlenwerte:  $q = 25 \text{ N/mm}$ ,  $a = 80 \text{ mm}$ ,  $t = 5 \text{ mm}$

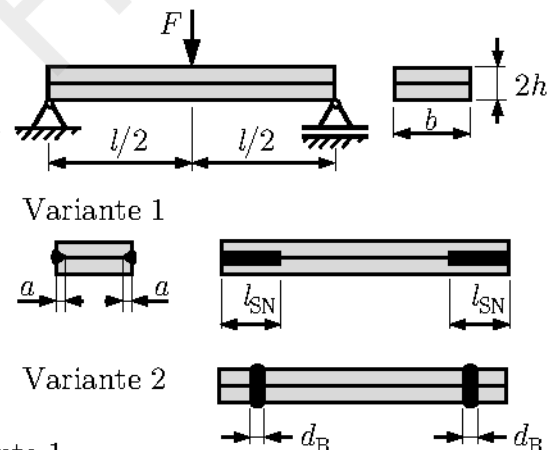
Lösung

### Aufgabe 2.4.18

Ein Träger unter Querkraftbiegung soll als Verbund aus zwei Stahlblechen ausgeführt werden. Dafür sind zwei Varianten zu untersuchen.

Variante 1: Verschweißen auf der Länge  $l_{SN}$  gemäß Abbildung.

Variante 2: Verbindung der Träger mit 2 Bolzen aus Vergütungsstahl.



Gesucht:

1. Erforderliche Schweißnahtlänge für Variante 1
2. Erforderlicher Nietdurchmesser  $d_B$  für Variante 2

Zahlenwerte:  $F = 12 \text{ kN}$ ,  $l = 1250 \text{ mm}$ ,  $h = 25 \text{ mm}$ ,  $b = 100 \text{ mm}$ ,  $a = 5 \text{ mm}$ ,  
 zul. Schubspannung in Schweißnaht  $\tau_{zul,SN} = 65 \text{ MPa}$ ,  
 zul. mittlere Schubspannung für Bolzen  $\tau_{zul,B} = 150 \text{ MPa}$

Lösung

## 2.5 Allgemeine Beanspruchungszustände

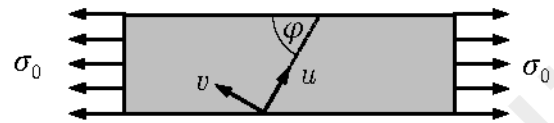
### Aufgabe 2.5.1

Ein auf Zug beanspruchtes Blech ist über eine schräg liegende Schweißnaht gefügt.

Gesucht:

1. Normalspannung  $\sigma_v$
2. Schubspannung  $\tau_{uv}$

Zahlenwerte:  $\varphi = 60^\circ$ ,  $\sigma_0$



Lösung

### Aufgabe 2.5.2

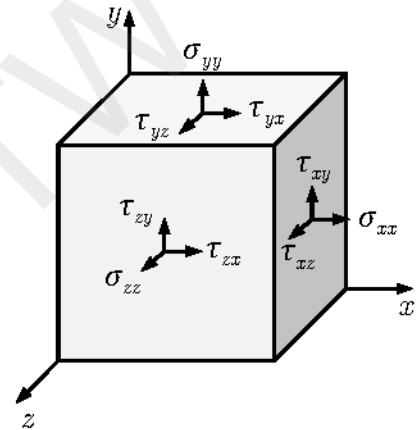
Gegeben sind die Koordinaten des Spannungstensors im räumlichen Spannungszustand.

Gesucht:

1. Hauptspannungen
2. maximale Schubspannung

Hinweis: Die Lösung der kubischen Gleichung kann numerisch erfolgen.

Zahlenwerte:  $\sigma_{xx} = 120 \text{ MPa}$ ,  $\tau_{xy} = 45 \text{ MPa}$ ,  
 $\tau_{xz} = 10 \text{ MPa}$ ,  $\sigma_{yy} = -85 \text{ MPa}$ ,  
 $\tau_{yz} = 20 \text{ MPa}$ ,  $\sigma_{zz} = 60 \text{ MPa}$



Lösung

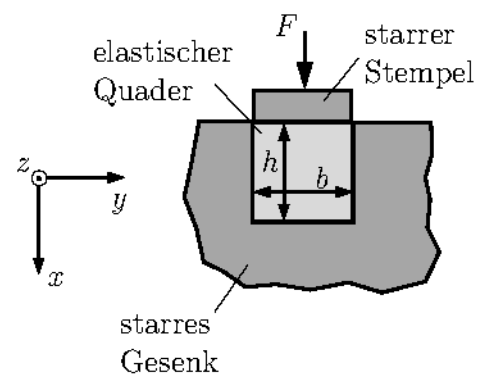
### Aufgabe 2.5.3

Ein Quader mit quadratischer Grundfläche aus elastischem, isotropen Material wird mit der Kraft  $F$  über einen starren Stempel in ein ebenfalls starres Gesenk gedrückt. Unbelastet passt der Quader spielfrei in das Gesenk. Aufgrund der Schmierung kann die Reibung zwischen Quader und Gesenk vernachlässigt werden.

Gesucht:

1. Spannungen  $\sigma_x$ ,  $\sigma_y$  und  $\sigma_z$
2. Stauchung des Quaders  $\Delta h$

Zahlenwerte:  $b = 16 \text{ mm}$ ,  $h = 18 \text{ mm}$ ,  $F = 2400 \text{ N}$ ,  $E = 2250 \text{ MPa}$ ,  $\nu = 0,4$

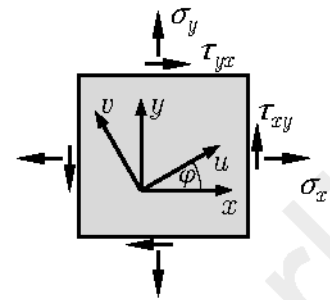


Lösung

### Aufgabe 2.5.4

Gegeben ist der ebene Spannungszustand (ESZ) auf der freien Oberfläche eines Bauteils mit den Koordinaten des Spannungstensors:

$$\underline{\underline{\sigma}} = \begin{pmatrix} -250 & 50 \\ 50 & 80 \end{pmatrix} \text{ MPa}$$



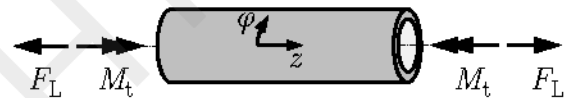
Gesucht:

1. Hauptspannungen und Hauptspannungsrichtungen
2. Koordinaten des Spannungstensors im um  $\varphi = 30^\circ$  gedrehten Koordinatensystem  $(u, v)$

Lösung

### Aufgabe 2.5.5

Ein Edelstahlrohr (Außendurchmesser  $d_a$ , Wandstärke  $t$ ) in einer chemischen Fertigungsanlage wird in einem geraden Abschnitt mit einer Längskraft  $F_L$  und auf einem Torsionsmoment  $M_t$  belastet.



Gesucht:

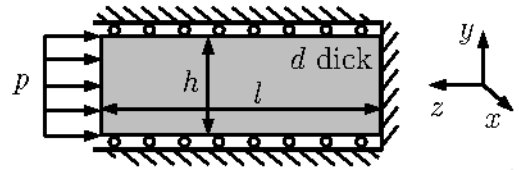
1. Darstellung des Spannungszustands auf einem Punkt auf der Bauteiloberfläche im gezeigten Polarkoordinatensystem  $(\varphi, z)$  (Skizze)
2. Koordinaten des Spannungstensors für diesen Punkt auf der Bauteiloberfläche im Koordinatensystem  $(\varphi, z)$
3. Hauptspannungen und Hauptspannungsrichtungen, maximale Schubspannung
4. Angabe der Mehrachsigkeit des Spannungszustands auf der Oberfläche

Zahlenwerte:  $d_a = 150 \text{ mm}$ ,  $t = 6 \text{ mm}$ ,  $F_L = 95 \text{ kN}$ ,  $M_t = 1500 \text{ Nm}$

Lösung

**Aufgabe 2.5.6**

Eine rechteckige Scheibe ( $h \times l \times d$ ) aus einer Al-Legierung wird durch den konstant verteilten Druck  $p$  belastet. Durch die reibungsfreie Führung ist die Verformung in  $y$ -Richtung behindert.



Gesucht:

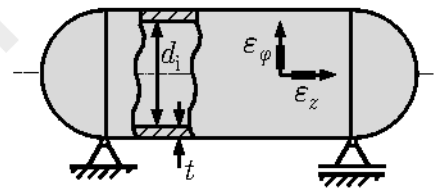
1. Längenänderung  $\Delta l$
2. Dickenänderung  $\Delta d$

Zahlenwerte:  $h = 200 \text{ mm}$ ,  $l = 560 \text{ mm}$ ,  $d = 30 \text{ mm}$ ,  $E = 72.000 \text{ MPa}$ ,  $\nu = 0,33$ ,  
 $p = 120 \text{ MPa}$

Lösung

**Aufgabe 2.5.7**

An einem stählernen Druckausgleichsbehälter für einen chemischen Prozess sind Dehnmessstreifen (DMS) zur Kontrolle des Innendrucks appliziert. Nach einem Havariefall werden die Dehnungsänderungen  $\Delta \varepsilon_z$  und  $\Delta \varepsilon_\varphi$  gemessen.



Gesucht:

Druckanstieg  $\Delta p_i$

Zahlenwerte:  $\Delta \varepsilon_z = 0,00636 \%$ ,  $\Delta \varepsilon_\varphi = 0,02701 \%$ ,  $d_i = 980 \text{ mm}$ ,  $t = 40 \text{ mm}$ ,  
 $E = 205.000 \text{ MPa}$ ,  $\nu = 0,3$

Lösung

## 2.6 Festigkeitshypothesen

### Aufgabe 2.6.1

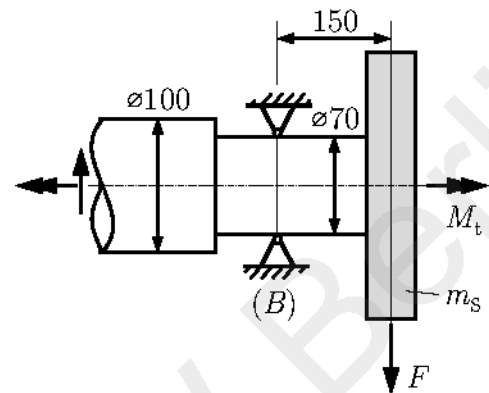
Der Querschnitt (B) an der Lagerstelle einer Triebwerkswelle aus Vergütungsstahl C40 mit außen aufgesetzter Riemenscheibe soll überprüft werden. An der Riemenscheibe wirkt die Riemenzugkraft  $F$  und die Riemenscheibe hat die Masse  $m_S$ . Die Triebwerkswelle soll bei der Drehzahl  $n$  die Leistung  $P$  übertragen. Die Maße in der Skizze sind in mm angegeben.

Gesucht:

Vergleichsspannung im Querschnitt (B)

Zahlenwerte:  $F = 5700 \text{ N}$ ,  $n = 100 \text{ U/min}$ ,  $P = 10,2 \text{ kW}$ ,  $m_S = 80 \text{ kg}$ ,  
 $g = 9,81 \text{ m/s}^2$

Lösung



### Aufgabe 2.6.2

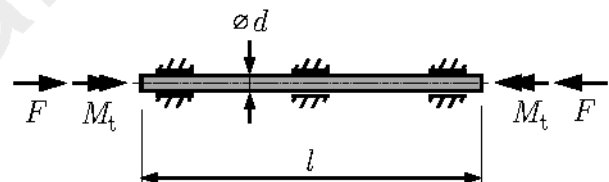
Die Antriebswelle eines Schiffspropellers aus Stahl (Länge  $l$ ) ist auf Druck und Torsion beansprucht. Die Welle überträgt bei der Drehzahl  $n$  die Antriebsleistung  $P_A = M_t \cdot 2\pi n$ .

Gesucht:

1. Schnittmoment  $M_t$
2. Erforderlicher Durchmesser  $d_{\min}$  für zulässigen Verdrehwinkel der Welle  $\varphi_{\text{zul}}$
3. Auslastungsgrad für zulässige Spannung  $\sigma_{\text{zul}}$  (GEH)

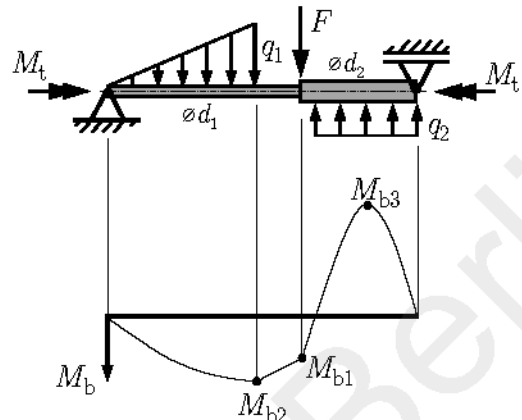
Zahlenwerte:  $F = 10^6 \text{ N}$ ,  $P_A = 3,6 \text{ MW}$ ,  $l = 10 \text{ m}$ ,  $n = 110 \text{ U/min}$ ,  $\varphi_{\text{zul}} = 5^\circ$ ,  
 $\sigma_{\text{zul}} = 205 \text{ MPa}$ ,  $E = 210.000 \text{ MPa}$ ,  $\nu = 0,3$

Lösung



### Aufgabe 2.6.3

Gegeben ist eine abgesetzte Welle (Durchmesser  $d_1$  und  $d_2$ ) unter Biegung und Torsionsbelastung. Der Biegemomentenverlauf wurde bereits ermittelt und ist mit den charakteristischen Werten  $M_{b1}$ ,  $M_{b2}$  und  $M_{b3}$  gegeben.



Gesucht:

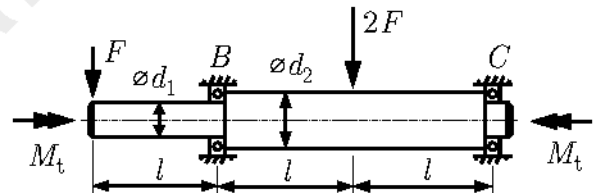
1. Ort und Größe der maximalen Vergleichsspannung (GEH)
2. Festigkeitsnachweis für geforderte Sicherheit gegen Fließen  $S_F$
3. Gegebenenfalls Anpassung der Wellendurchmesser

Zahlenwerte:  $d_1 = 90 \text{ mm}$ ,  $d_2 = 110 \text{ mm}$ ,  $M_t = 8,5 \text{ kNm}$ ,  $M_{b1} = 6,34 \text{ kNm}$ ,  
 $M_{b2} = 8,64 \text{ kNm}$ ,  $M_{b3} = -12,95 \text{ kNm}$ ,  $R_e = 210 \text{ MPa}$ ,  $S_F = 1,5$

Lösung

### Aufgabe 2.6.4

Eine abgesetzte Welle aus Vergütungsstahl wird auf Biegung und Torsion beansprucht. Die Lagerung ist gelenkig (keine Momentenaufnahme).



Gesucht:

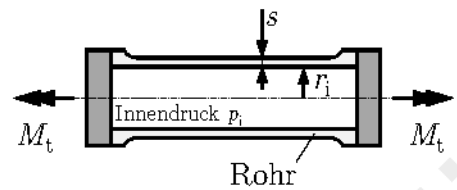
1. Ort und Größe der maximalen Vergleichsspannung (GEH)  
Hinweis: Nennspannungen, ohne Kerbwirkung
2. Verdrehwinkel zwischen Anfangs- und Endquerschnitt

Zahlenwerte:  $F = 10 \text{ kN}$ ,  $M_t = 2,5 \text{ kNm}$ ,  $d_1 = 60 \text{ mm}$ ,  $d_2 = 80 \text{ mm}$ ,  
 $l = 500 \text{ mm}$ ,  $G = 80.000 \text{ MPa}$

Lösung

### Aufgabe 2.6.5

Ein dünnwandiges Rohr aus duktilem Stahl steht unter dem Innendruck  $p_i$  und wird zusätzlich auf Torsion belastet.



Gesucht:

1. Maximale Vergleichsspannung im mittleren Bereich
2. Maximal zulässiges Torsionsmoment  $M_{t,max}$  für geforderte Sicherheit  $S_F$  gegen plastisches Fließen

Zahlenwerte:  $r_i = 80 \text{ mm}$ ,  $s = 5 \text{ mm}$ ,  $p_i = 3 \text{ MPa}$ ,  $M_t = 4 \text{ kNm}$ ,  $R_e = 240 \text{ MPa}$ ,  $S_F = 1,8$

Lösung

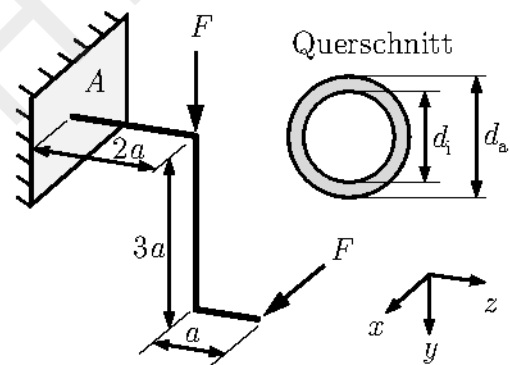
### Aufgabe 2.6.6

Ein abgewinkelter Hebel mit Kreisringquerschnitt ist durch zwei Einzelkräfte belastet.

Gesucht:

Erforderlicher Innendurchmesser für  $\sigma_{zul}$  nach der GEH

Zahlenwerte:  $F = 350 \text{ N}$ ,  $a = 0,4 \text{ m}$ ,  
 $d_a = 50 \text{ mm}$ ,  
 $\sigma_{zul} = 180 \text{ MPa}$



Lösung

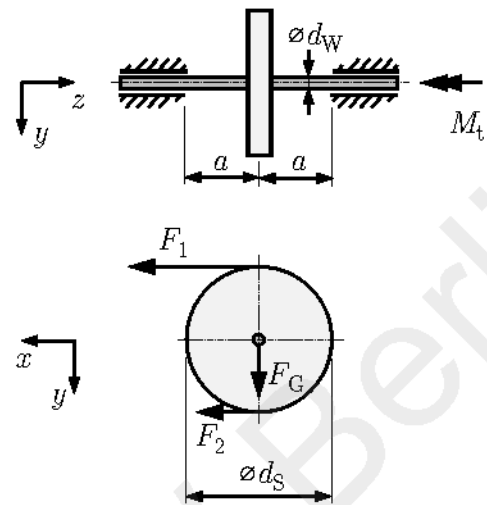
### Aufgabe 2.6.7

Eine Riemenscheibe (Durchmesser  $d_S$ , Masse  $m_S$ ) wird durch die Riemenkräfte  $F_1$  und  $F_2$  angetrieben. Die Wellenlager können Biegemomente aufnehmen (rotierende Einspannungen). Die Welle ist aus Baustahl (S355) hergestellt.

Gesucht:

1. Ort und Größe von maximalem Biege- und Torsionsmoment
2. Erforderlicher Wellendurchmesser  $d_W$ , für geforderte Sicherheit gegen Fließen ( $S_F = 1,8$ )

Zahlenwerte:  $F_1 = 800 \text{ N}$ ,  $F_2 = 450 \text{ N}$ ,  
 $a = 250 \text{ mm}$ ,  $d_S = 300 \text{ mm}$ ,  
 $m_S = 45 \text{ kg}$ ,  $R_e = 355 \text{ MPa}$ ,  $g = 9,81 \text{ m/s}^2$



Lösung

### Aufgabe 2.6.8

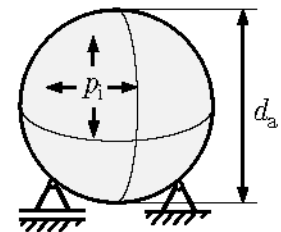
Für einen kugelförmigen Hochdruckbehälter mit festen Konstruktionsmaßen sind 2 Varianten der Werkstoffauswahl zu untersuchen.

- a) Baustahl S235
- a) Grauguss EN-GJL-300

Gesucht:

1. Zulässiger Innendruck für a) bei geforderter Sicherheit gegen Fließen  $S_F = 1,5$
2. Zulässiger Innendruck für b) bei geforderter Sicherheit gegen Bruch  $S_B = 3,0$
3. Aufweitung des Durchmessers  $\Delta d$  unter Auslegungsdruck für beide Varianten

Zahlenwerte:  $d_a = 400 \text{ mm}$ ,  $s = 10 \text{ mm}$  (Wandstärke)  
 S235:  $R_e = 235 \text{ MPa}$ ,  $E = 210.000 \text{ MPa}$ ,  $\nu = 0,3$   
 EN-GJL-300:  $R_m = 300 \text{ MPa}$ ,  $E = 108.000 \text{ MPa}$ ,  $\nu = 0,26$



Lösung

## 2.7 Stabilität

### Aufgabe 2.7.1

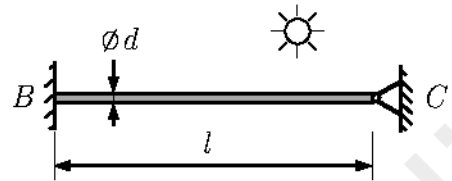
Ein Stab aus S235 mit Rundquerschnitt ist bei Raumtemperatur zunächst spannungsfrei und wird anschließend bis zum Knicken homogen erwärmt.

Gesucht:

1. Untersuchung, ob elastisches oder inelastisches Knicken vorliegt
2. Temperaturerhöhung  $\Delta T_K$ , die zum Knicken führt

Zahlenwerte:  $d = 10 \text{ mm}$ ,  $l = 500 \text{ mm}$ ,  $\alpha = 12,2 \cdot 10^{-6} \text{ K}^{-1}$

Lösung



### Aufgabe 2.7.2

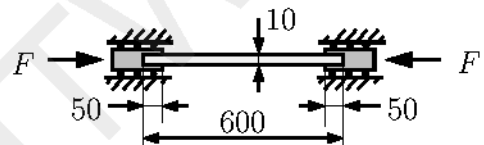
Die Schieberstange einer Maschine wird auf Druck belastet. Die Stange ist ein Flachstab (Rechteckquerschnitt  $h \times b$ ). Die Maße in der Skizze sind in mm angegeben.

Gesucht:

1. Knicksicherheit, wenn der Flachstab aus Baustahl S235 besteht
2. Knicksicherheit für C45

Zahlenwerte: Flachstab:  $h = 10 \text{ mm}$ ,  $b = 20 \text{ mm}$ ,  
 $F = 11,5 \text{ kN}$ ,  $\lambda_{0,S235} = 105$ ,  $\lambda_{0,C45} = 73$

Lösung



### Aufgabe 2.7.3

Eine Nähmaschinennadel aus Stahl (C45) mit dem skizzierten Querschnitt mit der Länge  $l$  ragt aus einer festen Einspannung heraus.

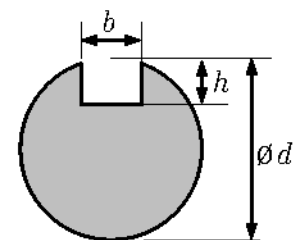
Gesucht:

1. Druck-Längskraft bei der die Nadel ausknickt
2. Vergleich mit überschlägiger Rechnung unter Vernachlässigung der Aussparung

Hinweis: Die Behandlung der Aussparung als Rechteck ist für die Berechnung der Querschnittskenngrößen hinreichend genau.

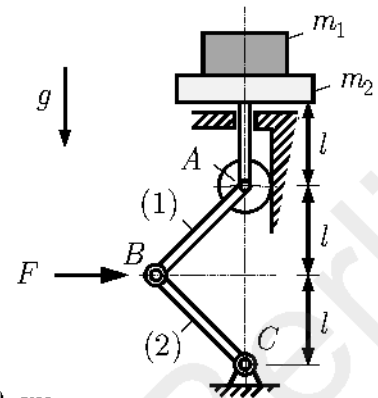
Zahlenwerte:  $h = 0,3 \text{ mm}$ ,  $b = 0,4 \text{ mm}$ ,  $d = 1,2 \text{ mm}$ ,  $l = 28 \text{ mm}$ ,  
 $E = 210.000 \text{ MPa}$ ,  $\lambda_{0,C45} = 73$

Lösung



### Aufgabe 2.7.4

Die Kniehebel (1) und (2) einer Hubvorrichtung haben jeweils die Länge  $l_H$  und einen Vollkreisquerschnitt mit dem Durchmesser  $d_H$ . In der dargestellten Hebelstellung wirkt am Gelenk  $B$  die Kraft  $F$ , die das Gewicht von Plattform ( $m_2$ ) und Last ( $m_1$ ) im Gleichgewicht hält.



Gesucht:

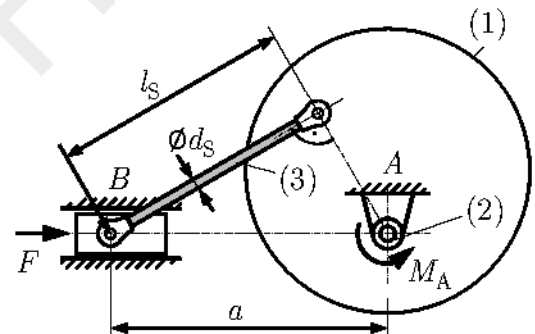
1. Haltekraft  $F$
2. Knicksicherheit der Kniehebel, wenn diese aus Baustahl S235 gefertigt sind

Zahlenwerte: Kniehebel:  $l_H = 80$  cm,  $d_H = 20$  mm,  $l = 60$  cm,  
 $E = 210.000$  MPa,  $m_1 = 350$  kg,  $m_2 = 25$  kg,  $g = 9,81$  m/s<sup>2</sup>

Lösung

### Aufgabe 2.7.5

Ein Exzenterantrieb besteht aus dem Exzenter (1), der Antriebswelle (2) und der Exzenterstange (3), welche aus Stahl S235 mit Vollkreisquerschnitt gefertigt ist.



Gesucht:

1. Zulässige Druckkraft  $F_{S,zul}$  in der Exzenterstange für geforderte Knicksicherheit  $S_K = 6$
2. Verkürzung der Exzenterstange  $\Delta l_S$  durch zulässige Druckkraft
3. Maximales Antriebsmoment  $M_A$  für geforderte Knicksicherheit

Zahlenwerte:  $l_S = 500$  mm,  $d_S = 15$  mm,  $a = 548,3$  mm,  $E = 210.000$  MPa

Lösung

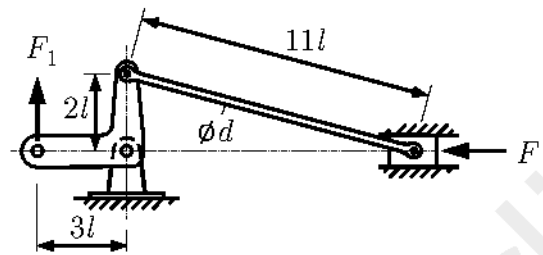
### Aufgabe 2.7.6

Der Querschnitt der Gelenkstange an einem Winkelhebel gemäß Abbildung ist zu dimensionieren.

Gesucht:

Erforderlicher Durchmesser  $d_{\text{erf}}$  der Gelenkstange aus Baustahl S235 für die geforderte Knicksicherheit  $S_K$

Zahlenwerte:  $l = 50 \text{ mm}$ ,  $F_1 = 4000 \text{ N}$ ,  $E = 210.000 \text{ MPa}$ ,  $S_K = 10$



Lösung

# 3 Kinetik (TM3)

## 3.1 Kinematik

### Aufgabe 3.1.1

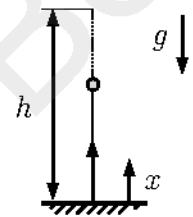
Ein Stein wird bei  $t = 0$  s senkrecht nach oben geworfen und trifft bei  $t = t_1$  wieder in der Abwurfhöhe auf. Der Luftwiderstand soll vernachlässigt werden.

Gesucht:

1. Abwurfgeschwindigkeit  $v_0$
2. Erreichte Höhe  $h$
3. Aufprallgeschwindigkeit  $v_1$

Zahlenwerte:  $t_1 = 4$  s,  $g = 9,81$  m/s<sup>2</sup>

[Lösung](#)

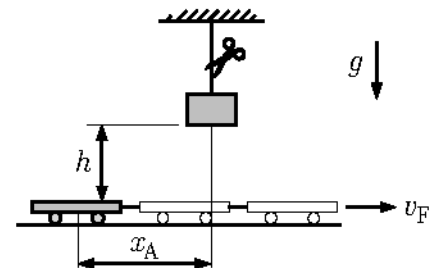


### Aufgabe 3.1.2

In einer Fertigungsanlage für Tiefkühlprodukte soll eine Kiste so aus der Höhe  $h$  abgeworfen werden, dass diese genau mittig auf der vorgegebenen Position des Förderbandes landet. Das Förderband bewegt sich mit konstanter Geschwindigkeit  $v_F$ . In welchem Abstand  $x_A$  muss die Arretierung der Kiste dafür gelöst werden?

Zahlenwerte:  $h = 50$  cm,  $v_F = 0,7$  m/s,  $g = 9,81$  m/s<sup>2</sup>

[Lösung](#)



### Aufgabe 3.1.3

Ein Fahrstuhl fährt mit der Nenngeschwindigkeit  $v_N$  nach unten. Im Havariefall „Versagen der Halteseile“ greift die Fangvorrichtung bei der Geschwindigkeit  $v_F$ . Welche Bremsbeschleunigung  $a_B$  ist erforderlich, damit der Fahrstuhl ab dem Moment des Seilversagens maximal die Strecke  $s_{\max}$  zurücklegt?

Zahlenwerte:  $v_N = 3,8 \text{ m/s}$ ,  $v_F = 4,8 \text{ m/s}$ ,  $s_{\max} = 3,2 \text{ m}$ ,  $g = 9,81 \text{ m/s}^2$

Lösung

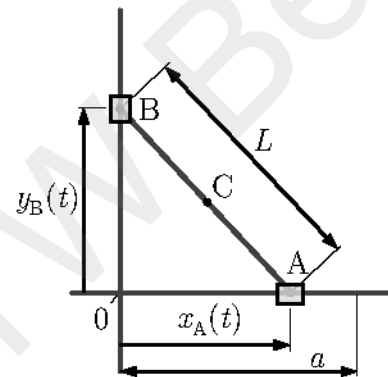
### Aufgabe 3.1.4

Zwei Körper  $A$  und  $B$  sind über einen Stab der Länge  $l$  gekoppelt und bewegen sich jeweils auf geraden Führungsschienen. Der Körper  $A$  schwingt harmonisch um den Punkt  $0$  mit der Amplitude  $a$  und der Kreisfrequenz  $\Omega$ . Zu Beginn der Bewegung ( $t = 0$ ) befindet sich  $A$  am Punkt  $0$ .

Gesucht:

1. Weg-Zeit-Beziehung von  $A$ :  $x_A(t)$
2. Kinematische Zusammenhänge  $y_B(t)$  und  $\dot{y}_B(t)$
3. Betrag der Geschwindigkeit des mittig auf der Stange liegenden Punktes  $v_C(t)$

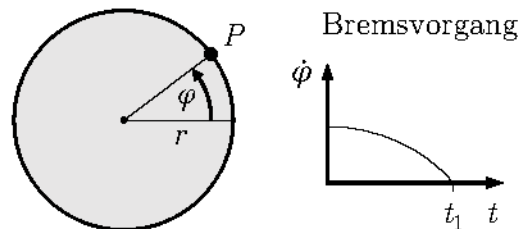
Gegeben:  $a$ ,  $\Omega$ ,  $L$



Lösung

### Aufgabe 3.1.5

Ein Punkt  $P$  bewegt sich auf einer Kreisbahn (Radius  $r$ ) mit der Drehzahl  $n_0$ . Zum Zeitpunkt  $t_0 = 0 \text{ s}$  wird der Punkt abgebremst, so dass er zum Zeitpunkt  $t_1$  zur Ruhe kommt. Während des Bremsvorgangs nimmt die Geschwindigkeit quadratisch ab.



Hinweis: Die Bremsbeschleunigung steigt bei  $t_0$  mit Null beginnend an, so dass die Parabel  $\dot{\varphi}(t)$  bei  $t_0$  ihren Scheitelpunkt hat.

Gesucht:

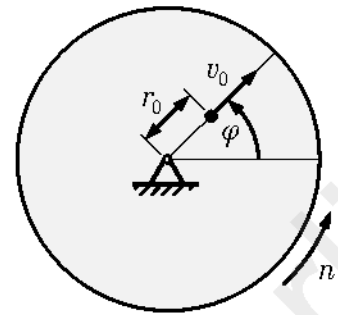
1. Anzahl der Umdrehungen des Punktes bis zum Stillstand
2. Betrag der auf den Punkt bei  $t = 5 \text{ s}$  wirkenden Beschleunigung

Zahlenwerte:  $r = 75 \text{ cm}$ ,  $n_0 = 350 \text{ U/min}$ ,  $t_1 = 10 \text{ s}$

Lösung

**Aufgabe 3.1.6**

Auf einer Scheibe, die mit konstanter Drehzahl  $n$  rotiert, bewegt sich ein punktförmiger Körper mit konstanter Geschwindigkeit  $v_0$  radial nach außen. Zum Zeitpunkt  $t = 0$  befindet sich der Körper im Abstand  $r_0$  vom Drehpunkt entfernt.



Gesucht:

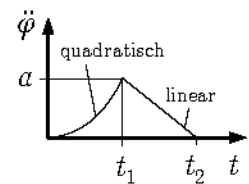
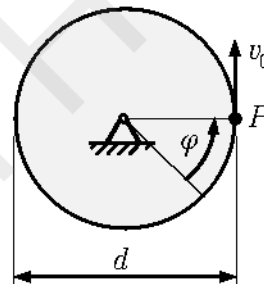
1. Beträge von Geschwindigkeit und Beschleunigung bei  $t = 0$
2. Beträge von Geschwindigkeit und Beschleunigung bei  $t = 4$  s

Zahlenwerte:  $r_0 = 20$  cm,  $v_0 = 20$  cm/s,  $n = 6,0$  U/min

[Lösung](#)

**Aufgabe 3.1.7**

Ein Punkt  $P$  bewegt sich auf einer Kreisbahn zunächst mit konstanter tangentialer Bahngeschwindigkeit  $v_0$ . Zum Zeitpunkt  $t = 0$  beginnt eine quadratische Zunahme der Winkelbeschleunigung von  $\ddot{\varphi} = 0$  auf  $\ddot{\varphi} = \alpha$  bei  $t = t_1$  (Scheitelpunkt der Parabel bei  $t = 0$ ). Anschließend erfolgt eine lineare Abnahme der Winkelbeschleunigung auf  $\ddot{\varphi} = 0$  bis  $t = t_2$ .



Gesucht:

1. Betrag der Geschwindigkeit bei  $t = t_1$
2. Betrag der Geschwindigkeit bei  $t = t_2$

Zahlenwerte:  $v_0 = 1$  m/s,  $d = 4$  m,  $\alpha = 1,8$  s<sup>-2</sup>,  $t_1 = 10$  s,  $t_2 = 20$  s

[Lösung](#)

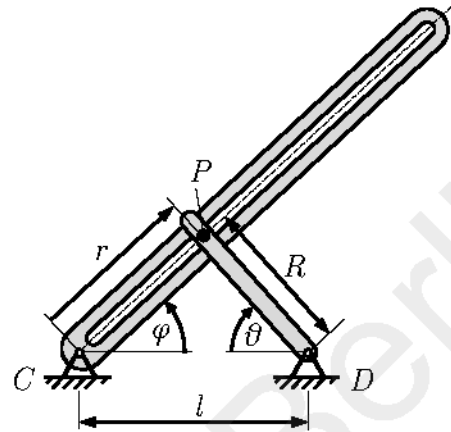
### Aufgabe 3.1.8

Zwei drehbar gelagerte Stäbe sind über einen Schiebemechanismus verbunden. Der rechte Stab dreht sich mit konstanter Winkelgeschwindigkeit  $\dot{\vartheta} = \omega$ . Zum Zeitpunkt  $t = 0$  s ist  $\vartheta = \varphi = 0$ .

Gesucht:

1. Koordinaten  $r(t)$  und  $\varphi(t)$  des Punktes  $P$  und Werte für  $t = t_1$ .
2. Winkelgeschwindigkeit  $\dot{\varphi}(t)$  und Radialgeschwindigkeit  $\dot{r}(t)$  des Punktes  $P$  und Werte für  $t = t_1$ .

Zahlenwerte:  $l = 75$  mm,  $R = 50$  mm,  $\omega = 0,2$  s<sup>-1</sup>,  
 $t_1 = 1,5$  s



Lösung

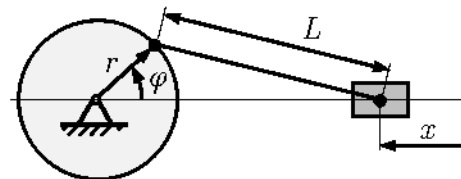
### Aufgabe 3.1.9

Die Antriebswelle eines zentrischen Schubkurbelmechanismus dreht sich mit konstanter Drehzahl  $\varphi = \omega \cdot t$ . Der Kolbenweg  $x$  beschreibt die Position des Kolbens als Abstand vom Umkehrpunkt.

Gesucht:

1. Kolbenweg  $x(t)$
2. Kolbengeschwindigkeit  $\dot{x}(t)$
3. Kolbenbeschleunigung  $\ddot{x}(t)$

Gegeben:  $\omega$ ,  $r$ , Pleuelstangenverhältnis  $\lambda = r/L$



Lösung

**Aufgabe 3.1.10**

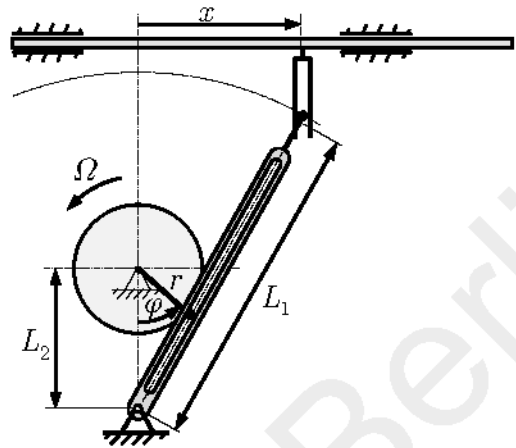
Der Stoßelmechanismus in einer Verpackungsmaschine wird mit konstanter Winkelgeschwindigkeit  $\Omega$  angetrieben.

Gesucht:

1.  $x(\varphi)$
2.  $\dot{x}(\varphi)$

Gegeben:  $\Omega, r, L_1, L_2$

Lösung

**Aufgabe 3.1.11**

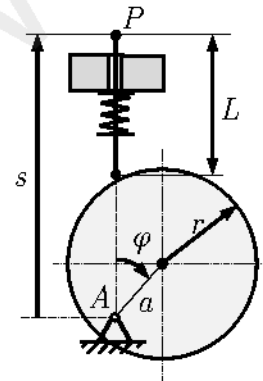
Eine kreisförmige Exzentrerscheibe mit dem Radius  $r$  rotiert mit der Exzentrizität  $a$  und mit konstanter Drehzahl um den Drehpunkt  $A$ . Dadurch wird eine oszillierende Translationsbewegung des Stößels  $P$  erzeugt, der durch eine Feder beständig gegen die Exzentrerscheibe gedrückt wird.

Gesucht:

1.  $s(\varphi)$
2.  $\dot{s}(\varphi)$
3.  $\ddot{s}(\varphi)$

Gegeben:  $r, a, L, \dot{\varphi} = \Omega = \text{konst.}, a/r = \lambda$

Lösung

**Aufgabe 3.1.12**

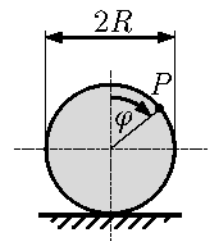
Ein Rad bewegt sich ohne Schlupf (reines Rollen) mit der bekannten Funktion  $\varphi(t)$ . Betrachtet wird der Punkt  $P$  auf dem Außenradius, der sich bei  $\varphi = 0$  an der höchsten Stelle befindet.

Gesucht:

1. Betrag der Geschwindigkeit des Punktes  $P$ :  $v_P$
2. Überprüfung des Ergebnisses für  $\varphi = 0$  mittels Momentanpol

Gegeben:  $R, \varphi(t)$

Lösung



**Aufgabe 3.1.13**

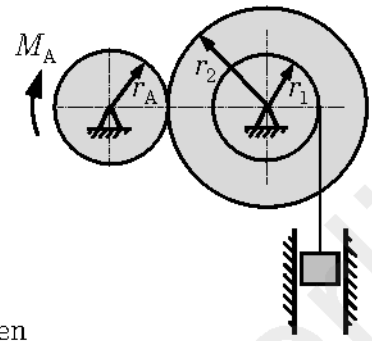
Der abgebildete Aufzug wird über ein Zahnradpaar angetrieben. Es soll in einer späteren Aufgabe die Bewegung des zu hebenden Bauteils in Abhängigkeit vom Antriebsmoment  $M_A$  berechnet werden.

Gesucht:

1. Freiheitsgrad des Systems
2. Festlegung einer geeigneten generalisierten Koordinate und Formulierung der Zwangsbedingungen zu den freien Koordinaten

Gegeben:  $r_A, r_1, r_2$

Lösung

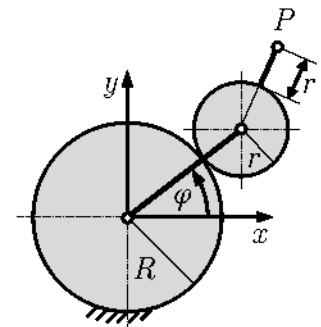
**Aufgabe 3.1.14**

In einem Getriebe rollt ein Planetenrad (Radius  $r$ ) mit konstanter Umlaufgeschwindigkeit  $\dot{\varphi} = \Omega$  auf einem feststehenden Sonnenrad (Radius  $R$ ) ab. Bei  $t = 0$  ist  $\varphi = 0$  und  $P$  liegt auf der  $x$ -Achse bei  $x = R + 3r$ .

Gesucht:

1. Ortsvektor von  $P$   $\vec{r}_P(t) = \begin{pmatrix} x(t) \\ y(t) \end{pmatrix}$
2. Geschwindigkeitsvektor  $\dot{\vec{r}}_P(t) = \begin{pmatrix} \dot{x}(t) \\ \dot{y}(t) \end{pmatrix}$
3. Beschleunigungsvektor  $\ddot{\vec{r}}_P(t) = \begin{pmatrix} \ddot{x}(t) \\ \ddot{y}(t) \end{pmatrix}$
4. Beträge von Geschwindigkeit und Beschleunigung

Lösung

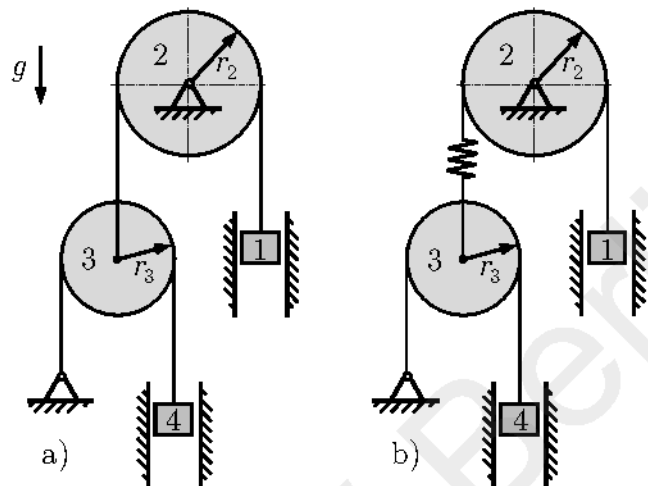


### Aufgabe 3.1.15

Für die beiden Mechanismen a) und b) sind die Zwangsbedingungen gesucht.

Gegeben:  $r_2, r_3$

Lösung



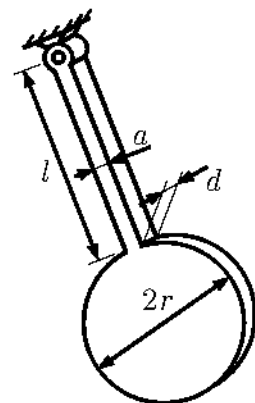
## 3.2 Kinetik starrer Körper

### Aufgabe 3.2.1

Gesucht ist das Massenträgheitsmoment eines Pendels aus Stahl um die in der Abbildung gezeigte Drehachse.

Zahlenwerte:  $l = 30 \text{ cm}$ ,  $r = 5 \text{ cm}$ ,  $a = 1 \text{ cm}$ ,  
 $d = 3 \text{ cm}$ ,  $\rho_{\text{Stahl}} = 7,85 \text{ kg/dm}^3$

Lösung

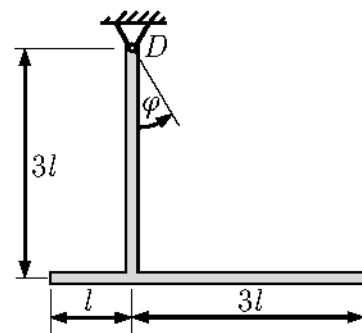


### Aufgabe 3.2.2

Ein Bauteil besteht aus zwei zusammengeschweißten dünnen Rundstäben aus Stahl. Gesucht ist das Massenträgheitsmoment für die Rotation um den Aufhängepunkt  $D$ .

Zahlenwerte: Stabdurchmesser  $d = 2 \text{ cm}$ ,  
 $l = 20 \text{ cm}$ ,  $\rho_{\text{Stahl}} = 7,85 \text{ kg/dm}^3$

Lösung

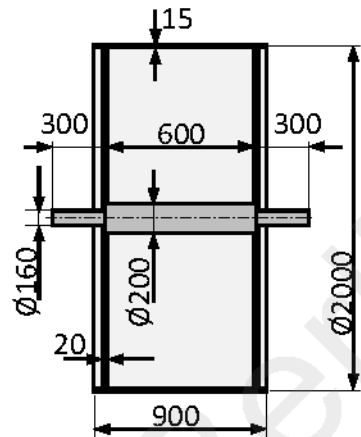


### Aufgabe 3.2.3

Eine Seiltrommel aus Stahl besteht als Schweißkonstruktion aus der abgesetzten Welle, dem Mantelblech (Wandstärke 15 mm) und den zwei Seitenblechen (Wandstärke jeweils 20 mm). Gesucht ist das Massenträgheitsmoment bezogen auf die Rotationsachse.

Zahlenwerte: Skizzenmaße in mm,  $\rho_{\text{Stahl}} = 7,85 \text{ kg/dm}^3$

Lösung



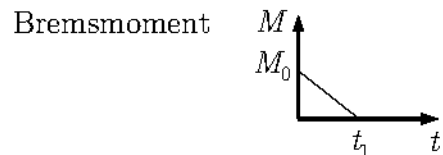
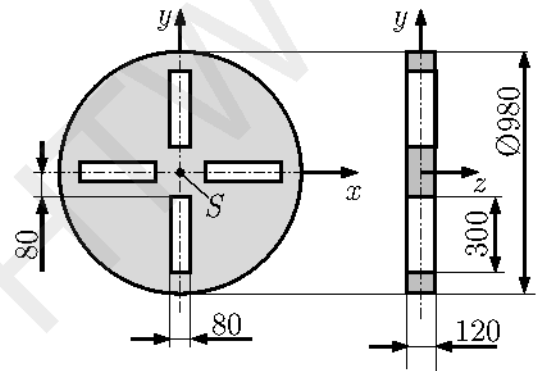
### Aufgabe 3.2.4

Ein Rotor aus Vergütungsstahl mit rechteckförmigen Aussparungen rotiert mit konstanter Drehzahl  $n_0$  um die  $z$ -Achse. Bei  $t = 0$  beginnend fängt ein der Bewegung entgegen gerichtetes Bremsmoment an zu wirken, das bis  $t = t_1$  linear auf den Wert Null abnimmt.

Gesucht:

1. Massenträgheitsmoment bezüglich der Rotationsachse  $J_{S,z}$
2. Drehzahl  $n_1$  nach Beendigung des Bremsvorgangs bei  $t = t_1$
3. Anzahl der Umdrehungen im Zeitraum  $t = 0 \dots 2 \cdot t_1$

Zahlenwerte: Skizzenmaße in mm,  $\rho_{\text{Stahl}} = 7,85 \text{ kg/dm}^3$ ,  
 $n_0 = 1500 \text{ U/min}$ ,  $M_0 = 120 \text{ Nm}$ ,  $t_1 = 15 \text{ s}$



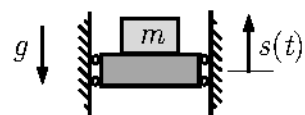
Lösung

### Aufgabe 3.2.5

Ein Rütteltisch schwingt harmonisch in vertikaler Richtung mit der Amplitude  $\hat{s}$ :  $s(t) = \hat{s} \cdot \sin(\Omega t)$ . Bei welcher Frequenz  $f_{\text{max}}$  hebt ein lose darauf liegendes Bauteil der Masse  $m$  ab?

Zahlenwerte:  $m = 15 \text{ kg}$ ,  $\hat{s} = 15 \text{ mm}$ ,  $g = 9,81 \text{ m/s}^2$

Lösung



### Aufgabe 3.2.6

Für einen PKW soll auf einer verschneiten Bergstraße mit einer Steigung von 10 % untersucht werden, welche maximale Beschleunigung mit dem angenommenen Haftreibungskoeffizienten zwischen Reifen und Schnee  $\mu_0$  maximal erreichbar ist.

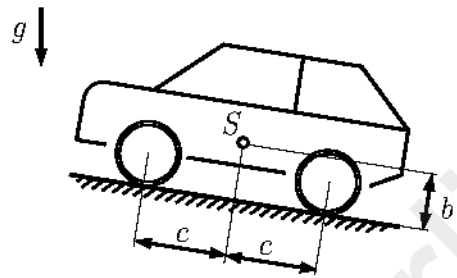
Die Massenträgheitsmomente der Räder und die Schwerpunktänderung infolge Einfederung des Fahrwerks sollen in diesem vereinfachten Starrkörpermodell des PKW vernachlässigt bleiben.

Gesucht sind die theoretisch möglichen maximalen Beschleunigungen für:

1. Allradantrieb
2. Vorderradantrieb
3. Hinterradantrieb

Zahlenwerte:  $b = 0,5 \text{ m}$ ,  $c = 1,6 \text{ m}$ ,  $\mu_0 = 0,25$ , Steigung: 10 %,  $g = 9,81 \text{ m/s}^2$

Lösung



### Aufgabe 3.2.7

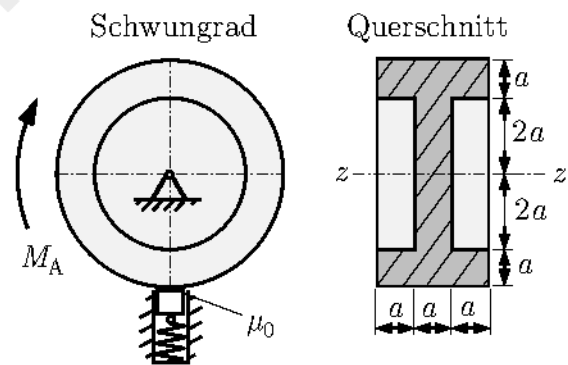
Ein Schwungrad aus Stahl rotiert um die  $z$ -Achse. Dabei wirkt ein Bremsmoment, das über die Reibbremse mit der konstanten Federvorspannkraft  $F_{RB}$  aufgebracht wird, der Bewegung entgegen.

Gesucht:

1. Dauer  $\Delta t_1$  um Schwungrad aus der Ruhe heraus mit konstantem Antriebsmoment  $M_A$  auf die Drehzahl  $n_1$  zu beschleunigen
2. Dauer  $\Delta t_2$  bis Schwungrad nach Abschalten des Antriebs wieder zum Stillstand kommt.

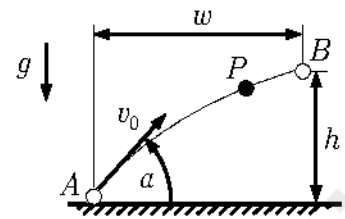
Zahlenwerte:  $a = 15 \text{ cm}$ ,  $\rho_{\text{Stahl}} = 7,85 \text{ kg/dm}^3$ ,  $n_1 = 300 \text{ U/min}$ ,  $M_A = 60 \text{ Nm}$ ,  $F_{RB} = 50 \text{ N}$ ,  $\mu_0 = 0,2$

Lösung



### Aufgabe 3.2.8

Ein als Punktmasse idealisierter Körper  $P$  wird mit der Anfangsgeschwindigkeit  $v_0$  abgeschossen und soll in der Entfernung  $w$  und der Höhe  $h$  den Punkt  $B$  erreichen. Der Luftwiderstand soll vernachlässigt werden.



Gesucht:

1. Wurfparabel  $y(x)$
2. Erforderlicher Abwurfwinkel  $\alpha$
3. Mindestabschussgeschwindigkeit  $v_{0,\min}$  und zugehöriger Winkel  $\alpha_{\min}$ , um B überhaupt zu erreichen

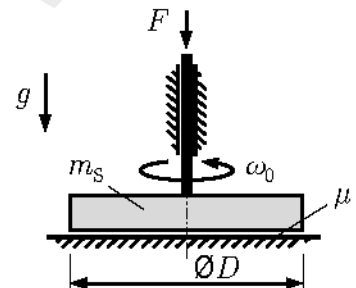
Zahlenwerte:  $v_0 = 40 \text{ m/s}$ ,  $w = 80 \text{ m}$ ,  $h = 25 \text{ m}$ ,  $g = 9,81 \text{ m/s}^2$

Lösung

### Aufgabe 3.2.9

Eine mit der Winkelgeschwindigkeit  $\omega_0$  rotierende kreiszylindrische Schwungscheibe der Masse  $m_S$  wird mit der Kraft  $F$  gegen eine Ebene gepresst, so dass sie abgebremst wird. Zwischen der Scheibe und der Ebene wirkt der Gleitreibungskoeffizient  $\mu$ . Die Flächenpressung wird als konstant angenommen.

Hinweis: Das übertragbare Reibmoment einer mit dem konstanten Druck  $p$  belasteten Kreisscheibe ergibt sich zu:



$$M_R = \int_{D_i/2}^{D_s/2} \int_0^{2\pi} (\mu p r) r \, d\varphi \, dr$$

Gesucht:

1. Auf Scheibe bremsend wirkendes Reibmoment  $M_R$
2. Bremsbeschleunigung  $\ddot{\varphi}$
3. Dauer des Bremsvorgangs bis zum Stillstand.
4. Umdrehungen  $n_B$  bis zum Stillstand

Zahlenwerte:  $D = 1,2 \text{ m}$ ,  $m_S = 600 \text{ kg}$ ,  $\mu = 0,3$ ,  $g = 9,81 \text{ m/s}^2$ ,  $F = 4 \text{ kN}$ ,  
 $\omega_0 = 2500 \text{ s}^{-1}$

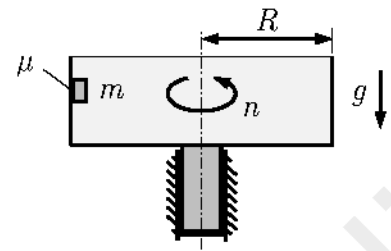
Lösung

**Aufgabe 3.2.10**

In einer schnell drehenden Zentrifuge wird ein Körper infolge der Fliehkräfte an die Wand gedrückt. Der Haftreibungskoeffizient zwischen Körper und Wand ist  $\mu$ . Die Drehzahl wird langsam abgesenkt. Gesucht ist die Drehzahl  $n_{\min}$ , bei welcher der Körper beginnt nach unten zu rutschen.

Zahlenwerte:  $R = 40 \text{ cm}$ ,  $\mu = 0,25$ ,  $g = 9,81 \text{ m/s}^2$

Lösung

**Aufgabe 3.2.11**

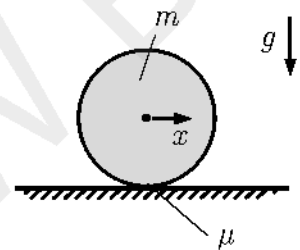
Eine Bowlingkugel wird rotationsfrei mit der Geschwindigkeit  $\dot{x}_0$  auf eine Bowlingbahn aufgesetzt. Der Gleitreibungskoeffizient zwischen Bowlingkugel und -bahn ist  $\mu$ .

Gesucht:

1. Freiheitsgrad der Bewegung
2. Zeit  $t_1$  bis Bowlingkugel nur noch rollt und nicht mehr gleitet
3. Strecke  $x_1$  bis zum Übergang zum reinen Rollen
4. Geschwindigkeit  $\dot{x}_1$  beim Übergang zum reinen Rollen

Zahlenwerte:  $\dot{x}_0 = 4 \text{ m/s}$ ,  $\mu = 0,1$ ,  $g = 9,81 \text{ m/s}^2$

Lösung

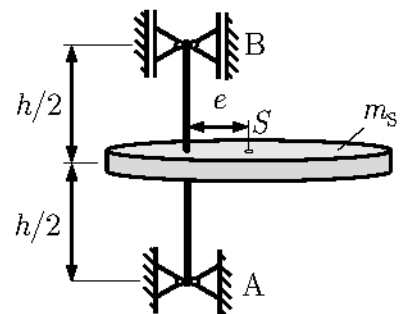
**Aufgabe 3.2.12**

Eine Scheibe der Masse  $m_S$  rotiert mit konstanter Drehzahl  $n$ . Sie ist dabei exzentrisch an einer starren Welle mit vernachlässigbarer Masse in A und B gelenkig gelagert.

Berechnen Sie die Reaktionskräfte in den Lagern und vergleichen diese mit den Werten bei stillstehender Scheibe.

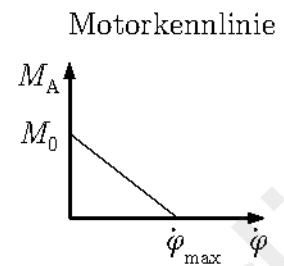
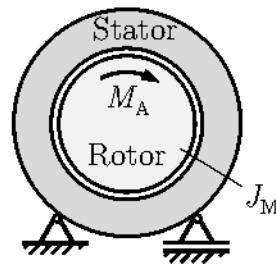
Zahlenwerte:  $n = 500 \text{ U/min}$ ,  $m_S = 15 \text{ kg}$ ,  
 $h = 500 \text{ mm}$ ,  $e = 10 \text{ mm}$ ,  $g = 9,81 \text{ m/s}^2$

Lösung



### Aufgabe 3.2.13

Ein Elektromotor (Gleichstrommaschine mit Fremdschluss) wird aus dem Stillstand lastfrei auf die maximale Drehgeschwindigkeit  $\dot{\varphi}_{\max}$  hochgefahren. Dabei wirkt auf den Rotor mit dem Massenträgheitsmoment  $J_M$  das Antriebsmoment  $M_A$  entsprechend der gegebenen Motorkennlinie.



Gesucht:

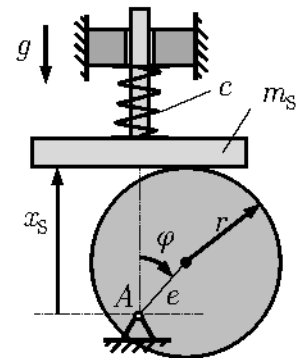
1. Bewegungsgleichung
2. Allgemeine Lösung der Differentialgleichung für  $\varphi(t)$  und  $\dot{\varphi}(t)$
3. Drehzahl nach  $t_1 = 4$  s und nach  $t_1 = 10$  s

Zahlenwerte:  $\dot{\varphi}_{\max} = 325 \text{ s}^{-1}$ ,  $J_M = 0,03 \text{ kg}\cdot\text{m}^2$ ,  $M_0 = 5,0 \text{ Nm}$

Lösung

### Aufgabe 3.2.14

Bei einem Nockentrieb wird der Stößel (Masse  $m_S$ ) durch eine mit konstanter Drehzahl  $\omega$  und der Exzentrizität  $e$  rotierenden Kreisscheibe, den Nocken, bewegt. Um das Abheben des Stößels zu verhindern, wird diese mittels einer Druckfeder gegen den Nocken gedrückt. Die Feder hat die Federkonstante  $c$  und die Vorspannkraft  $F_0$  (mittlere Lage beim Nockenwinkel  $\varphi = 90^\circ$ ).



Gesucht:

1. Zusammenhänge  $x_S(\varphi)$  und  $\ddot{x}_S(\varphi)$
2. Normalkraft zwischen Nocken und Stößel  $F_N$
3. Kritische Drehzahl  $n_{\text{krit}}$  bei welcher der Stößel vom Nocken abhebt

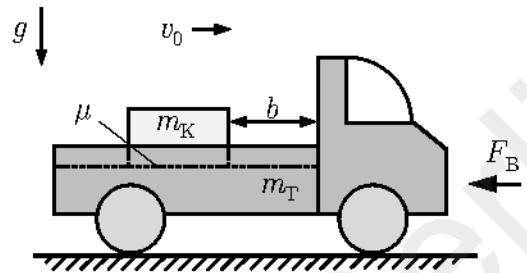
Zahlenwerte:  $m_S = 80 \text{ g}$ ,  $e = 20 \text{ mm}$ ,  $g = 9,81 \text{ m/s}^{-2}$ ,  
 $F_0 = 150 \text{ N}$ ,  $c = 5000 \text{ N/m}$

Lösung

### 3.3 Kinetik von Starrkörpersystemen

#### Aufgabe 3.3.1

Ein Transporter (Masse  $m_T$ ) transportiert eine ungesicherte Ladung (Masse  $m_K$ ) und fährt mit konstanter Geschwindigkeit  $v_0$ , als es zur Notbremsung kommt. Diese erfolgt mit der konstanten Bremskraft  $F_B$ . Zwischen Ladung und Ladefläche wirkt der Reibwert  $\mu$  (Haftreibung  $\approx$  Gleitreibung). Kippen der Ladung kann aufgrund ihrer tiefen Schwerpunktlage ausgeschlossen werden.



Hinweis: Die Massenträgheitsmomente der Räder sowie die Einfederung des Fahrwerks sollen in diesem vereinfachten Starrkörpermodell des Fahrzeugs vernachlässigt bleiben.

Gesucht:

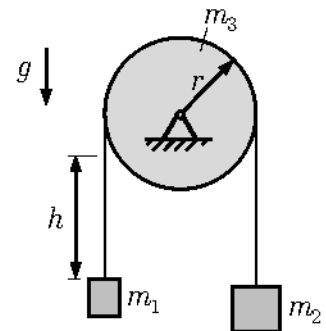
1. Überprüfung auf Rutschen der Ladung beim Bremsen
2. Geschwindigkeit  $v_c$ , mit der die Ladung auf das Fahrerhaus prallt.

Zahlenwerte:  $m_T = 2800$  kg,  $m_K = 300$  kg,  $\mu = 0,15$ ,  $F_B = 22,0$  kN,  $b = 1$  m,  $g = 9,81$  m/s<sup>2</sup>

Lösung

#### Aufgabe 3.3.2

Mit der nach ihrem Erfinder George Atwood benannten Fallmaschine lassen sich zur Fallbeschleunigung beliebig verringerte Beschleunigungen einstellen. Dabei sind zwei Körper mit den Massen  $m_1$  und  $m_2$  durch ein Seil über eine reibungsfrei drehbare zylindrische Rolle verbunden. Die Seilreibung lässt zu keiner Zeit Rutschen zu. Zunächst ist die Rolle fest arretiert.



Gesucht:

1. Beschleunigung des Körpers der Masse  $m_1$  in Abhängigkeit von  $m_2$  und  $m_3$  nach Lösen der Arretierung
2. Dauer bis nach Beginn der Bewegung der Körper der Masse  $m_1$  an die Rolle anschlägt, also die Höhe  $h$  erreicht hat
3. Seilkräfte auf beiden Seiten der Rolle im Vergleich zur statischen Belastung im Ruhezustand

Zahlenwerte:  $m_1 = 10$  kg,  $m_2 = 12$  kg,  $m_3 = 20$  kg,  $r = 40$  cm,  $h = 1,8$  m,  $g = 9,81$  m/s<sup>2</sup>

Lösung

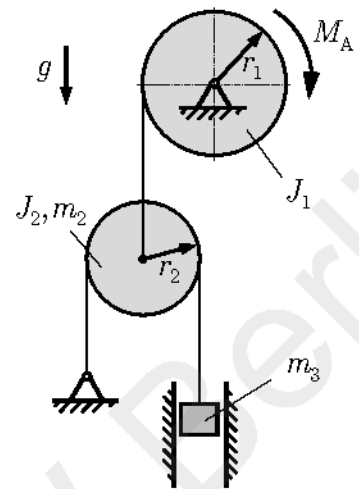
**Aufgabe 3.3.3**

Ein System aus zwei Rollen und einer Kiste wird durch das Moment  $M_A$  angetrieben. Die Rollen und die Kiste sind über 2 Seile miteinander verbunden. Die Bewegung erfolgt aus der Ruhe heraus.

Gesucht:

1. Bewegungsgleichung für die Bewegung der Kiste (ohne Zahlenwerte)
2. Konstantes Antriebsmoment  $M_{A,1}$ , um die Kiste innerhalb der Zeit  $\Delta t_1$  auf die Geschwindigkeit  $v_1$  zu beschleunigen
3. Moment  $M_{A,2}$  für die anschließende Bewegung der Kiste mit konstanter Geschwindigkeit  $v_1$
4. Seilkraft zwischen beiden Rollen für a) beschleunigte und b) konstante Bewegung der Kiste

Zahlenwerte:  $J_1 = 0,13 \text{ kgm}^2$ ,  $r_1 = 0,2 \text{ m}$ ,  $J_2 = 0,06 \text{ kgm}^2$ ,  $m_2 = 5 \text{ kg}$ ,  
 $r_2 = 0,15 \text{ m}$ ,  $m_3 = 12 \text{ kg}$ ,  $g = 9,81 \text{ m/s}^2$ ,  $v_1 = 6 \text{ m/s}$ ,  $t_1 = 5 \text{ s}$



Lösung

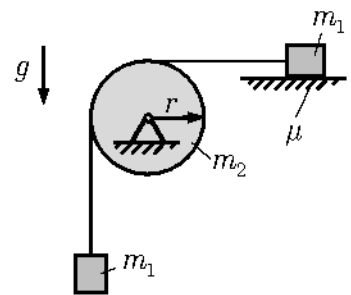
**Aufgabe 3.3.4**

Zwei Körper der Masse  $m_1$  sind über ein Seil verbunden, das über eine zylindrische Rolle mit der Masse  $m_2$  ohne Schlupf geführt ist. Die Bewegung erfolgt aus der Ruhe heraus.

Gesucht:

1. Drehbeschleunigung der Rolle  $\ddot{\varphi}$
2. Anzahl der Umdrehungen der Rolle nach  $t = 4 \text{ s}$

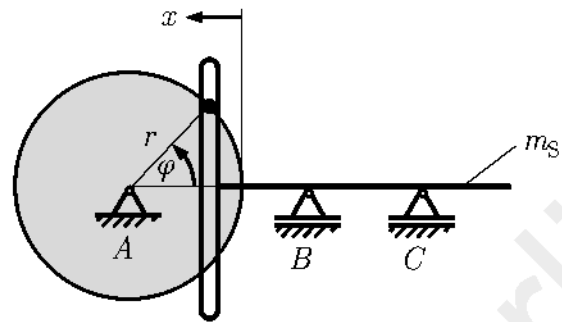
Zahlenwerte:  $m_1 = 10 \text{ kg}$ ,  $m_2 = 20 \text{ kg}$ ,  $r = 40 \text{ cm}$ ,  
 $g = 9,81 \text{ m/s}^2$ ,  $\mu = 0,5$



Lösung

### Aufgabe 3.3.5

Eine Schubstange der Masse  $m_S$  wird durch eine rotierende Scheibe mit konstanter Drehzahl  $n$  angetrieben. Die Kopplung erfolgt durch einen Bolzen, der reibungsfrei in der Führung der Schubstange gleiten kann.



Gesucht:

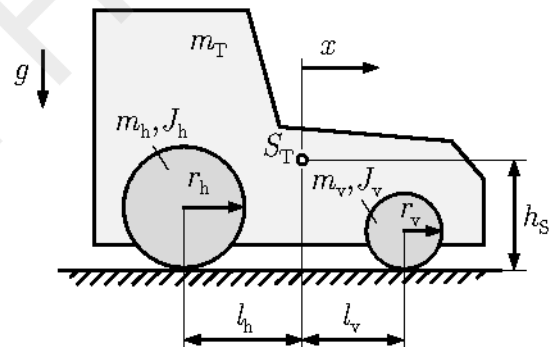
1. Maximalwerte der Bolzenkraft und der Auflagerreaktionen in  $A$  (unter Vernachlässigung des Eigengewichts der Scheibe)
2. Erforderliches Antriebsmoment der Scheibe  $M_A(t)$
3. Maximales Antriebsmoment  $M_{A,\max}$

Zahlenwerte:  $m_S = 600 \text{ g}$ ,  $r = 150 \text{ mm}$ ,  $n = 800 \text{ U/min}$

Lösung

### Aufgabe 3.3.6

Ein Traktor wird mit dem auf die Hinterachse wirkenden Antriebsmoment angetrieben. Der Traktor hat ohne Räder die Masse  $m_T$  und den Schwerpunkt  $S_T$ . Außerdem sind die Trägheiten jedes Vorderwades  $m_v$ ,  $J_v$  und jedes Hinterrades  $m_h$ ,  $J_h$  bekannt.



Gesucht:

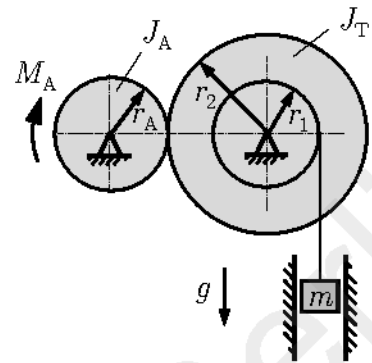
1. Bewegungsgleichung für  $x$
2. Maximal mögliches Antriebsmoment  $M_{A,\max}$  ohne Abheben der Vorderräder unter der Annahme, dass Hinterräder nicht durchdrehen (reines Rollen)

Zahlenwerte:  $h_S = 1260 \text{ mm}$ ,  $m_T = 5000 \text{ kg}$ ,  $r_h = 650 \text{ mm}$ ,  $m_h = 350 \text{ kg}$ ,  
 $J_h = 70 \text{ kgm}^2$ ,  $r_v = 400 \text{ mm}$ ,  $m_v = 150 \text{ kg}$ ,  $J_v = 11,5 \text{ kgm}^2$ ,  
 $l_h = 1000 \text{ mm}$ ,  $l_v = 1800 \text{ mm}$ ,  $g = 9,81 \text{ m/s}^2$

Lösung

### Aufgabe 3.3.7

Mit dem Aufzug aus Aufgabe 3.1.13 soll eine Last der Masse  $m$  gehoben werden. Das Anfahren auf die Hubgeschwindigkeit  $v_1$  soll gleichmäßig beschleunigt in der Zeit  $\Delta t_1$  erfolgen. Anschließend wird die Geschwindigkeit konstant gehalten.



Gesucht:

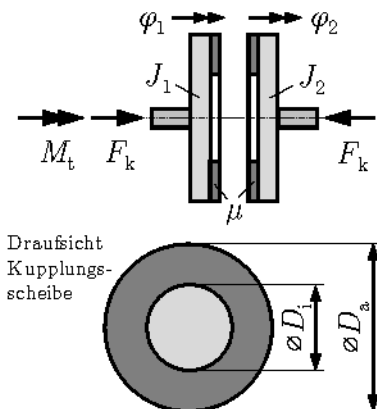
1. Erforderliches Antriebsmoment während des beschleunigten Anfahrens  $M_{A,1}$
2. Antriebsmoment  $M_{A,2}$  für gleichförmiges Heben
3. Dauer  $\Delta t_2$  in der die zu hebende Last zum Stillstand kommt, nachdem der Antrieb komplett ausgeschaltet wird

Zahlenwerte:  $J_A = 0,6 \text{ kg}\cdot\text{m}^2$ ,  $J_T = 10 \text{ kg}\cdot\text{m}^2$ ,  $m = 1200 \text{ kg}$ ,  $r_A = 200 \text{ mm}$ ,  
 $r_1 = 150 \text{ mm}$ ,  $r_2 = 600 \text{ mm}$ ,  $v_1 = 4 \text{ m/s}$ ,  $\Delta t_1 = 10 \text{ s}$ ,  $g = 9,81 \text{ m/s}^2$

Lösung

### Aufgabe 3.3.8

Untersucht wird der Kupplungsvorgang einer Reibkupplung. Dabei werden zwei Scheiben mit ringförmiger Kupplungsfläche mit der Kraft  $F_k$  zusammengedrückt, um das Drehmoment  $M_t$  zu übertragen. Zu Beginn des Kupplungsvorgangs dreht sich die Scheibe 1 mit  $\dot{\varphi}_1 = \omega_1$  und die Scheibe 2 steht still.



Gesucht:

1. Übertragenes Reibmoment  $M_R$  während des Kuppelns
2. Dauer des Kupplungsvorgangs  $t_k$
3. Winkelgeschwindigkeit der Scheiben am Ende des Kupplungsvorgangs

Zahlenwerte:  $J_1 = 2 \text{ kg}\cdot\text{m}^2$ ,  $J_2 = 5 \text{ kg}\cdot\text{m}^2$ ,  $M_t = 400 \text{ Nm}$ ,  $F_k = 4500 \text{ N}$ ,  $\mu = 0,45$ ,  
 $D_a = 400 \text{ mm}$ ,  $D_i = 300 \text{ mm}$ ,  $\omega_1 = 250 \text{ s}^{-1}$

Lösung

### Aufgabe 3.3.9

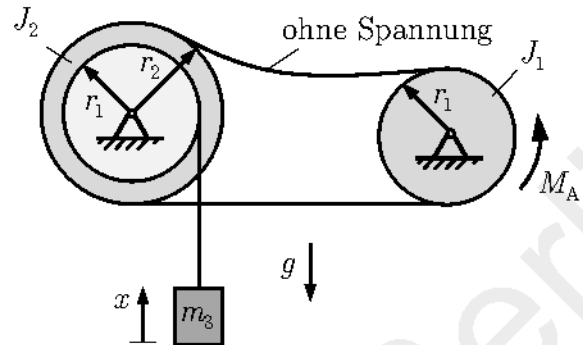
Eine Seiltrommel zum Heben eines Bauteils der Masse  $m_3$  wird über einen Riementrieb mit dem Moment  $M_A$  angetrieben. Zu Beginn  $t = 0$  dreht sich die Antriebswelle mit  $n_0$ .

Hinweis: Die Kraftübertragung bei einem Riementrieb erfolgt nur auf einer Seite (dem Zugtrum), hier unten liegend.

Gesucht:

1. Beschleunigung  $\ddot{x}$
2. Zugkraft im Riemen (Zugtrum)
3. Geschwindigkeit  $\dot{x}(t=5 \text{ s})$
4. Zeit  $t_2$  bis sich Geschwindigkeit  $\dot{x}$  im Vergleich zu  $\dot{x}(t=5 \text{ s})$  verdoppelt hat

Zahlenwerte:  $J_1 = 4 \text{ kg}\cdot\text{m}^2$ ,  $J_2 = 2 \text{ kg}\cdot\text{m}^2$ ,  $m_3 = 50 \text{ kg}$ ,  $M_A = 70 \text{ Nm}$ ,  
 $r_1 = 200 \text{ mm}$ ,  $r_2 = 300 \text{ mm}$ ,  $g = 9,81 \text{ m/s}^2$ ,  $n_0 = 20 \text{ U/min}$

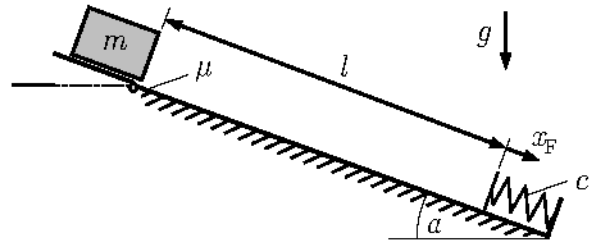


Lösung

## 3.4 Impuls-, Arbeits- und Energiesätze

### Aufgabe 3.4.1

Als Teil einer Sortieranlage für Pakete in einem Logistikzentrum dient eine Rampe (Länge  $l$ , Neigungswinkel  $\alpha$ ), auf der die nach Gewicht sortierten Kisten herunterrutschen und durch einen elastischen Anschlag (Federsteifigkeit  $c$ , Masse vernachlässigbar) abgebremst werden. Zwischen Paket und Rampe wirkt Gleitreibung mit dem Reibkoeffizienten  $\mu$ .



Gesucht:

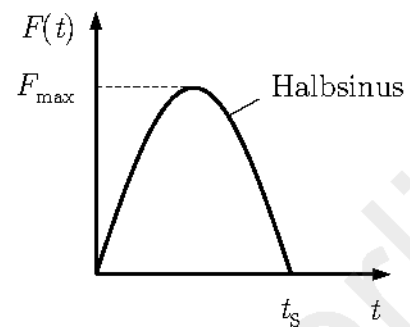
1. Geschwindigkeit  $v_1$  der Kiste am Anschlag
2. Dauer  $t_1$  bis die Kiste den Anschlag erreicht
3. Maximale Federkraft  $F_{F,\max}$

Zahlenwerte:  $m = 5 \text{ kg}$ ,  $\mu = 0,2$ ,  $c = 15 \text{ N/mm}$ ,  $l = 1,8 \text{ m}$ ,  
 $\alpha = 20^\circ$ ,  $g = 9,81 \text{ m/s}^2$

Lösung

### Aufgabe 3.4.2

Beim Abschlag eines Golfballs (Masse  $m$ ) wird mit einer Hochgeschwindigkeitskamera die Abschussgeschwindigkeit  $v_1$  und die Dauer des vom Schläger auf den Ball wirkenden Kraftstoßes ermittelt. Es wird angenommen, dass der Stoß mit einem halbsinusförmigen Kraft-Zeit-Verlauf beschrieben werden kann.



Gesucht:

1. Ansatz für  $F(t)$  ohne Zahlenwerte
2. Maximale Kraft während des Stoßes  $F_{\max}$

Zahlenwerte:  $m = 45 \text{ g}$ ,  $t_S = 80 \text{ ms}$ ,  $v_1 = 75 \text{ m/s}$

[Lösung](#)

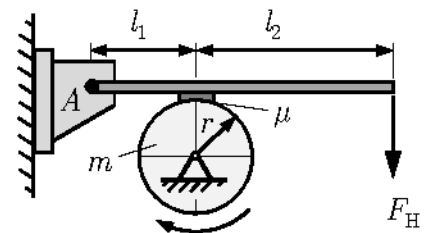
### Aufgabe 3.4.3

Berechnen Sie Aufgabe 3.2.4 dieser Aufgabensammlung unter Anwendung des Impulsatzes.

[Lösung](#)

### Aufgabe 3.4.4

Mit der Handbackenbremse aus Aufgabe 1.7.3 wird eine mit der Drehzahl  $n_0$  rotierende zylindrische Welle der Masse  $m$  durch die Bremskraft  $F_H$  bis zum Stillstand abgebremst.



Gesucht:

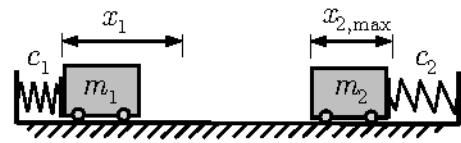
1. Umdrehungen während des Bremsvorgangs
2. Dauer des Bremsvorgangs

Zahlenwerte:  $F_H = 200 \text{ N}$ ,  $l_1 = 300 \text{ mm}$ ,  $l_2 = 600 \text{ mm}$ ,  $\mu = 0,4$ ,  $r = 160 \text{ mm}$ ,  
 $m = 18 \text{ kg}$ ,  $n_0 = 3600 \text{ U/min}$

[Lösung](#)

### Aufgabe 3.4.5

Zwei Körper der Massen  $m_1$  und  $m_2$  können sich reibungsfrei bewegen. In der Ausgangsposition liegt Körper 1 an einer um  $x_1$  zusammengedrückten Druckfeder an. Nach dem Loslassen stößt er vollplastisch gegen Körper 2, der an einer entspannten Druckfeder anliegt.



Gesucht ist der maximale Federweg  $x_{2,max}$ .

Zahlenwerte:  $c_1 = 50 \text{ N/cm}$ ,  $c_2 = 200 \text{ N/cm}$ ,  $m_1 = 8 \text{ kg}$ ,  $m_2 = 4 \text{ kg}$ ,  $x_1 = 3 \text{ cm}$

[Lösung](#)

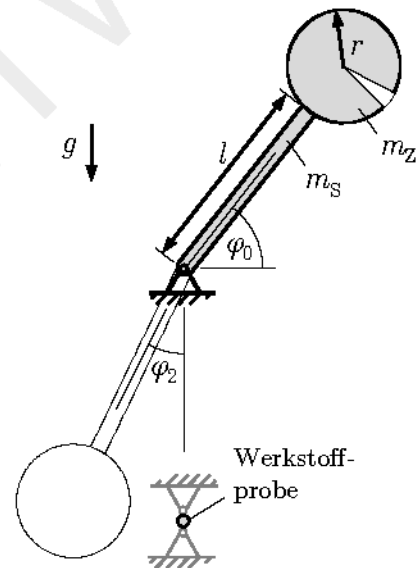
### Aufgabe 3.4.6

Mit dem Kerbschlagbiegeversuch genormt nach DIN EN ISO 148-1 wird mittels der Kerbschlagarbeit die Kerbschlagzähigkeit bei metallischen Werkstoffen bestimmt. Dabei wird die Werkstoffprobe mit dem abgebildeten Pendelschlagwerk zerschlagen. Es besteht aus einem Stab (Masse  $m_S$ ) und einem Kopf (Masse  $m_Z$ ), der in guter Näherung als homogener Zylinder betrachtet werden kann. In der Ausgangslage  $\varphi_0$  wird die Arretierung gelöst und nach dem Schlag die Lage im Umkehrpunkt  $\varphi_2$  gemessen.

Gesucht:

1. Geschwindigkeit  $\omega_1$  und Energie des Pendelhammers direkt vor dem Schlag
2. Verrichtete Kerbschlagarbeit  $W_S$

Zahlenwerte:  $m_S = 4 \text{ kg}$ ,  $m_Z = 20 \text{ kg}$ ,  $l = 500 \text{ mm}$ ,  
 $r = 150 \text{ mm}$ ,  $\varphi_0 = 50^\circ$ ,  $\varphi_2 = 33^\circ$ ,  $g = 9,81 \text{ m/s}^2$



[Lösung](#)

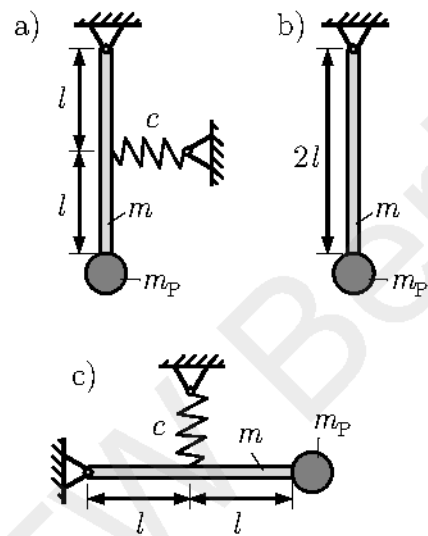
### 3.5 Freie Schwingungen

#### Aufgabe 3.5.1

Ein Bauteil besteht aus einem dünnen homogenen Stab der Masse  $m$  mit einer konzentrierten Masse  $m_P$  am Ende (Idealisierung als Punktmasse). Für die drei verschiedenen Lagerungen a), b) und c) sind die Eigenfrequenzen  $f_0$  und Periodendauern der Schwingung  $T$  zu berechnen. Hinweis: Die Schwingung erfolgt mit kleinen Amplituden.

Zahlenwerte:  $m = 3 \text{ kg}$ ,  $m_P = \frac{1}{3}m$ ,  $l = 0,5 \text{ m}$ ,  
 $c = 10 \text{ N/cm}$ ,  $g = 9,81 \text{ m/s}^2$

Lösung



#### Aufgabe 3.5.2

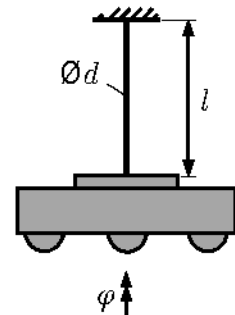
Für ein rotationssymmetrisches Bauteil soll in einem Ausschwingversuch das Massenträgheitsmoment bestimmt werden. Dazu wird es in der Symmetrieachse an einem Metalldraht (Durchmesser  $d$ , Länge  $l$ ) aufgehängt und die Periodendauer  $T$  der freien Drehschwingung gemessen.

Gesucht:

1. Torsionsfedersteifigkeit des Drahts  $c_T$
2. Massenträgheitsmoment des Bauteils  $J$

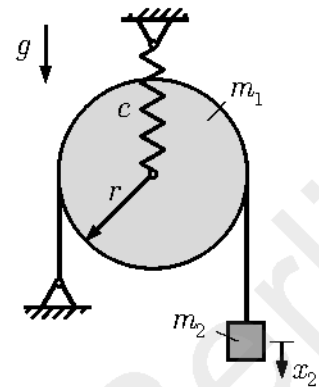
Zahlenwerte:  $d = 3 \text{ mm}$ ,  $l = 0,5 \text{ m}$ ,  $G_{\text{Stahl}} = 81.000 \text{ MPa}$ ,  $T = 3,91 \text{ s}$

Lösung



### Aufgabe 3.5.3

Über eine elastisch gelagerte zylindrische Kreisscheibe (Masse  $m_1$ ) ist ein Seil gelegt, an dem ein Körper der Masse  $m_2$  befestigt ist. Die Schwingung wird durch einmaliges Auslenken um  $x_{2,0}$  angeregt. Das System soll dabei nur in vertikaler Richtung schwingen und das Seil ist als dehnstarr anzunehmen.



Gesucht:

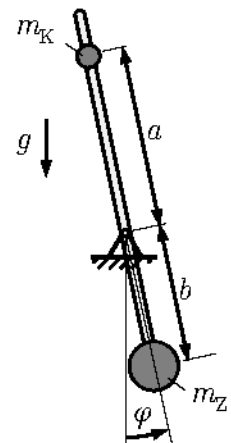
1. Eigenkreisfrequenz und Periodendauer
2. Maximale Anfangsauslenkung  $x_{2,0,max}$ , bei der das Seil während der Schwingung gespannt bleibt

Zahlenwerte:  $m_1 = 3 \text{ kg}$ ,  $m_2 = 1 \text{ kg}$ ,  $r = 15 \text{ cm}$ ,  $c = 2000 \text{ N/m}$ ,  $g = 9,81 \text{ m/s}^2$

Lösung

### Aufgabe 3.5.4

Ein Metronom gibt in der Musik ein konstantes Tempo vor. Es besteht aus einem Stab mit vernachlässigbarer Masse, an dem in konstantem Abstand  $b$  eine Masse  $m_Z$  und im variabel einstellbaren Abstand  $a$  eine Masse  $m_K$  befestigt ist. Mit jedem Ausschlag ertönt ein akustisches Signal (Schlag), also 2 Mal pro Periode. Die Zahl, die auf dem Metronom eingestellt wird, gibt an, wie oft das Metronom pro Minute (bpm - beats per minute) schlagen soll. Der Zusammenhang mit der Schwingungsfrequenz ist demnach:  $\text{bpm} = 2 \cdot f \cdot 60 \frac{\text{s}}{\text{min}}$ .



Gesucht:

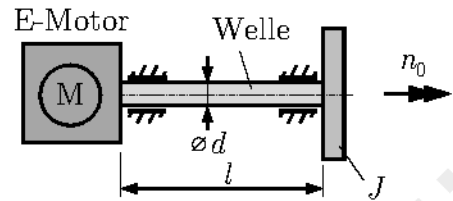
1. bpm für gegebene Zahlenwerte
2. Erforderlicher Abstand  $a^*$  für  $\text{bpm} = 114$  (z. B. Penny Lane von den Beatles)

Zahlenwerte:  $m_Z = 100 \text{ g}$ ,  $m_K = 35 \text{ g}$ ,  $a = 12,5 \text{ cm}$ ,  $b = 6 \text{ cm}$ ,  $g = 9,81 \text{ m/s}^2$

Lösung

### Aufgabe 3.5.5

Ein Elektromotor treibt über eine Stahlwelle eine Riemenscheibe an. Im Leerlauf bei einer Drehzahl  $n_0$  blockiert der Motor, so dass die Riemenscheibe zu Torsionsschwingungen angeregt wird. Berechnen Sie die in der Welle auftretenden maximalen Spannungen unter der Annahme, dass der Motorstopp schlagartig erfolgt ( $\Delta t \approx 0$ ).

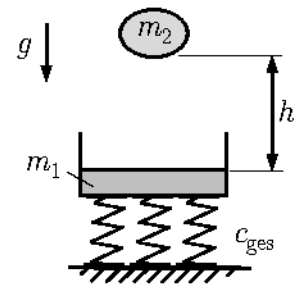


Zahlenwerte:  $d = 48 \text{ mm}$ ,  $l = 1200 \text{ mm}$ ,  $n_0 = 150 \text{ U/min}$ ,  $J = 4,0 \text{ kgm}^2$ ,  
Material Welle (Stahl):  $E = 210.000 \text{ MPa}$ ,  $\nu = 0,3$

Lösung

### Aufgabe 3.5.6

In einer Förderanlage wird ein Sack mit Schüttgut (Masse  $m_2$ ) aus der Höhe  $h$  auf einen Auffangbehälter (Masse  $m_1$ ) abgeworfen und trifft dort mit einem vollplastischen Stoß auf. Der Auffangbehälter ist durch ein Federpaket mit der Gesamtsteifigkeit  $c_{\text{ges}}$  elastisch gelagert.



Gesucht:

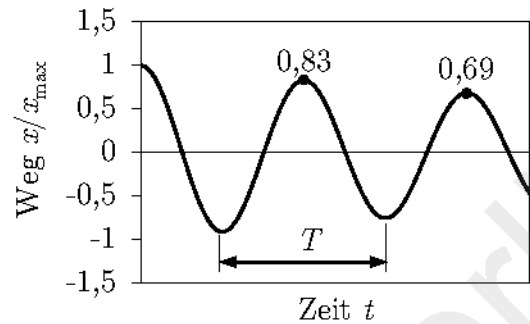
1. Amplitude  $\hat{x}$  und Eigenfrequenz der Schwingung nach dem Stoß
2. Maximale Zusammendrückung der Feder  $s_{\text{max}}$  aus der Ausgangsposition und Dauer  $t_1$  bis diese nach dem Stoß erreicht wird
3. Maximale Kraft auf das Fundament  $F_{\text{F,max}}$  unter dem Federpaket und Faktor  $\lambda$ , um den die Fundamentkraft im Vergleich zur statischen Belastung erhöht ist

Zahlenwerte:  $m_1 = 15 \text{ kg}$ ,  $m_2 = 45 \text{ kg}$ ,  $h = 2 \text{ m}$ ,  $c_{\text{ges}} = 15 \text{ kN/m}$ ,  $g = 9,81 \text{ m/s}^2$

Lösung

### Aufgabe 3.5.7

Zur Bestimmung der Kennwerte eines Feder-Dämpfer-Elements (lineare Feder und viskose Dämpfung) wird es mit der Masse  $m$  ausgelenkt und die Ausschwingkurve gemessen. In der Abbildung sind die maximalen Auslenkungen angegeben.



Gesucht:

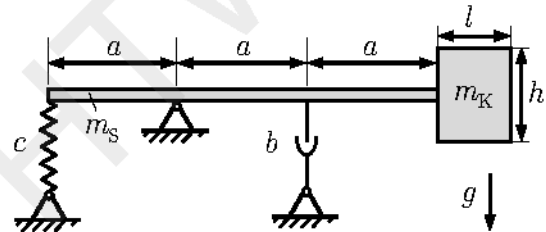
1. LEHRscher Dämpfungsgrad  $D$
2. Federkonstante  $c$

Zahlenwerte:  $T = 0,629$  s,  $m = 1,5$  kg

[Lösung](#)

### Aufgabe 3.5.8

Ein Schwingungssystem besteht aus einem dünnen Stab (Masse  $m_S$ ) an dessen Ende ein quaderförmiger Kopf (Masse  $m_K$ ) befestigt ist.



Gesucht ist die Periodendauer der gedämpften Schwingung.

Zahlenwerte:  $m_S = 0,2$  kg,  $m_K = 1$  kg,  
 $a = 10$  cm,  $l = 8$  cm,  
 $h = 5$  cm,  $c = 1,2$  N/mm,  $b = 15$  kg/s

[Lösung](#)

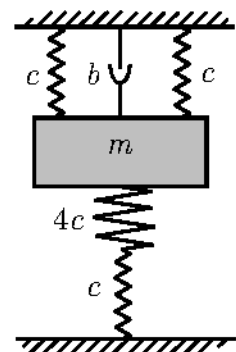
### Aufgabe 3.5.9

Gegeben ist ein viskos gedämpftes Schwingungssystem.

Gesucht:

1. Eigenfrequenz
2. Wert  $\tilde{b}$  der Dämpferkonstante, damit die Amplitude der freien Schwingung innerhalb von 3 Perioden auf 1 % abklingt.

Zahlenwerte:  $m = 40$  kg,  $c = 50$  N/cm,  $b = 50$  kg/s



[Lösung](#)

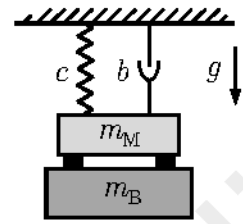
**Aufgabe 3.5.10**

In einer Sortieranlage für Metallschrott wird durch einen elastisch aufgehängten Elektromagneten (Masse  $m_M$ ) ein Bauteil (Masse  $m_B$ ) gehalten. Zum Zeitpunkt  $t = 0$  wird der Strom abgestellt und das Bauteil abgeworfen.

Berechnen Sie den Verlauf des Ausschwingvorgangs und stellen sie diesen (bezogen auf  $x = 0 \rightarrow$  statische Ruhelage des Magneten ohne Bauteil) grafisch dar (z. B. mit Excel).

Zahlenwerte:  $m_M = 30 \text{ kg}$ ,  $m_B = 60 \text{ kg}$ ,  $b = 120 \text{ kg/s}$ ,  $c = 10 \text{ kN/m}$ ,  
 $g = 9,81 \text{ m/s}^2$

Lösung

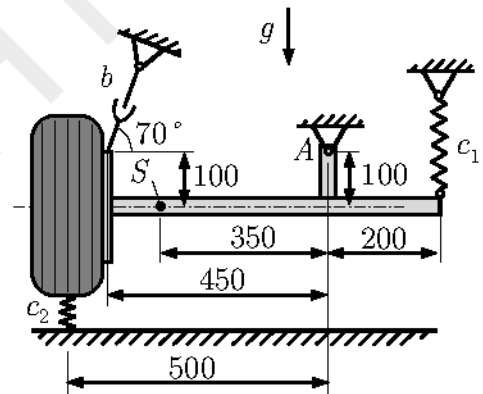
**Aufgabe 3.5.11**

Die Einzelradaufhängung mit der Gesamtmasse  $m$  und dem Massenträgheitsmoment  $J_S$  ist in  $A$  drehbar gelagert. Sie ist durch die Fahrwerksfeder mit der Steifigkeit  $c_1$  sowie den Stoßdämpfer mit der Dämpferkonstante  $b$  abgestützt. Die Federung des Reifens kann näherungsweise mit der Federkonstante  $c_2$  beschrieben werden. Sämtliche Abmessungen in der Skizze sind in mm gegeben.

Gesucht ist die Eigenfrequenz  $f_g$  der gedämpften Pendelschwingung.

Zahlenwerte:  $m = 32 \text{ kg}$ ,  $J_S = 1,8 \text{ kg}\cdot\text{m}^2$ ,  $b = 3000 \text{ kg/s}$ ,  $c_1 = 20 \text{ N/mm}$ ,  
 $c_2 = 120 \text{ N/mm}$ ,  $g = 9,81 \text{ m/s}^2$

Lösung



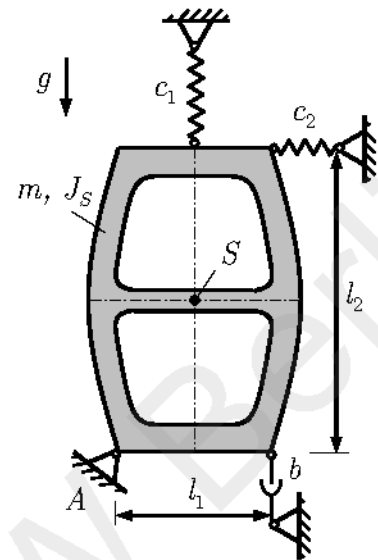
### Aufgabe 3.5.12

Der elastisch gelagerte Rahmen kann zu Pendelschwingungen um das Lager  $A$  angeregt werden.

Gesucht:

1. Resultierende Drehdämpferkonstante  $b_D$  und Drehfederkonstante  $c_D$
2. Eigenfrequenz der Pendelschwingung
3. Anzahl der Schwingungsperioden  $n$  bis Amplitude  $\hat{\varphi}$  auf 1 % abgeklungen ist

Zahlenwerte:  $m = 210 \text{ kg}$ ,  $J_S = 28,3 \text{ kg}\cdot\text{m}^2$ ,  
 $g = 9,81 \text{ m/s}^2$ ,  $c_1 = 90 \text{ N/mm}$ ,  
 $c_2 = 3 \text{ N/mm}$ ,  $b = 1800 \text{ kg/s}$ ,  
 $l_1 = 34 \text{ cm}$ ,  $l_2 = 82 \text{ cm}$



Lösung

## 3.6 Erzwungene Schwingungen

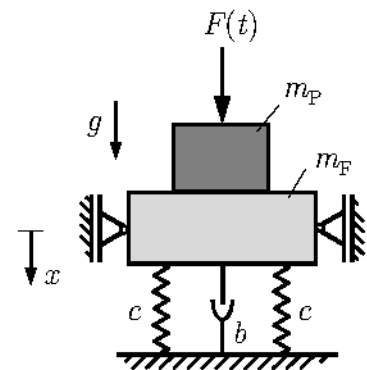
### Aufgabe 3.6.1

Eine Presse der Masse  $m_P$  ist auf einem elastisch gelagerten Maschinenfundament der Masse  $m_F$  befestigt und übt eine in  $x$ -Richtung wirkende harmonische Erregerkraft  $F(t) = \hat{F} \cdot \sin(\Omega t)$  aus.

Gesucht:

1. Bewegungsgleichung
2. Schwingungsamplitude  $\hat{x}$  im eingeschwungenen (stationären) Zustand für die beiden Erregerfrequenzen  $\Omega_1$  und  $\Omega_2$
3. Skizze der Vergrößerungsfunktion  $V(\eta)$  mit Kennzeichnung der beiden Einsatzfälle

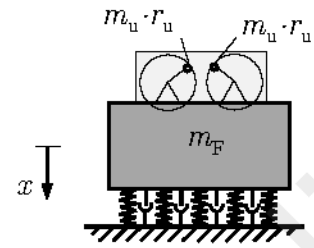
Zahlenwerte:  $m_P = 1200 \text{ kg}$ ,  $m_F = 2000 \text{ kg}$ ,  $c = 140 \text{ N/mm}$ ,  $b = 1000 \text{ kg/s}$ ,  
 $\hat{F} = 2 \text{ kN}$ ,  $\Omega_1 = 4 \text{ s}^{-1}$ ,  $\Omega_2 = 6 \text{ s}^{-1}$



Lösung

### Aufgabe 3.6.2

Für ein Maschinenfundament der Masse  $m_F$  und bekannter Federsteifigkeit  $c_{ges}$  sollen die Dämpfungsparameter experimentell bestimmt werden. Dazu wird das Fundament mit einem Unwuchtanreger mit der zwei gegensinnig rotierenden Unwuchten  $m_u r_u$  bei der Drehzahl  $n_1$  in Schwingungen versetzt und im eingeschwungenen Zustand die Schwingungsamplitude  $\hat{x}_1$  gemessen.



Gesucht:

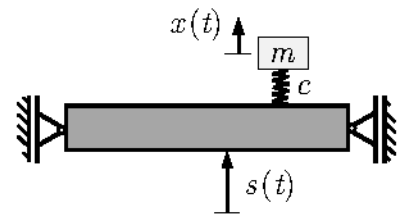
1. Dämpfungsgrad  $D$
2. Dämpferkonstante des Fundaments  $b_{ges}$

Zahlenwerte:  $m_F = 2500 \text{ kg}$ ,  $c_{ges} = 280 \text{ N/mm}$ ,  $m_u r_u = 0,25 \text{ kg}\cdot\text{m}$ ,  
 $n_1 = 102 \text{ U/min}$ ,  $\hat{x}_1 = 0,9 \text{ mm}$

Lösung

### Aufgabe 3.6.3

Die Regelelektronik einer Verarbeitungsmaschine (Masse  $m$ ) ist auf einem mit  $s(t) = \hat{s} \cdot \sin(\Omega t)$  vibrierenden Maschinengehäuse montiert. Die elektronischen Bauteile sollen im Betrieb keinen Beschleunigungen größer als  $a_{max}$  ausgesetzt werden. Dazu soll ein elastischer Schwingungsisolator eingesetzt werden.



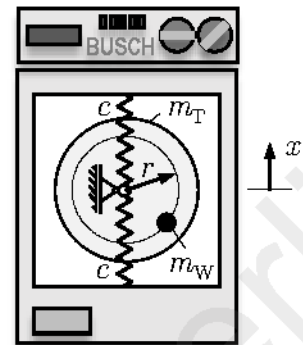
Gesucht ist die erforderliche Steifigkeit  $c$ .

Zahlenwerte:  $m = 1,2 \text{ kg}$ ,  $\hat{s} = 12 \text{ mm}$ ,  $\Omega = 63 \text{ s}^{-1}$ ,  $a_{max} = 2 \text{ m/s}^2$

Lösung

### Aufgabe 3.6.4

Die Trommel einer Waschmaschine (Masse  $m_T$ ) ist in vertikaler Richtung elastisch durch zwei Federn (Federkonstanten  $c$ ) gelagert. Betrachtet wird ausschließlich die Schwingung in vertikaler Richtung  $x$ .



Gesucht:

1. Eigenkreisfrequenz  $\omega_0$  des Schwingungssystems und entsprechende Resonanzdrehzahl  $n_R$  der Trommel
2. Schwingungsamplitude  $\hat{x}$ , wenn die Wäsche mit der Masse  $m_W$  konzentriert auf einem Punkt (z. B. ein paar Turnschuhe) mit dem Abstand  $r$  vom Drehpunkt bei  $n = 1400$  U/min geschleudert wird
3. Gesperrter Drehzahlbereich, damit  $\hat{x} \leq \hat{x}_{\max}$  bleibt

Zahlenwerte:  $m_T = 50$  kg,  $m_W = 600$  g,  $c = 10$  N/mm,  $r = 250$  mm,  $\hat{x}_{\max} = 5$  mm

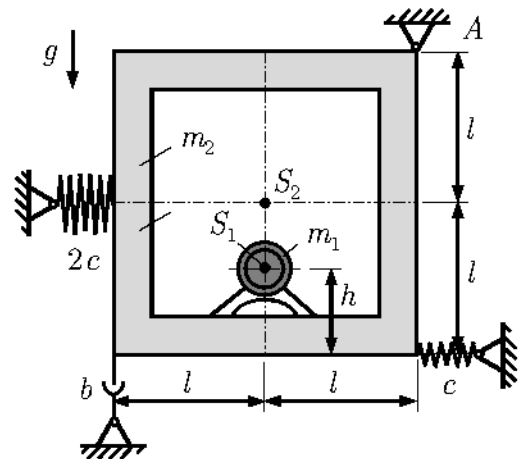
Lösung

### Aufgabe 3.6.5

In einem Rahmenträger (Masse  $m_2$ , Massenträgheitsmoment  $J_{S_2}$ ) läuft in einem Motorblock (Masse  $m_1$ ) eine Welle mit der Unwucht  $m_u \cdot r_u$ . Das Massenträgheitsmoment des Motorblocks ist klein (Idealisierung als Punktmasse).

Gesucht:

1. Resonanzdrehzahl der Welle in U/min
2. Amplitude der Drehschwingung um  $A$  bei Drehzahl von  $n = 350$  U/min

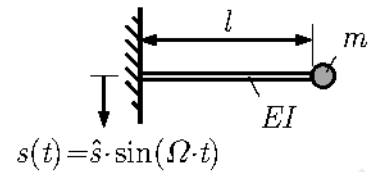


Zahlenwerte:  $m_1 = 80$  kg,  $m_2 = 100$  kg,  $J_{S_2} = 200$  kg·m<sup>2</sup>,  $l = 1$  m,  $h = 40$  cm,  $c = 180$  N/mm,  $b = 4000$  kg/s,  $m_u r_u = 12$  kg·m,  $g = 9,81$  m/s<sup>2</sup>

Lösung

### Aufgabe 3.6.6

An einer Blattfeder vernachlässigbarer Masse ist am freien Ende eine konzentrierte Masse (Idealisierung als Punktmasse) angebracht. Die Einspannung bewegt sich harmonisch und regt das System zu Schwingungen mit kleiner Amplitude an.



Gesucht:

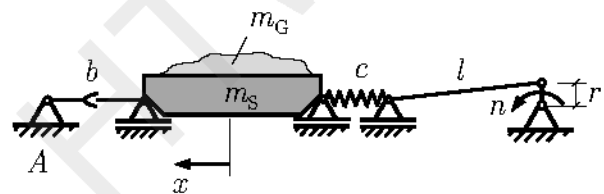
1. Bewegungsgleichung
2. Eigenkreisfrequenz  $\omega_0$
3. Schwingungsamplitude der Masse im eingeschwungenen Zustand (translatorisch)
4. Maximales Biegemoment in der Blattfeder im eingeschwungenen Zustand

Zahlenwerte:  $m = 8 \text{ kg}$ ,  $l = 1,2 \text{ m}$ ,  $EI = 3,3 \cdot 10^4 \text{ Nm}^2$ ,  $\hat{s} = 1 \text{ mm}$ ,  $\Omega = 55 \text{ s}^{-1}$

Lösung

### Aufgabe 3.6.7

Mit einem Rüttelsieb wird Schüttgut von groben Bestandteilen getrennt. Die abgebildete Konstruktion wird von einem Elektromotor über einen Kurbeltrieb (Pleuelstangenverhältnis  $\lambda \approx 0$ ) angetrieben,



wobei die Schwingungsanregung über eine Feder erfolgt (Federkraftanregung) und ist über einen Dämpfer gegen das Fundament abgestützt.

In Versuchen wurde das optimale Ergebnis für das Sieben erreicht, wenn sich das Sieb 1,5-mal pro Sekunde von einem Umkehrpunkt zum anderen bewegt und zwischen den Umkehrpunkten die Strecke  $e = 20 \text{ cm}$  liegt.

Hinweis: Die Schüttgutmasse  $m_G$  bleibt durch kontinuierliche Massenzufuhr näherungsweise konstant.

Gesucht:

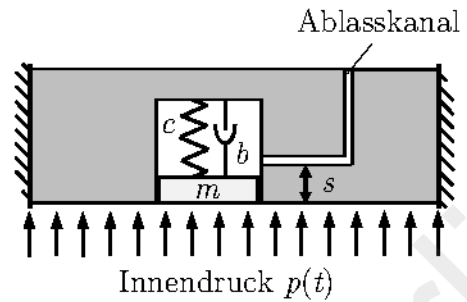
1. Bewegungsgleichung und Begründung, warum Federkraftanregung wie harmonische Kraftanregung behandelt werden kann
2. Motordrehzahl  $n$  für optimalen Betriebszustand
3. Federkonstante  $c$  für optimalen Betriebszustand
4. Dämpferkraftamplitude  $\hat{F}$ , die im eingeschwungenen Zustand an das Fundament bei A übertragen wird

Zahlenwerte:  $m_S = 50 \text{ kg}$ ,  $m_G = 25 \text{ kg}$ ,  $r = 7 \text{ cm}^2$ ,  $b = 100 \text{ kg/s}$

Lösung

**Aufgabe 3.6.8**

Das skizzierte Überdruckventil (Grundfläche  $A$ ) in einem Druckbehälter soll bei Erreichen des maximal statischen zulässigen Innendrucks  $p_{\max}$  um die Strecke  $s$  zusammengedrückt werden, so dass der Ablasskanal für den Druckausgleich frei wird. Im unbelasteten Fall  $p = 0$  schließt das Ventil mit der Innenwand des Behälters ab.



Während des regulären Betriebs liegt lediglich der statische Druck  $p_0$  an, der allerdings mit einer hochfrequenten Druckschwankung überlagert ist:  $p(t) = p_0 + \hat{p} \cdot \sin(\Omega t)$ , wobei die Amplitude  $\hat{p}$  und die Erregerkreisfrequenz  $\Omega$  verschiedene Werte annehmen können. Hierbei wird das Ventil zu harmonischen Schwingungen angeregt.

Gesucht:

1. Federsteifigkeit  $c$ , damit Ventil bei Erreichen des statischen Maximaldrucks  $p_{\max}$  öffnet
2. Mindestwert der Dämpferkonstante, damit es durch die im regulären Betrieb angeregten Ventilschwingungen nicht zum Druckausgleich unterhalb von  $p = 0,75 \cdot p_{\max}$  kommt.

Für die Erregerkreisfrequenz  $\Omega$  ist der ungünstigste Fall anzunehmen.

Zahlenwerte:  $m = 0,5 \text{ kg}$ ,  $A = 250 \text{ mm}^2$ ,  $s = 5 \text{ mm}$ ,  $p_{\max} = 80 \text{ bar}$ ,  $p_0 = 50 \text{ bar}$

Lösung

# A Ergebnisse der Aufgaben

Aufgabe 1.1.1  $F_R = 161,06 \text{ N}$ ,  $\varphi_R = 17,7^\circ$  (math. positiv von  $x$ -Achse ausgehend)

Aufgabe 1.1.2  $F_n = -361,4 \text{ N}$ ,  $F_t = 117,4 \text{ N}$

Aufgabe 1.1.3  $\varphi_1 = 21,01^\circ$ ,  $F_R = 1,156 \text{ MN}$

Aufgabe 1.1.4  $F_S = 2873,2 \text{ N}$

Aufgabe 1.1.5  $h_1 = 0,1175 \text{ m}$ ,  $h_{\max} = 0,473 \text{ m}$ ,  $F_{\max} = 1095,2 \text{ N}$

Aufgabe 1.1.6  $F_{S1} = \frac{F + mg \tan \beta}{\cos \alpha \cdot (1 + \tan \beta \tan \alpha)} = 553,3 \text{ N}$ ,  $\tilde{F} = 339,8 \text{ N}$

Aufgabe 1.1.7  $\alpha = \arctan \left( 1 + \frac{m_R}{m_K} \right) = 55,49^\circ$

Aufgabe 1.1.8 analytisch:

$$\sin \beta = \frac{F_{G2}^2 + F_{G0}^2 - F_{G1}^2}{2F_{G0}F_{G2}} \rightarrow \beta = 55,228^\circ,$$

$$\cos \alpha = \cos \beta \cdot \left( \frac{F_{G2}}{F_{G1}} \right) \rightarrow \alpha = 31,189^\circ$$

numerisch:

aus Gleichgewichtsbilanzen folgt nach Eliminierung von  $\alpha$ :

$$0 = F_{G1} \cdot \sin \left( \arccos \left( \cos \beta \left( \frac{F_{G2}}{F_{G1}} \right) \right) \right) + F_{G2} \cdot \sin \beta - F_{G0}$$

Lösung z. B. mit Excel-Solver

Aufgabe 1.2.1  $F_R = 3927 \text{ N}$ ,  $\alpha_R = 4,64^\circ$ ,  $M_{R,0} = -7535,2 \text{ Nm}$ ,

Wirkungslinie der resultierenden Kraft:  $y_R = 0,081 \cdot x_R + 1,925 \text{ m}$

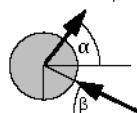
Aufgabe 1.2.2  $F_P = 25,489 \text{ kN}$  (Zylinderkraft  $F_Z = 25,133 \text{ kN}$ ),  $M_A = 779,78 \text{ Nm}$

Aufgabe 1.2.3  $S_S = M_S/M_K = 1,44$ ,  $e_{\max} = 4,682 \text{ m}$

Aufgabe 1.2.4  $M_T = 68,94 \text{ Nm}$ ,  $F_K = 919,3 \text{ N}$ ,  $M_R = 33,09 \text{ Nm}$ ,  $F_V = 90,67 \text{ N}$

Aufgabe 1.2.5  $F = \frac{F_G (1 - a/l)}{\sin \alpha + \cos \alpha \cdot \tan \beta} = 109,28 \text{ N}$ ,  $\beta = 14,48^\circ$ ,

$\alpha' = 75,52^\circ$ ,  $F(\alpha') = 105,30 \text{ N}$

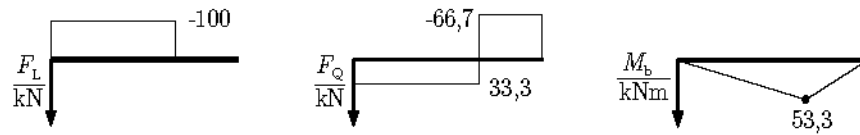


A Ergebnisse der Aufgaben

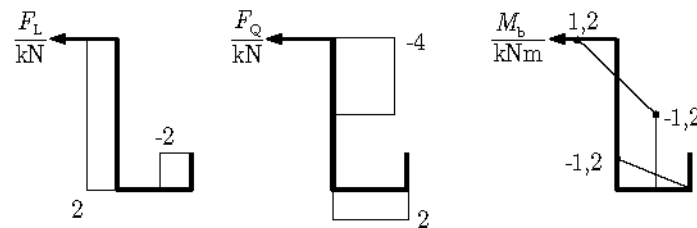
- Aufgabe 1.3.1  $F_{Ax} = 1000 \text{ N}$ ,  $F_{Ay} = 366,1 \text{ N}$ ,  $F_B = 2366 \text{ N}$
- Aufgabe 1.3.2  $F_{Bx} = 100 \text{ N}$ ,  $F_{By} = 200 \text{ N}$ ,  $M_{Bz} = 350 \text{ Nm}$
- Aufgabe 1.3.3  $F_{Ax} = 15 \text{ kN}$ ,  $F_{Ay} = -13 \text{ kN}$ ,  $F_B = 39 \text{ kN}$
- Aufgabe 1.3.4  $F_{Bx} = -6606,25 \text{ N}$ ,  $F_{By} = -1875,0 \text{ N}$ ,  
 $F_C = 7608,76 \text{ N}$  (Pendelstütze)
- Aufgabe 1.3.5  $F_{S,z}(\leftarrow) = F_{N,w}(\rightarrow) = 522,5 \text{ N}$ ,  $F_{S,s}(\uparrow) = 130,5 \text{ N}$
- Aufgabe 1.3.6  $F_{Ax} = -1234 \text{ N}$ ,  $F_{Ay} = 2053 \text{ N}$ ,  $F_{Bx} = 1510 \text{ N}$ ,  $F_{By} = 491 \text{ N}$ ,  
 $F_{Cx} = -276 \text{ N}$ ,  $F_{Cy} = -1563 \text{ N}$
- Aufgabe 1.3.7  $F_A(\uparrow) = \frac{5}{8}F_K + \frac{1}{4}F_G + \frac{1}{2}F_T$ ,  $F_B(\uparrow) = \frac{3}{8}F_K + \frac{3}{4}F_G + \frac{1}{2}F_T$ ,  $F_C(\uparrow) = -F_G$ ,  
 $F_D(\uparrow) = 2F_G + F_K$ ,  $F_E = \sqrt{F_{E,x}^2 + F_{E,y}^2} = 0,87 \cdot F_G$
- Aufgabe 1.3.8  $F_{Ax} = 0$ ,  $F_{Ay} = 5166,7 \text{ N}$ ,  $F_B(\uparrow) = 833,3 \text{ N}$
- Aufgabe 1.3.9  $F_{Ax} = 0$ ,  $F_{Ay} = 300 \text{ N}$ ,  $F_B(\uparrow) = 60 \text{ N}$
- Aufgabe 1.3.10  $F_{Ax} = -70 \text{ N}$ ,  $F_{Ay} = 445 \text{ N}$ ,  $F_B(\uparrow) = 25 \text{ N}$
- Aufgabe 1.3.11  $F_{Ax} = -400 \text{ N}$ ,  $F_{Ay} = 560 \text{ N}$ ,  $M_{Az} = 204 \text{ N}$ ,  
 $F_B(\uparrow) = 1200 \text{ N}$ ,  $F_{Gh} = -400 \text{ N}$ ,  $F_{Gv} = 800 \text{ N}$
- Aufgabe 1.3.12  $F_{Ax} = 0 \text{ N}$ ,  $F_{Ay} = 10.667 \text{ N}$ ,  $F_B(\uparrow) = 41.333 \text{ N}$ ,  $F_C(\uparrow) = 10.000 \text{ N}$ ,  
 $F_{Gh} = 0$ ,  $F_{Gv} = 10.000 \text{ N}$
- Aufgabe 1.3.13  $F_{Ax} = 1,714 \text{ kN}$ ,  $F_{Ay} = 0$ ,  $F_{Bh} = -1,714 \text{ kN}$ ,  $F_{Bv} = 0$ ,  
 $F_{Ch} = 1,714 \text{ kN}$ ,  $F_{Cv} = -3 \text{ kN}$ ,  $F_{Dx} = -1,714 \text{ kN}$ ,  $F_{Dy} = 3,685 \text{ kN}$ ,  
 $F_E = 6,685 \text{ kN}$
- Aufgabe 1.3.14  $F_P = 484,635 \text{ kN}$ ,  $F_P/F = 13,85$
- Aufgabe 1.3.15  $F_{Ax} = -876 \text{ N}$ ,  $F_{Ay} = 648 \text{ N}$ ,  $F_{Bx} = 144 \text{ N}$ ,  $F_{By} = 216 \text{ N}$ ,  
 $F_{Gh} = 144 \text{ N}$ ,  $F_{Gv} = 216 \text{ N}$
- Aufgabe 1.3.16  $F_A(\uparrow) = 28,5 \text{ kN}$ ,  $F_{Bx} = 0 \text{ N}$ ,  $F_{By} = 33,5 \text{ N}$ ,  $F_{G_{1h}} = 10,7 \text{ kN}$ ,  
 $F_{G_{1v}} = 12,5 \text{ kN}$ ,  $F_{G_{2h}} = 10,7 \text{ kN}$ ,  $F_{G_{2v}} = -17,5 \text{ kN}$ ,  
 $F_{G_{3h}} = -10,7 \text{ kN}$ ,  $F_{G_{3v}} = 0$
- Aufgabe 1.4.1  $F_1 = -4,88 \text{ kN}$ ,  $F_2 = -4,88 \text{ kN}$ ,  $F_3 = 1,25 \text{ kN}$ ,  $F_4 = 3,80 \text{ kN}$ ,  
 $F_5 = 3,80 \text{ kN}$
- Aufgabe 1.4.2  $F_{Ax} = -2F$ ,  $F_{Ay} = F$ ,  $F_B(\rightarrow) = 2F$ ,  $F_1 = 2,236 F$ ,  $F_2 = -2F$ ,  
 $F_3 = 0$ ,  $F_4 = -2F$ ,  $F_5 = 0$ ,  $F_6 = 2,236 F$ ,  $F_7 = -F$
- Aufgabe 1.4.3  $F_4 = 24,0 \text{ kN}$ ,  $F_5 = 6,7 \text{ kN}$ ,  $F_6 = -44,7 \text{ kN}$
- Aufgabe 1.4.4  $F_1 = 10 \text{ kN}$ ,  $F_2 = -11,18 \text{ kN}$ ,  $F_3 = -11,18 \text{ kN}$ ,  $F_4 = 0$ ,  
 $F_5 = -6,01 \text{ kN}$ ,  $F_6 = 13,33 \text{ kN}$ ,  $F_7 = 3,00 \text{ kN}$ ,  $F_8 = -7,50 \text{ kN}$ ,  
 $F_9 = -16,77 \text{ kN}$ ,  $F_V(\rightarrow) = 15 \text{ kN}$ ,  $F_{IVx} = -15 \text{ kN}$ ,  $F_{IVy} = 15 \text{ kN}$

A Ergebnisse der Aufgaben

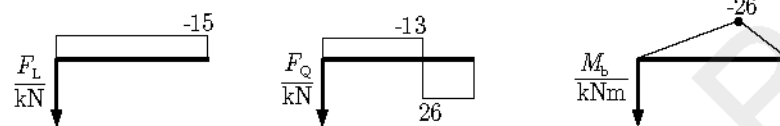
Aufgabe 1.5.1



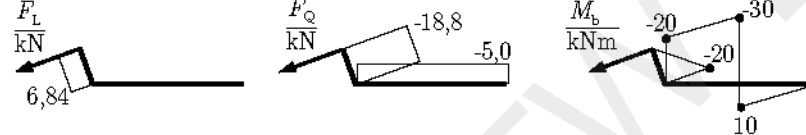
Aufgabe 1.5.2



Aufgabe 1.5.3

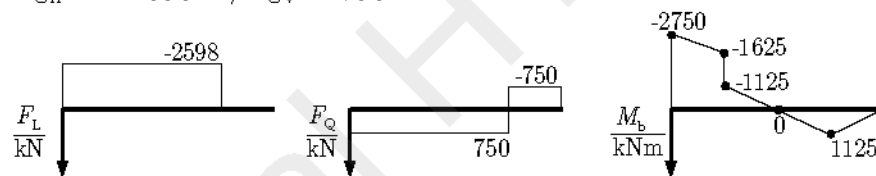


Aufgabe 1.5.4

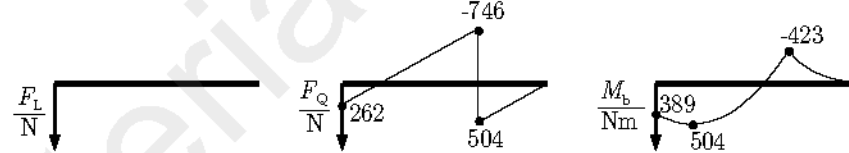


Aufgabe 1.5.5

$F_{Ax} = 2598 \text{ N}$ ,  $F_{Ay} = 750 \text{ N}$ ,  $M_{Az} = 2750 \text{ Nm}$ ,  $F_B(\uparrow) = 750 \text{ N}$ ,  
 $F_{Gh} = -2598 \text{ N}$ ,  $F_{Gv} = 750 \text{ N}$

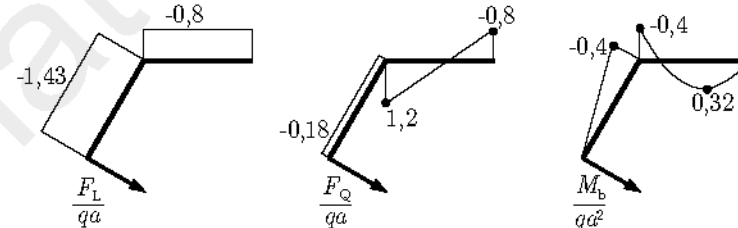


Aufgabe 1.5.6



$M_{b,\max} = 504 \text{ Nm}$  (0,873 m von der Einspannung entfernt)

Aufgabe 1.5.7



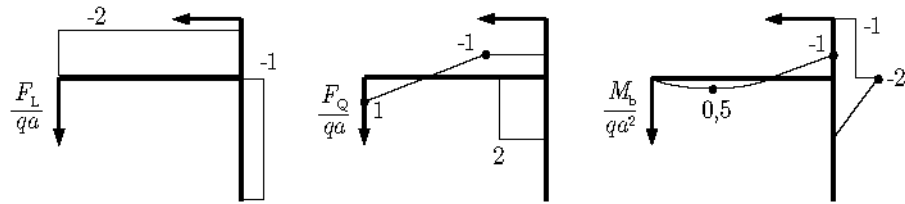
$M_{b,\max} = 0,32 \text{ qa}^2$  (0,8 a von Lager B entfernt)

Aufgabe 1.5.8

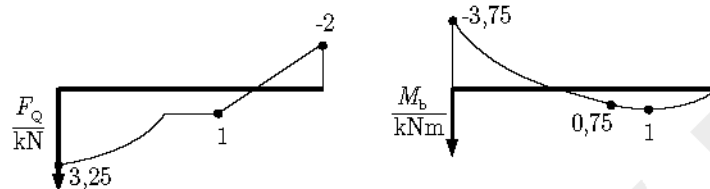


A Ergebnisse der Aufgaben

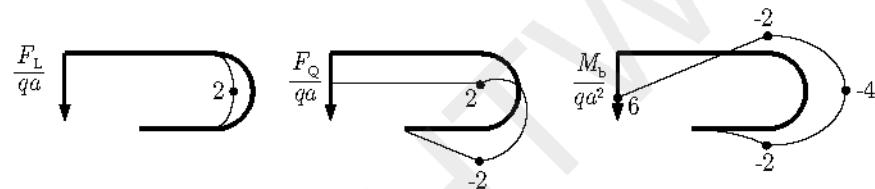
Aufgabe 1.5.9  $F_{Ax} = 2qa$ ,  $F_{Ay} = qa$ ,  $F_B(\uparrow) = qa$



Aufgabe 1.5.10  $F_{Bx} = 0$ ,  $F_{By} = 3250$  N,  $M_{Bz} = 3750$  Nm,  $F_C(\uparrow) = 2000$  N,  $F_{Gh} = 0$ ,  $F_{Gv} = 1000$  N



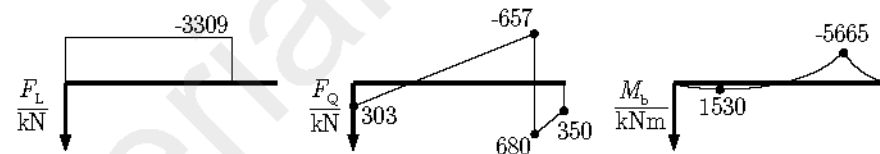
Aufgabe 1.5.11  $F_{Ax} = 0$ ,  $F_{Ay} = 2qa$ ,  $M_{Az} = 6qa^2$



Aufgabe 1.5.12 Radausleger:

Seilkraft  $F_{S,RA} = 3569,2$  kN,

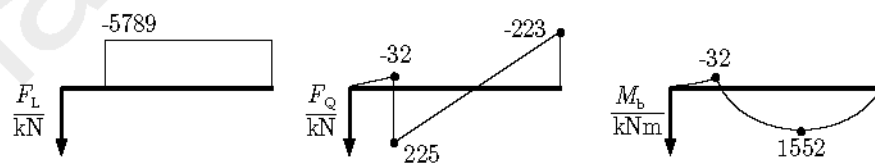
Gelenkkräfte  $F_{G,RAx} = 3309,3$  kN,  $F_{G,RAy} = 302,97$  kN



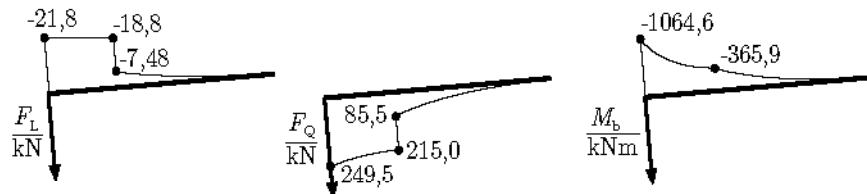
Gegenausleger:

Seilkraft  $F_{S,GA} = 6160,9$  kN,

Gelenkkräfte  $F_{G,GAx} = -5789,3$  kN,  $F_{G,GAy} = 222,86$  kN



Aufgabe 1.5.13

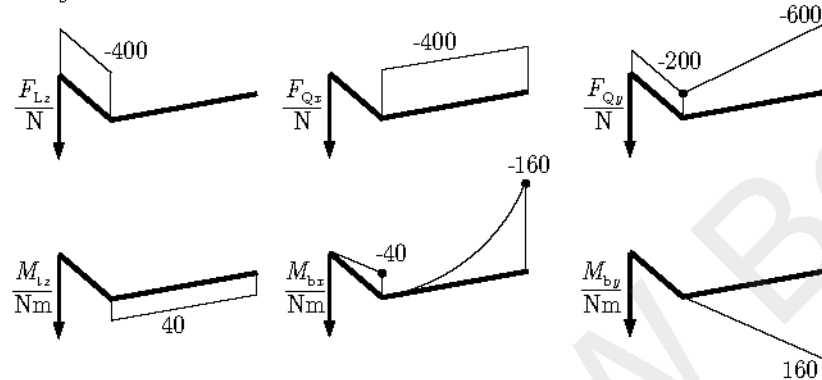


## A Ergebnisse der Aufgaben

Aufgabe 1.6.1  $F_{Rx} = 257,14 \text{ N}$ ,  $F_{Ry} = 394,98 \text{ N}$ ,  $F_{Rz} = 396,65 \text{ N}$ ,  $F_R = 616,0 \text{ N}$ ,  
 $\alpha_{Rx} = 65,3^\circ$ ,  $\alpha_{Ry} = 50,1^\circ$ ,  $\alpha_{Rz} = 49,9^\circ$

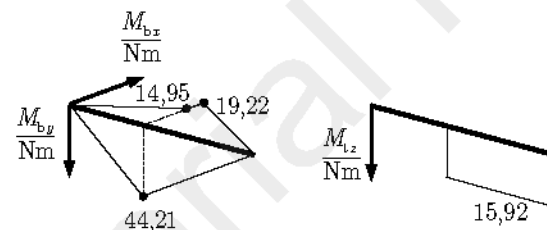
Aufgabe 1.6.2  $F_{Ax} = -600 \text{ N}$ ,  $F_{Ay} = -800 \text{ N}$ ,  $F_{Az} = -500 \text{ N}$ ,  
 $M_{Ax} = 600 \text{ Nm}$ ,  $M_{Ay} = -640 \text{ Nm}$ ,  $M_{Az} = -1280 \text{ Nm}$

Aufgabe 1.6.3  $F_{Ax} = -400 \text{ N}$ ,  $F_{Ay} = -600 \text{ N}$ ,  $F_{Az} = 0 \text{ N}$ ,  $M_{Ax} = -160 \text{ Nm}$ ,  
 $M_{Ay} = 160 \text{ Nm}$ ,  $M_{Az} = 40 \text{ Nm}$



Aufgabe 1.6.4  $F_{Bx} = 0$ ,  $F_{By} = -11,28 \text{ N}$ ,  $F_{Bz} = 106,14 \text{ N}$ , Seil:  $F_S = 122,56 \text{ N}$ ,  
 $M_{By} = -23,35 \text{ Nm}$ ,  $M_{Bz} = 24,48 \text{ Nm}$

Aufgabe 1.6.5  $M_A = 15,915 \text{ Nm}$ ,  $F_t = 368,41 \text{ N}$ ,  $F_a = 98,72 \text{ N}$ ,  $F_r = 138,82 \text{ N}$ ,  
 $F_{Bx} = -147,34 \text{ N}$ ,  $F_{By} = 64,06 \text{ N}$ ,  
 $F_{Cx} = -221,05 \text{ N}$ ,  $F_{Cy} = 74,76 \text{ N}$ ,  $F_{Cz} = -98,72 \text{ N}$

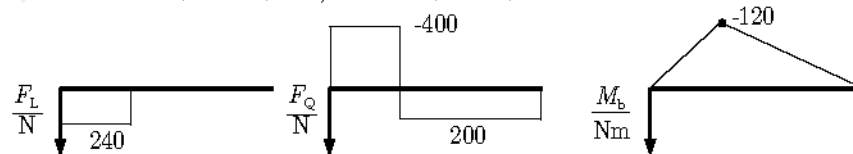


$$M_{b,\max} = 48,2 \text{ Nm}$$

Aufgabe 1.7.1  $F_{\min} = 58,2 \text{ N}$

Aufgabe 1.7.2  $h_{\max} = 6,54 \text{ m}$

Aufgabe 1.7.3  $M_{B\text{rems}} = 38,4 \text{ Nm}$ ,  $F_{R,A} = 466,48 \text{ N}$ ,



Aufgabe 1.7.4  $\alpha = 724^\circ \cong 2,01$  Umschlingungen,  
 praktisch sind 2,5 Umschlingungen notwendig

Aufgabe 1.7.5  $F = 242,8 \text{ N}$ ,  $h = 66,67 \text{ cm}$

A Ergebnisse der Aufgaben

Aufgabe 1.7.6  $\varphi = 2,29^\circ$

Aufgabe 1.7.7  $l = 113,89 \text{ cm}$

Aufgabe 1.7.8  $\mu_0 = 0,115$

Aufgabe 1.7.9  $0,4 \cdot l \leq x \leq 0,67 \cdot l$

Aufgabe 1.7.10  $90,101 \text{ kg} \leq m_2 \leq 2959,2 \text{ kg}$

Aufgabe 1.7.11  $b \geq 41,4 \text{ mm}$

Aufgabe 1.8.1 allgemein:  $x_S = \frac{2}{3} \cdot \frac{R \sin \alpha}{\alpha}$

Halbkreis:  $x_S = \frac{4R}{3\pi}$ , Viertelkreis:  $x_S = \frac{4\sqrt{2}R}{3\pi}$

Aufgabe 1.8.2 Trapez: 
$$z_S = \frac{1}{A} \int_{z=0}^h \int_{x=-x(z)}^{x(z)} z \, dx \, dz = \frac{4}{9}h \approx 0,44h$$

mit  $x(z) = R \left(2 - \frac{z}{h}\right)$  und  $A = 3Rh$

Kegelstumpf: 
$$z_S = \frac{1}{V} \int_{\varphi=0}^{2\pi} \int_{z=0}^h \int_{r=0}^{r(z)} (z \cdot r) \, dr \, dz \, d\varphi = \frac{11}{28}h \approx 0,39h$$

mit 
$$V = \int_{\varphi=0}^{2\pi} \int_{z=0}^h \int_{r=0}^{r(z)} r \, dr \, dz \, d\varphi = \frac{7}{3}\pi R^2 h; \quad r(z) = R \left(2 - \frac{z}{h}\right)$$

Aufgabe 1.8.3  $c = \frac{\sqrt{3}-1}{2} \cdot a = 1,76 \text{ dm}$

Aufgabe 1.8.4  $x_S = 321 \text{ mm}, y_S = 142 \text{ mm},$   
 $F_{Ax} = 0, F_{Ay} = -29,1 \text{ N}, F_B(\uparrow) = 77,2 \text{ N}$

Aufgabe 1.8.5  $\alpha = 38,66^\circ$

Aufgabe 1.8.6  $x_S = 31,59 \text{ mm}, y_S = 0$

Aufgabe 1.9.1  $I_{xx} = 273.852 \text{ mm}^4, I_{yy} = 143.132 \text{ mm}^4, I_{xy} = 0,$   
 $I_1 = I_{xx}, I_2 = I_{yy}$

Aufgabe 1.9.2 DIN:  $I_{xx,(I 240)} = 4250 \text{ cm}^4$ , Gesamtprofil:  $I_{xx} = 24.031 \text{ cm}^4$

Aufgabe 1.9.3  $x_S = 6,79 \text{ mm}, y_S = 13,2 \text{ mm},$   
 $I_1 = 9115 \text{ mm}^4, I_2 = 2868 \text{ mm}^4$   
 Hauptachse 1 um  $\varphi_0 = -45^\circ$  zur  $x$ -Achse verdreht

Aufgabe 1.9.4  $I_{\max} = \frac{\sqrt{3}}{64}d^4$  bzw.  $h = \frac{\sqrt{3}}{2}d$  und  $b = \frac{d}{2}$

A Ergebnisse der Aufgaben

Aufgabe 2.1.1  $E = 71.033,6 \text{ MPa}$ ,  $\nu = 0,352$ ,  $G = 26.260,9 \text{ MPa}$ ,  
z. B. eine Aluminiumlegierung

Aufgabe 2.1.2  $d_{\min} = \sqrt{\frac{2F}{\pi\tau_{\text{zul}}}} = 7,284 \text{ mm}$

Aufgabe 2.2.1  $\Delta l_0 = 0,481 \text{ mm}$ ,  $\Delta l_1 = 0,863 \text{ mm}$

Aufgabe 2.2.2 1. Stabkräfte  $F_S = \frac{F_G}{2\sin\alpha} = 3464 \text{ N} \rightarrow \sigma = 122,5 \text{ MPa}$ ,  
2.  $\Delta l = 1,0105 \text{ mm}$ ,  $\Delta h = 1,167 \text{ mm}$

Aufgabe 2.2.3 Statik:  $F_{\text{CD}} = \frac{F}{\tan\alpha}$ ,  $\Delta l_{\text{CD}} = 2\frac{F_{\text{CD}}l_1}{EA_1} + \frac{F_{\text{CD}}l_0}{EA_0} \rightarrow F = 865,4 \text{ N}$ ,  
Bruch, wenn  $R_m = \frac{\tilde{F}_{\text{CD}}}{A_0} \rightarrow F_{\max} = 1250 \text{ N}$

Aufgabe 2.2.4 1. Berührung, wenn  $\Delta l_1 + \Delta l_2 = \delta \rightarrow \Delta T_1 = 28,57 \text{ K}$   
2.  $\Delta T = \Delta T_2 - \Delta T_1$ , kinemat. Zwangsbed.:  $\Delta \tilde{l}_1 + \Delta \tilde{l}_2 = 0$ ,  
Gleichgewicht:  $F_{S1} = F_{S2}$ , Materialgesetz:  $\frac{\Delta l_i}{l_i} = \frac{F_{Si}}{EA_i} + \alpha\Delta T$   
 $\rightarrow$  Stabkraft:  $F = 21,713 \text{ kN}$   
3.  $\sigma_{\max} = 31 \text{ MPa}$

Aufgabe 2.2.5 1-fach stat. unbest. System, kinem. Zwangsbed.:  $\Delta l_D = 2\Delta l_C$   
 $\rightarrow F_B = F_D = \frac{qa}{1 + \frac{cl}{4EA}}$ ,  $F_C = \frac{2qa}{1 + \frac{cl}{4EA}}$

Aufgabe 2.2.6 Längenänderung:  $\Delta h = \int_{z=0}^h \frac{F/2}{EA(z)} dz$ ,  $A(z) = d\left(a + \frac{b-a}{h} \cdot z\right)$   
mit Standardintegral aus TW:  $\int \frac{1}{n+mx} dx = \frac{1}{m} \ln(n+mx)$  folgt  
 $\Delta h = \frac{Fh}{2Ed(b-a)} (\ln b - \ln a)$   
 $\rightarrow c = \frac{2Ed(b-a)}{h(\ln(b) - \ln(a))} = 2019,77 \text{ kN/mm}$

Aufgabe 2.2.7 Längskraft  $F_L(x) = -F - \rho gV(x)$

mit  $V(x) = \int_0^x A(x) dx = \frac{\pi}{4}D^2 \left(x + \frac{x^2}{h} + \frac{x^3}{3h^2}\right)$

Hinweis:  $A(x) = \frac{\pi}{4}d(x)^2$  und  $d(x) = D\left(1 + \frac{x}{h}\right)$

A Ergebnisse der Aufgaben

$$\rightarrow \sigma_x(x) = \frac{F_L(x)}{A(x)} = -\frac{\frac{4F}{\pi D^2} + \rho g x \left(1 + \frac{x}{h} + \frac{1}{3} \left(\frac{x}{h}\right)^2\right)}{\left(1 + \frac{x}{h}\right)^2}$$

$$\sigma_{\max} = \sigma_x(x=h) = -2,68 \text{ MPa}$$

Aufgabe 2.2.8 Rohr:  $\Delta l_R = \frac{Fl}{E_{Cu}A_R}$ , Schraube:  $\Delta l_S = \frac{F(l-\delta)}{E_{St}A_S}$

nach Anziehen:  $l - \Delta l_R = (l - \delta) + \Delta l_S$

$$\rightarrow F = \frac{\delta}{\frac{l-\delta}{E_{St}A_S} + \frac{l}{E_{Cu}A_R}} = 26,146 \text{ kN}$$

$$\rightarrow \Delta l_R = 0,0185 \text{ mm}$$

Aufgabe 2.3.1  $M_t = 37,5 \text{ Nm}$ ,  $\tau_{\max} = 56,6 \text{ MPa}$ ,  $\Delta\varphi = 2,68^\circ$

Aufgabe 2.3.2 1.  $\frac{\Delta\tau}{\tau_{\text{voll}}} = 8,14 \%$

2.  $\frac{\Delta\varphi}{\varphi_{\text{voll}}} = 8,14 \%$

3. Masseinsparung  $\frac{\Delta m}{m_{\text{voll}}} = -27,4 \%$

Aufgabe 2.3.3 1.  $M_t = 249,1 \text{ Nm}$

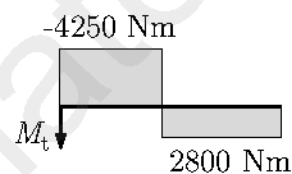
2.  $d_V = 34,84 \text{ mm}$ , gewählt 35 mm

3.  $d_{H,i} = 38,50 \text{ mm}$ , gewählt 38 mm

4. Masseneinsparung um 52,57 %

5.  $\tau_{H,i} = 23,9 \text{ MPa}$

Aufgabe 2.3.4  $M_A = 7050 \text{ Nm}$ ,



$d_1 = 89,69 \text{ mm}$  (gewählt 90 mm),  $d_2 = 78,04 \text{ mm}$  (gewählt 79 mm)

$\Delta\varphi_1 = -0,38^\circ$ ,  $\Delta\varphi_2 = 0,53^\circ$  (positive Verdrehrichtung:  $\rightarrow$ )

$\Delta\varphi_{\text{ges}} = 0,15^\circ$

Aufgabe 2.3.5  $M_{t2} = 530,83 \text{ Nm}$ ,

$d_1 = 32,18 \text{ mm}$  (gewählt 33 mm),  $d_2 = 36,63 \text{ mm}$  (gewählt 37 mm)

$$\Delta\varphi_C = \Delta\varphi_1 \cdot \left(\frac{R_1}{R_2}\right) + \Delta\varphi_2 = 0,77^\circ$$

## A Ergebnisse der Aufgaben

Aufgabe 2.3.6  $M_t(z) = \frac{\pi \mu p_h d_A^2}{2h} \cdot z$ ,  $M_A = 137,9 \text{ kNm}$ ,  $\tau_{\max} = 9,85 \text{ MPa}$

Aufgabe 2.3.7 zylindrische Wellenabschnitte:  $\varphi_1 = 0,037^\circ$ ,  $c_{T1} = 186,10 \text{ kNm}$ ,  
 $\varphi_3 = 0,134^\circ$ ,  $c_{T3} = 51,46 \text{ kNm}$

konischer Wellenabschnitt mit  $d(z) = d \left( 3 - \frac{z}{l_2} \right)$ :

$$\varphi_2 = \int_{z=0}^{l_2} \frac{32M_t}{\pi G \cdot d(z)^4} dz = \frac{76}{81} \cdot \frac{\pi G d^4}{l_2} = 0,0013 = 0,075^\circ$$

$$c_{T2} = \frac{81}{76} \cdot \frac{\pi G d^4}{76 l_2} = 91,42 \text{ kNm}$$

Gesamtverdrehsteifigkeit (Reihenschaltung),  $c_T = 27,98 \text{ kNm}$

Aufgabe 2.3.8 1-fach stat. unbestimmt, kinemat. Zwangsbed.:  $\varphi_1 = \varphi_2$

Gleichgewicht:  $M_t = M_{t1} + M_{t2}$

$\rightarrow \tau_1 = 22,43 \text{ MPa}$ ,  $\tau_2 = 16,82 \text{ MPa}$ ,

$\rightarrow \theta = 0,0175 \text{ rad/m}$  bzw.  $1,004^\circ/\text{m}$

Aufgabe 2.3.9 a)  $\tau = 4,33 \text{ MPa}$ ,  $\varphi = 0,0054$  bzw.  $0,31^\circ$

b)  $\tau = 85,26 \text{ MPa}$ ,  $\varphi = 0,7993$  bzw.  $45,8^\circ$

$$\text{mit } I_{t,\text{off.}} = \frac{1}{3} \pi (d_a - t) t^3, \quad W_{t,\text{off.}} = \frac{I_{t,\text{off.}}}{t}$$

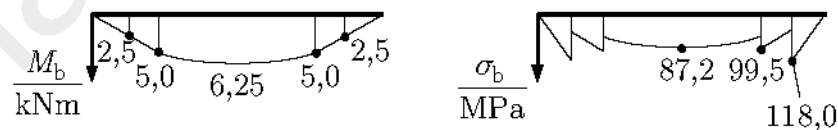
Aufgabe 2.4.1  $M_{bz,\text{max}} = -2m_L g a$ ,  $I_{xx} = 484.084 \text{ mm}^4$ ,  $y_{\max} = 49,56 \text{ mm}$

Grenzlast, wenn  $\sigma_{zul} = \frac{M_{bz,\text{max}}}{I_{xx}} \cdot y_{\max} \rightarrow m_L = 265,5 \text{ kg}$

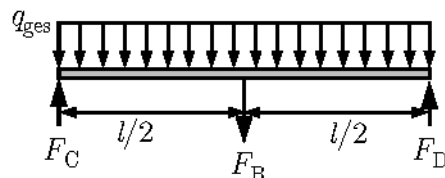
Aufgabe 2.4.2  $I_{xx} = 3.063.128 \text{ mm}^4$ ,  $M_{b,\text{max}} = 8,0 \text{ kNm}$ ,  $\sigma_{\max} = \pm 156,7 \text{ MPa}$   
(Oberseite: negativ  $\rightarrow$  Druck, Unterseite: positiv  $\rightarrow$  Zug),  $S_F = 1,75$

Aufgabe 2.4.3 pro Abschnitt  $W_b = \frac{I_{xx}}{y_{\max}}$ ,  $\sigma_{b,\text{max}} = \frac{M_b}{W_b}$

$W_b(d=60 \text{ mm}) = 2,12 \cdot 10^4 \text{ mm}^3$ ,  $W_b(d=80 \text{ mm}) = 5,03 \cdot 10^4 \text{ mm}^3$ ,  
 $W_b(d=90 \text{ mm}) = 7,17 \cdot 10^4 \text{ mm}^3$



Aufgabe 2.4.4 1.  $q_{\text{ges}} = \rho A g + \frac{1}{2} m_{q,A} \cdot g = 121,64 \text{ N/m}$ ,  $F_B = \frac{1}{2} m_B g = 1128 \text{ N}$



## A Ergebnisse der Aufgaben

$$2. M_{bz, \max} = \frac{1}{8}ql^2 + \frac{1}{4}F_B l, \quad \sigma_{zul} = \frac{M_{bz, \max}}{I_{xx}} \cdot y_{\max}$$

→ Variante 1 (hochkant)  $l = 4,856 \text{ m}$ ,  
→ Variante 2 (flachkant)  $l = 1,856 \text{ m}$

Aufgabe 2.4.5  $M_{b, \max} = \frac{9}{128}ql^2$  bei  $z = 0,375 \cdot l$  (von B aus betrachtet)  
→  $\sigma_{b, \max} = 204,6 \text{ MPa}$

Aufgabe 2.4.6  $h(z) = \sqrt{\frac{6Fz}{b\sigma_{zul}}}$

Aufgabe 2.4.7 Schnittreaktionen  $F_L(z) = F \cos \alpha$ ,  $M_b(z) = -F \sin \alpha$

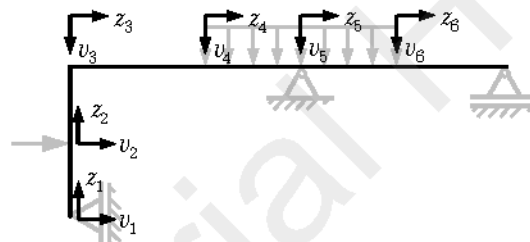
$$A(z) = ba \left(1 - \frac{z}{l}\right), \quad I_{xx}(z) = \frac{ba^3 \left(1 + \frac{z}{l}\right)^3}{12}, \quad y_{\max}(z) = -\frac{1}{2}a \left(1 + \frac{z}{l}\right)$$

$$\sigma_{\max}(z) = \frac{F_L(z)}{A(z)} + \frac{M_b(z)}{I_{xx}(z)} \cdot y_{\max}(z) = \frac{F}{ab} \left( \frac{\cos \alpha}{\left(1 + \frac{z}{l}\right)} + \frac{6z \sin \alpha}{a \left(1 + \frac{z}{l}\right)^2} \right)$$

Maximum  $\frac{d\sigma_{\max}(z)}{dz} = 0 \rightarrow z_{\max} = 953,5 \text{ mm}$

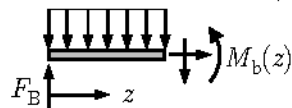
→  $\sigma_{\max}(z_{\max}) = 90,18 \text{ MPa}$

Aufgabe 2.4.8 1-fach statisch unbestimmt



$$\begin{aligned} v_1(z_1=0) &= 0, \quad v_2(z_2=h) = 0, \quad v_5(z_5=0) = 0, \quad v_6(z_6=b) = 0, \\ v_1(z_1=h) &= v_2(z_2=0), \quad v_1'(z_1=h) = v_2'(z_2=0), \\ v_2'(z_2=h) &= v_3'(z_3=0), \quad v_3(z_3=b) = v_4(z_4=0), \\ v_3'(z_3=b) &= v_4'(z_4=0), \quad v_4(z_4=a) = v_5(z_5=0), \\ v_4'(z_4=a) &= v_5'(z_5=0), \quad v_5(z_5=a) = v_6(z_6=0), \\ v_5'(z_5=a) &= v_6'(z_6=0) \end{aligned}$$

Aufgabe 2.4.9 Schnittmoment  $M_b(z) = \frac{1}{2}q(lz - z^2)$

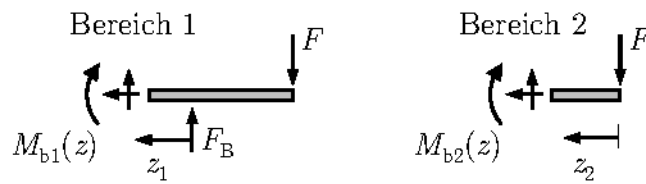


Randbedingungen  $v(z=0) = 0$ ,  $v(z=l) = 0$

$$v(z) = \frac{ql^4}{24EI} \left( \left(\frac{z}{l}\right)^4 - 2 \left(\frac{z}{l}\right)^3 + \left(\frac{z}{l}\right) \right)$$

$$v_{\max} = v\left(z = \frac{l}{2}\right) = \frac{5ql^4}{384EI}$$

Aufgabe 2.4.10 Schnittmomente  $M_{b1}(z_1) = \frac{1}{3}Fz_1 - Fl$ ,  $M_{b2}(z_2) = -Fz_2$



1.  $M_{b,\max} = -Fl$ ,  $I_{xx} = 1,2274 \cdot 10^4 \text{ mm}^4$ ,  $\sigma_{b,\max} = -186,4 \text{ MPa}$

2. Integration DGL der Biegelinie

$$EIv_1 = \frac{1}{2}Flz_1^2 - \frac{1}{18}Fz_1^3 + C_1z_1 + C_2, \quad EIv_2 = \frac{1}{6}Fz_2^3 + C_3z_2 + C_4$$

Randbedingungen  $v_1(z_1=3l) = 0$ ,  $v_2(z_2=l) = 0$

$v'_1(z_1=0) = v'_2(z_2=l)$ ,  $v_1(z_1=0) = v_2(z_2=l)$

$v_{\max} = 1,571 \text{ mm}$  (am Lastangriffspunkt)

Hinweis: Überprüfung Maximum im Bereich 1:

$z_{1,\max} = 190,2 \text{ mm}$ ,  $v_1(z_{1,\max}) = -0,68 \text{ mm}$

→ kleiner als am Lastangriffspunkt

Aufgabe 2.4.11 Durchbiegung bei C abhängig von Montagekraft  $F_C$ :

$$e = \frac{3F_C a^3}{4EI} \rightarrow F_C = 950,75 \text{ N}$$

Biegespannung nach Montage:  $\sigma_{\max} = 92,97 \text{ MPa}$

Aufgabe 2.4.12 Durchbiegung bei starrer Lagerung:

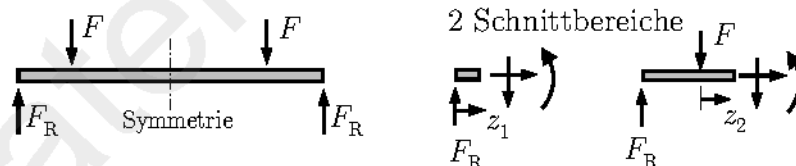
$$v_{F,B} = \frac{Fa^2(aI_2 + lI_1)}{3EI_1I_2} = 0,0994 \text{ mm}$$

Starrkörperverschiebung infolge Lagersteifigkeit:

$$v_{F,L} = \frac{F_H/c_H - F_N/c_N}{l}(l+a) + F_N/c_N = 0,0540 \text{ mm}$$

Gesamtverschiebung:  $v_{\text{ges}} = v_{F,B} + v_{F,L} = 0,1533 \text{ mm}$

Aufgabe 2.4.13 Berechnung der Durchbiegung am halben Symmetriemodell



Randbedingungen:

$v_1(z_1=0) = 0$ ,  $v'_1(z_1=l_1) = v'_2(z_2=0)$ ,  $v_1(z_1=l_1) = v_2(z_2=0)$

Symmetriebedingung:  $v'_2(z_2=\frac{1}{2}l) = 0$

Anstieg der Biegelinie am Rad  $v'_R = \frac{32Fl_1(l+l_1)}{\pi Ed^4}$ ,

mit  $\Delta w = r \cdot \sin \varphi$  und  $\tan \varphi = v'_R$  folgt

$$v'_{\text{zul}} = \sqrt{\frac{(\Delta w)^2}{r^2 - (\Delta w)^2}} = 0,00195,$$

so dass  $d_{\min} = \left( \frac{32Fl_1(l+l_1)}{\pi E v'_{zul}} \right)^{\frac{1}{4}} = 202,53 \text{ mm}$

gewählt:  $d = 203 \text{ mm}$ ,  $\sigma_b = \frac{32Fl_1}{\pi d^3} = 35,07 \text{ MPa}$

Aufgabe 2.4.14  $F_{B,h} = 0$ ,  $F_{B,v} = \frac{23}{27}F$ ,  $M_B = \frac{5}{9}Fa$ ,  $F_C = \frac{4}{27}F$   
 $v_{\max} = v_2(z_2 = \frac{3}{2}a) = \frac{Fa^3}{6EI}$

Aufgabe 2.4.15  $F_{B,h} = 0$ ,  $F_{B,v} = \frac{2}{5}q_0l$ ,  $M_B = -\frac{1}{15}q_0l^2$ ,  $F_C = \frac{1}{10}q_0l$   
 $v(z) = \frac{q_0z}{120EI \cdot l} (l^2 - z^2)^2$

Aufgabe 2.4.16 Gleichung der Biegelinie zwischen den Lagern ( $z$  vom Loslager aus nach links verlaufend):  $v(z) = \frac{ql^3z}{48EI_{xx}} \left( \frac{2z^3}{l^3} - \frac{3z^2}{l^2} + 1 \right)$   
 max. Durchbiegung bei  $z_{\max} = \frac{1 + \sqrt{33}}{16} \cdot l$ ,  $\rightarrow v(z_{\max}) = 20,51 \text{ mm}$   
 Anstieg Biegelinie im Loslager:

$$v'(z=0) = \frac{ql^3}{48EI_{xx}} = 0,0988 = \tan \varphi \approx \varphi$$

max. Auslenkung am freien Ende:  $u_{\max} = l \cdot \sin \varphi = 78,9 \text{ mm}$

Aufgabe 2.4.17 Schubspannungen nur in horizontal ausgerichteten Klebeschichten  
 $I_{xx} = \frac{109}{3}t^4$ ,  $S_x = 10t^3 \rightarrow \tau = \frac{15 qa}{109 t^2} = 11,0 \text{ MPa}$

Aufgabe 2.4.18 zu übertragene Schubspannung zwischen Blechen bei zusammenhängenden Querschnitt:  $\tau = \frac{3F}{8bh}$

1. Ansatz: gleiche Scherkraft in Schweißnähten wie in zusammenhängenden Querschnitt:  $4a l_0 \tau_{zul,SN} = lb \tau$   
 $\rightarrow l_0 = 173,1 \text{ mm}$

2. Ansatz: gleiche Scherkraft in Bolzen wie in zusammenhängenden Querschnitt:  $2 \frac{\pi}{4} d_B^2 \tau_{zul,B} = lb \tau$   
 $\rightarrow d_B = 30,9 \text{ mm}$

Aufgabe 2.5.1  $\sigma_v = 0,75 \sigma_0$ ,  $\tau_{uv} = -0,433 \sigma_0$

Aufgabe 2.5.2  $\sigma_I = 132,17 \text{ MPa}$ ,  $\sigma_{II} = 59,25 \text{ MPa}$ ,  $\sigma_{III} = -96,42 \text{ MPa}$ ,  
 $\tau_{\max} = 114,29 \text{ MPa}$

Aufgabe 2.5.3 1. aus Gleichgewicht in  $x$ -Richtung  $\sigma_x = -9,375 \text{ MPa}$   
 geometrische Zwangsbedingungen:  
 $\Delta b_y = 0 \rightarrow \epsilon_y = 0 = \frac{1}{E}(\sigma_y - \nu(\sigma_z + \sigma_x))$   
 $\Delta b_z = 0 \rightarrow \epsilon_z = 0 = \frac{1}{E}(\sigma_z - \nu(\sigma_y + \sigma_x))$

## A Ergebnisse der Aufgaben

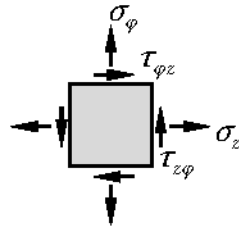
$$\rightarrow \sigma_y = \sigma_z = \sigma_x \cdot \frac{\nu}{1 - \nu} = -6,250 \text{ MPa}$$

$$2. \varepsilon_x = \frac{\Delta h}{h} \rightarrow \Delta h = -\frac{Fh}{Eb^2} \cdot \frac{1 - \nu - 2\nu^2}{1 - \nu} = -0,035 \text{ mm}$$

Aufgabe 2.5.4

$$\begin{aligned} \sigma_I &= 87,41 \text{ MPa}, (\varphi_I = 81,57^\circ), \sigma_{II} = 0 \text{ MPa}, \\ \sigma_{III} &= -257,41 \text{ MPa}, (\varphi_{III} = -8,43^\circ), \\ \sigma_u &= -124,20 \text{ MPa}, \sigma_v = -45,80 \text{ MPa}, \tau_{uv} = 167,89 \text{ MPa} \end{aligned}$$

Aufgabe 2.5.5



$$\underline{\underline{\sigma}} = \begin{pmatrix} \sigma_z & \tau_{z\varphi} \\ \tau_{\varphi z} & \sigma_\varphi \end{pmatrix} = \begin{pmatrix} 35,0 & 7,98 \\ 7,98 & 0 \end{pmatrix} \text{ MPa}$$

$$\sigma_I = 36,73 \text{ MPa}, (\varphi_I = 12,3^\circ), \sigma_{II} = 0 \text{ MPa}, \sigma_{III} = -1,73 \text{ MPa},$$

$$\tau_{\max} = 19,23 \text{ MPa}$$

2-achsiger Spannungszustand, da 2 Hauptspannungen  $\neq 0$

Aufgabe 2.5.6

aus Gleichgewicht folgen  $\sigma_x = 0$  und  $\sigma_z = -p$   
geometrische Zwangsbedingung:  $\Delta h = 0 \rightarrow \varepsilon_y = 0$

$$1. \varepsilon_z = \frac{\Delta l}{l} \rightarrow \Delta l = -\frac{pl}{E} \cdot (1 - \nu^2) = -0,8317 \text{ mm}$$

$$2. \varepsilon_x = \frac{\Delta d}{d} \rightarrow \Delta d = \frac{\nu pd}{E} \cdot (1 + \nu) = 0,0219 \text{ mm}$$

Aufgabe 2.5.7

auf Außenseite ebener Spannungszustand mit

$$\sigma_a = \frac{E}{1 - \nu^2}(\varepsilon_a + \nu\varepsilon_\varphi) \text{ und } \sigma_\varphi = \frac{E}{1 - \nu^2}(\varepsilon_\varphi + \nu\varepsilon_a)$$

mit Membrantheorie (Kesselformel):  $\Delta p_1 = 5,32 \text{ MPa}$

Aufgabe 2.6.1

$$\sigma_{B,\max} = 28,89 \text{ MPa}, \tau_{B,\max} = 14,46 \text{ MPa},$$

$$\rightarrow \sigma_{\text{GEH},B,\max} = 38,24 \text{ MPa}$$

Aufgabe 2.6.2

$$M_t = 3,1252 \cdot 10^5 \text{ Nm}, d_{\min} = 259,237 \text{ mm (gewählt 260 mm)},$$

$$\text{Auslastungsgrad } \frac{\sigma_{V,\text{GEH}}}{\sigma_{zul}} = 77,06\%$$

Aufgabe 2.6.3

$$\text{Abschnitt 1: } \sigma_{V1,\max} = 158,60 \text{ MPa}, \frac{R_e}{S_F} = 140 \text{ MPa} < \sigma_{V1,\max}$$

$\rightarrow$  Nachweis nicht erbracht

$$d_{1,\min} = \left( \frac{256 S_F^2}{\pi^2 R_e^2} \cdot (4M_{b2}^2 + 3M_t^2) \right)^{1/6} = 93,82 \text{ mm}$$

## A Ergebnisse der Aufgaben

Abschnitt 2:  $\sigma_{V2,\max} = 114,00 \text{ MPa}$ ,  $\frac{R_e}{S_F} > \sigma_{V2,\max}$   
 $\rightarrow$  Nachweis erbracht

Aufgabe 2.6.4 1. kritische Stelle bei Lager  $B$  (maximales Biegemoment und schwacher Querschnitt)  
 $\sigma_{bB} = 235,79 \text{ MPa}$ ,  $\tau_{tB} = 58,96 \text{ MPa}$ ,  $\sigma_{V,\max} = 256,95 \text{ MPa}$   
 2.  $\varphi_{\text{ges}} = 1,15^\circ$

Aufgabe 2.6.5 1. Innendruck:  $\sigma_a = 24,0 \text{ MPa}$ ,  $\sigma_\varphi = 48,0 \text{ MPa}$   
 Torsion:  $\tau_{a\varphi} = 19,26 \text{ MPa}$   
 $\sigma_{V,\text{GEH}} = \sqrt{\frac{1}{2} [(\sigma_a - \sigma_\varphi)^2 + \sigma_a^2 + \sigma_\varphi^2 + 6\tau_{a\varphi}^2]} = 53,30 \text{ MPa}$   
 2.  $M_{t,\max} = 15,194 \text{ kNm}$

Aufgabe 2.6.6 Nachweisstelle an Einspannung  $A$  (Schnittreaktionen dort extrem)  
 $M_{bx,A} = -2Fa$ ,  $M_{by,A} = 3Fa$   
 $M_{b,\text{res},A} = \sqrt{M_{bx,A}^2 + M_{by,A}^2} = 504,78 \text{ Nm}$   
 $M_{t,A} = -3Fa$   
 erforderlicher Durchmesser folgt aus  $\sigma_{\text{zul}} = \sqrt{\sigma^2 + 3\tau^2}$   
 $d_{i,\min} = \left( d_a^4 - \frac{32d_a}{\pi\sigma_{\text{zul}}} \sqrt{M_{bx,A}^2 + 3 \left( \frac{M_{t,A}}{2} \right)^2} \right)^{\frac{1}{4}} = 46,03 \text{ mm}$

Aufgabe 2.6.7  $M_{bx,\max} = \frac{1}{4} m_S g a = 27,591 \text{ Nm}$ ,  
 $M_{by,\max} = \frac{1}{4} (F_1 + F_2) a = 78,125 \text{ Nm}$ ,  
 $M_{b,\text{res},\max} = \sqrt{M_{bx,\max}^2 + M_{by,\max}^2} = 82,854 \text{ Nm}$ ,  
 $M_{t,\max} = (F_1 - F_2) \cdot \frac{d_S}{2} = 52,500 \text{ Nm}$ ,  
 $d_{W,\min} = 16,96 \text{ mm}$

Aufgabe 2.6.8 S235:  $p_{i,\max} = 14,92 \text{ MPa}$ ,  $\Delta d_a = 0,189 \text{ mm}$   
 EN-GJL-300:  $p_{i,\max} = 10,53 \text{ MPa}$ ,  $\Delta d_a = 0,274 \text{ mm}$   
 Hinweis: Durchmesseraufweitung folgt aus  $\varepsilon_\varphi = \frac{\Delta U}{U} = \frac{\Delta d}{d}$

Aufgabe 2.7.1 1.  $\lambda = 140 > \lambda_0 \rightarrow$  (elastisches Knicken), Euler-Fall 3  
 2.  $\Delta l = 0 = l \left( -\frac{F_K}{EA} + \alpha \Delta T_K \right)$ ,  $F_K = \frac{\pi^2 EI}{l_K^2}$   
 $\rightarrow \Delta T_K = 41,27 \text{ K}$

Aufgabe 2.7.2  $\lambda = 86,6$ , Euler-Fall 4  
 S235: inelastisches Knicken ( $\lambda_0 = 105$ )  
 $F_K = 42,26 \text{ kN}$ ,  $S_K = 3,67$   
 C45: elastisches Knicken ( $\lambda_0 = 73$ )  
 $F_K = 55,28 \text{ kN}$ ,  $S_K = 4,81$

## A Ergebnisse der Aufgaben

Aufgabe 2.7.3  $I_{\min} = 0,0737 \text{ mm}^4$ ,  $\lambda = 207,4$  (elastisches Knicken),  $F_K = 48,7 \text{ N}$   
 überschlägige Berechnung:  $\tilde{F}_K = 67,3 \text{ N}$  (um Faktor 1,38 zu groß)

Aufgabe 2.7.4 1.  $F = \frac{2(m_1 + m_2)g}{\tan \alpha} = 6488,7 \text{ N}$   
 2.  $\lambda = 160$ ,  $F_K = 25435 \text{ N} \rightarrow S_K = 5,185$

Aufgabe 2.7.5 1.  $\lambda = 133,3$  (elastisches Knicken)  $\rightarrow F_{S,\text{zul}} = 3433,7 \text{ N}$   
 2.  $\Delta l_S = 0,0463 \text{ mm}$ ,  
 3.  $M_{A,\text{max}} = F\sqrt{a^2 - l_S^2} = 772,64 \text{ Nm}$

Aufgabe 2.7.6 Stabkraft  $F_S = \frac{3 F_1}{2 \cos \alpha} = 6,1 \text{ kN}$   
 $d_{\text{erf}} = 20,64 \text{ mm}$  (berechnet unter Annahme elastischen Knickens),  
 Überprüfung  $\lambda(d_{\text{erf}}) = 106,6 \rightarrow$  Annahme berechtigt

Aufgabe 3.1.1  $v_0 = 19,62 \text{ m/s}$ ,  $h = 19,62 \text{ m}$ ,  $v_1 = -19,62 \text{ m/s}$

Aufgabe 3.1.2  $x_A = v_F \sqrt{\frac{2h}{g}} = 22,34 \text{ cm}$

Aufgabe 3.1.3  $a_B = 4,171 \text{ m/s}^2$

Aufgabe 3.1.4  $x_A(t) = a \sin(\Omega t)$   
 $y_B(t) = \sqrt{L^2 - a^2 \sin^2(\Omega t)}$   
 $\dot{y}_B = \frac{a^2 \Omega \sin(\Omega t) \cos(\Omega t)}{\sqrt{L^2 - a^2 \sin^2(\Omega t)}}$   
 $\dot{x}_C(t) = \frac{1}{2} \dot{x}_A(t)$ ,  $\dot{y}_C(t) = \frac{1}{2} \dot{y}_B(t)$   
 $v_C = \sqrt{\dot{x}_C^2 + \dot{y}_C^2} = \frac{a \Omega L \cos(\Omega t)}{2 \sqrt{L^2 - a^2 \sin^2(\Omega t)}}$

Aufgabe 3.1.5  $U_1 = \frac{\dot{\varphi}_0 t_1}{3\pi} = 38,89$  Umdrehungen,  $a(t=5 \text{ s}) = 566,74 \text{ m/s}^2$

Aufgabe 3.1.6  $t = 0 \text{ s}$ :  $v = 0,236 \text{ m/s}$ ,  $a = 0,263 \text{ m/s}^2$   
 $t = 4 \text{ s}$ :  $v = 0,659 \text{ m/s}$ ,  $a = 0,468 \text{ m/s}^2$

Aufgabe 3.1.7 1. Bereich ( $t \leq t_1$ ):  $\ddot{\varphi}(t) = \frac{\alpha}{t_1^2} \cdot t^2$ ,  $v(t_1) = 13 \text{ m/s}$ ,  
 2. Bereich ( $t > t_1$ ):  $\ddot{\varphi}(t) = -\frac{\alpha}{t_2 - t_1} \cdot t + \frac{\alpha t_2}{t_2 - t_1}$ ,  $v(t_2) = 31 \text{ m/s}$

Aufgabe 3.1.8  $r(t) = \sqrt{R^2 + l^2 - 2Rl \cos(\omega t)}$ ,  $r(t_1) = 30,98 \text{ mm}$ ,  
 $\varphi(t) = \arctan\left(\frac{R \sin(\omega t)}{l - R \cos(\omega t)}\right)$ ,  $\varphi(t_1) = 0,497$  bzw.  $28,48^\circ$

$$\dot{r}(t) = \frac{Rl\omega \sin(\omega t)}{\sqrt{R^2 + l^2 - 2Rl \cos(\omega t)}}, \quad \dot{r}(t_1) = 7,153 \text{ mm/s}$$

$$\dot{\varphi}(t) = \frac{R\omega(l \cos(\omega t) - R)}{R^2 + l^2 - 2Rl \cos(\omega t)}, \quad \dot{\varphi}(t_1) = 0,2255 \text{ s}^{-1}$$

Aufgabe 3.1.9  $x(t) = r \left( 1 - \cos(\omega t) + \frac{1}{\lambda} \left( 1 - \sqrt{1 - \lambda^2 \cdot \sin^2(\omega t)} \right) \right)$

$$\dot{x}(t) = r\omega \left( \sin(\omega t) + \lambda \cdot \frac{\sin(\omega t) \cdot \cos(\omega t)}{\sqrt{1 - \lambda^2 \cdot \sin^2(\omega t)}} \right)$$

$$\ddot{x}(t) = r\omega^2 \left( \cos(\omega t) + \lambda \cdot \frac{\cos^2(\omega t) - \sin^2(\omega t) \cdot (1 - \lambda^2 \cdot \sin^2(\omega t))}{(1 - \lambda^2 \cdot \sin^2(\omega t))^{\frac{3}{2}}} \right)$$

Aufgabe 3.1.10  $x(\varphi) = \frac{L_1 r \sin \varphi}{\sqrt{L_2^2 + r^2 - 2L_2 r \cos \varphi}}$

$$\dot{x}(\varphi) = \Omega L_1 r \frac{(L_2^2 + r^2) \cos \varphi - L_2 r (1 + \cos^2 \varphi)}{(L_2^2 + r^2 - 2L_2 r \cos \varphi)^{\frac{3}{2}}}$$

Aufgabe 3.1.11  $s(\varphi) = r \left( 1 - \cos \varphi + \frac{1}{\lambda} \left( 1 - \sqrt{1 - \lambda^2 \sin^2 \varphi} \right) \right)$

$$\dot{s}(\varphi) = r\Omega \left( \sin \varphi + \lambda \cdot \frac{\sin \varphi \cos \varphi}{\sqrt{1 - \lambda^2 \sin^2 \varphi}} \right)$$

$$\ddot{s}(\varphi) = r\Omega^2 \left( \cos \varphi + \lambda \cdot \frac{\cos^2 \varphi - \sin^2 \varphi (1 - \lambda^2 \sin^2 \varphi)}{(1 - \lambda^2 \sin^2 \varphi)^{\frac{3}{2}}} \right)$$

Aufgabe 3.1.12  $\dot{x}_P = R\dot{\varphi} \cos \varphi + R\dot{\varphi}, \quad \dot{y}_P = -R\dot{\varphi} \sin \varphi$

$$v_P = \sqrt{\dot{x}_P^2 + \dot{y}_P^2} = \sqrt{2R^2 \dot{\varphi}^2 (1 + \cos \varphi)},$$

$$v_P(\varphi=0) = 2R\dot{\varphi}$$

Aufgabe 3.1.13 Freiheitsgrad  $f = 1$ ,

generalisierte Koordinate  $x$  (Translation Bauteil),  
freie Koordinaten  $\varphi_A$  (Antrieb) und  $\varphi_T$  (Trommel)

$$\text{Zwangsbedingungen: } \varphi_T = \frac{1}{r_1} \cdot x, \quad \varphi_A = \frac{r_2}{r_A r_1} \cdot x$$

Aufgabe 3.1.14  $\vec{r}_P(t) = \begin{pmatrix} (R+r) \cos(\Omega t) + 2r \cos((1+R/r)\Omega t) \\ (R+r) \sin(\Omega t) + 2r \sin((1+R/r)\Omega t) \end{pmatrix}$

$$\dot{\vec{r}}_P(t) = \begin{pmatrix} -(R+r)\Omega \cdot \left( \sin(\Omega t) + 2 \sin((1+R/r)\Omega t) \right) \\ (R+r)\Omega \cdot \left( \cos(\Omega t) + 2 \cos((1+R/r)\Omega t) \right) \end{pmatrix}$$

$$\ddot{\vec{r}}_P(t) = \begin{pmatrix} -(R+r)\Omega^2 \cdot \left( \cos(\Omega t) + 2(1+R/r) \cos((1+R/r)\Omega t) \right) \\ -(R+r)\Omega^2 \cdot \left( \sin(\Omega t) + 2(1+R/r) \sin((1+R/r)\Omega t) \right) \end{pmatrix}$$

$$|\dot{\vec{r}}(t)| = (R+r)\Omega \sqrt{5 + 4 \cos(R/r \cdot \Omega t)}$$

$$|\ddot{\vec{r}}(t)| = (R+r)\Omega^2 \sqrt{1 + 4(1+R/r)(1+R/r + \cos(R/r \cdot \Omega t))}$$

Hinweis: Die Termumformung für die Beträge erfolgte unter Ausnutzung folgender Identitäten:

$$\sin^2(a) + \cos^2(a) = 1, \quad \cos(a+b) = \cos(a)\cos(b) - \sin(a)\sin(b) \\ \text{und} \quad \sin(a+b) = \sin(a)\cos(b) + \cos(a)\sin(b)$$

- Aufgabe 3.1.15 a) Freiheitsgrad  $f = 1$ , 5 freie Koordinaten:  $x_1, \varphi_2, x_3, \varphi_3, x_4$   
 4 Zwangsbed.:  $x_1 = r_2 \varphi_2, \quad x_3 = x_1, \quad x_4 = x_3 + r_3 \varphi_3, \quad x_3 = r_3 \varphi_3$
- b) Freiheitsgrad  $f = 2$ , 5 freie Koordinaten, 3 Zwangsbedingungen  
 $\rightarrow x_3 = x_1$  nicht mehr gegeben

Aufgabe 3.2.1  $J = 25,01 \text{ kg} \cdot \text{dm}^2 = 0,2501 \text{ kg} \cdot \text{m}^2$

Aufgabe 3.2.2  $J_D = 1,072 \text{ kg} \cdot \text{m}^2$

Aufgabe 3.2.3  $J = 1116,3 \text{ kg} \cdot \text{m}^2$

Aufgabe 3.2.4  $J_{S,z} = 79,791 \text{ kg} \cdot \text{m}^2, \quad n_1 = 1392,3 \text{ U/min},$   
 bei  $t = t_2$ : 705,12 Umdrehungen

Aufgabe 3.2.5  $\Omega_{\max} = \sqrt{\frac{g}{\hat{s}}} \rightarrow f_{\max} = 4,07 \text{ s}^{-1}$

Aufgabe 3.2.6 Allradantrieb:  $a_{\max} = g(\mu \cos(\alpha) - \sin(\alpha)) = 1,464 \text{ m/s}^2$   
 Vorderradantrieb:  $a_{\max} = g \left( \frac{\mu c \cos(\alpha)}{2c + \mu b} - \sin(\alpha) \right) = 0,198 \text{ m/s}^2$   
 Hinterradantrieb:  $a_{\max} = g \left( \frac{\mu c \cos(\alpha)}{2c - \mu b} - \sin(\alpha) \right) = 0,294 \text{ m/s}^2$

Aufgabe 3.2.7  $J_z = 197,57 \text{ kg} \cdot \text{m}^2, \quad \Delta t_1 = 111,84 \text{ s}, \quad \Delta t_2 = 1379,3 \text{ s}$

Aufgabe 3.2.8  $x(t) = v_0 \cos \alpha t, \quad y(t) = -\frac{1}{2}gt^2 + v_0 \sin \alpha t$   
 $\rightarrow y(x) = -\frac{g \cdot x^2}{2v_0^2 \cos^2(\alpha)} + \tan(\alpha) \cdot x, \quad \alpha_1 = 73,66^\circ, \quad \alpha_2 = 33,69^\circ$   
 $v_{0,\min} = 32,67 \text{ m/s}, \quad \alpha_{\min} = 53,68^\circ$

Aufgabe 3.2.9  $M_R = \frac{\mu D}{3} \cdot (m_S g + F) = 1186 \text{ Nm}$   
 $\ddot{\varphi} = -\frac{8\mu}{3m_S D} (m_S g + F) = -10,98 \text{ s}^{-2}$   
 $t_B = 227,6 \text{ s}, \quad n_B = 45.278,5 \text{ Umdrehungen}$

Aufgabe 3.2.10 Normalkraft zwischen Wand und Körper  $F_N = mR\dot{\varphi}^2$

$$\text{Rutschen, wenn } mg = \mu F_N \rightarrow \dot{\varphi}_{\min} = \sqrt{\frac{g}{\mu R}}$$

$$n_{\min} = 94,58 \text{ U/min}$$

Aufgabe 3.2.11 zu Beginn überlagertes Rollen und Gleiten  $\rightarrow$  Freiheitsgrad 2

$$\text{Bewegungsgleichungen: } \ddot{x} = -\mu g \text{ und } \ddot{\varphi} = \frac{5\mu g}{2r}$$

ab  $t = t_1$  reines Rollen  $\rightarrow \dot{x} = r\dot{\varphi}$  (Freiheitsgrad 1)

$$t_1 = \frac{2\dot{x}_0}{7\mu g} = 1,165 \text{ s}, \quad x_1 = 3,994 \text{ m}, \quad \dot{x}_1 = 2,857 \text{ m/s}$$

Aufgabe 3.2.12  $F_{Ax}(\rightarrow) = me \left( \frac{g}{h} - \frac{\dot{\varphi}^2}{2} \right), F_{Ay}(\uparrow) = mg$

$$F_{Bx}(\rightarrow) = -me \left( \frac{g}{h} + \frac{\dot{\varphi}^2}{2} \right)$$

$$n=0: F_{Ax}=2,943 \text{ N}, F_{Ay}=147,15 \text{ N}, F_{Bx}=-2,943 \text{ N}$$

$$n=500 \text{ U/min: } F_{Ax}=-202,67 \text{ N}, F_{Ay}=147,15 \text{ N}, F_{Bx}=-208,56 \text{ N}$$

Aufgabe 3.2.13 Bewegungsgleichung:  $\ddot{\varphi} + \frac{M_0}{J_M \cdot \dot{\varphi}_{\max}} \cdot \dot{\varphi} = \frac{M_0}{J_M}$

$$\text{DGL: } \ddot{\varphi} + a \cdot \dot{\varphi} = a \cdot \dot{\varphi}_{\max} \text{ mit } a = \frac{M_0}{J_M \cdot \dot{\varphi}_{\max}}$$

lineare, inhomogene DGL 2. Ordnung mit konstanten Koeffizienten

$$\text{Lösung der DGL: } \varphi(t) = \varphi_{\text{homogen}} + \varphi_{\text{partikulär}}$$

homogene Lösung: Ansatz  $\varphi(t) = e^{\lambda t}$  führt auch charakteristische Gleichung  $\lambda^2 + a\lambda = 0$  mit den Nullstellen  $\lambda_1 = 0$  und  $\lambda_2 = -a$ , so dass  $\varphi_{\text{homogen}} = C_1 + C_2 \cdot e^{-at}$

Partikulärlösung: Ansatz für Störfunktion  $a \cdot \dot{\varphi}_{\max}$  lautet

$$\varphi_{\text{partikulär}} = C_3 \cdot t, \text{ in DGL eingesetzt folgt } C_3 = \dot{\varphi}_{\max}$$

$$\text{allgemeine Lösung: } \varphi(t) = C_1 + C_2 \cdot e^{-at} + \dot{\varphi}_{\max} \cdot t$$

aus Anfangsbedingungen:  $\varphi(t=0) = 0$  und  $\dot{\varphi}(t=0) = 0$  folgen

$$C_1 = -\frac{\dot{\varphi}_{\max}}{a} \text{ und } C_2 = \frac{\dot{\varphi}_{\max}}{a} \text{ und somit die Lösung der DGL}$$

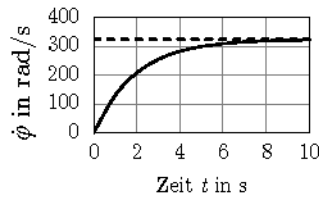
$$\varphi(t) = \frac{J_M \cdot \dot{\varphi}_{\max}}{M_0} \cdot \left( \dot{\varphi}_{\max} \cdot e^{-\frac{M_0}{J_M \dot{\varphi}_{\max}} t} + \frac{M_0}{J_M} \cdot t - \dot{\varphi}_{\max} \right)$$

$$\text{Berechnung der Drehzahlen: } \dot{\varphi}(t) = \dot{\varphi}_{\max} \left( 1 - e^{-\frac{M_0}{J_M \dot{\varphi}_{\max}} t} \right)$$

$$\dot{\varphi}(t=4 \text{ s}) = 283,2 \text{ s}^{-1} \quad \text{bzw.} \quad n(t=4 \text{ s}) = 2704,5 \text{ U/min}$$

$$\dot{\varphi}(t=10 \text{ s}) = 323,1 \text{ s}^{-1} \quad \text{bzw.} \quad n(t=10 \text{ s}) = 3085,1 \text{ U/min}$$

## A Ergebnisse der Aufgaben



- Aufgabe 3.2.14  $\dot{\varphi}_{\max} = 325 \text{ s}^{-1}$  kann nur asymptotisch erreicht werden  
 $x_S(\varphi) = r + e \cdot \cos(\varphi)$   
 $\ddot{x}_S(\varphi) = -e\omega^2 \cdot \cos(\varphi)$  mit  $\varphi = \omega t$   
 $F_N = m_s \cdot g + F_0 + e \cdot \cos(\omega t) \cdot (m_s \cdot \omega^2 - c)$   
 Nocken hebt ab, wenn  $F_N = 0$  wird. Da  $-1 \leq \cos(\omega t) \leq 1$  ist, muss für Abheben  $m_s \cdot g + F_0 = e \cdot (m_s \cdot \omega^2 - c)$  gelten.

$$\rightarrow \omega_{\text{krit}} = \sqrt{\frac{g}{e} + \frac{1}{m_s} \left( \frac{F_0}{e} + c \right)} \rightarrow n_{\text{krit}} = 3780,6 \text{ U/min}$$

- Aufgabe 3.3.1 Beschleunigungen: Transporter  $a_T = -7,699 \text{ m/s}^2$ ,  
 Ladung  $a_K = -1,472 \text{ m/s}^2 \rightarrow$  Ladung rutscht  
 $v_c = \sqrt{(a_K - a_T) \cdot 2b} = 3,529 \text{ m/s}$  bzw.  $12,71 \text{ km/h}$

- Aufgabe 3.3.2  $\ddot{x}_1 = \frac{m_2 - m_1}{m_1 + m_2 + \frac{1}{2}m_3} \cdot g = 0,0625 \cdot g = 0,631 \text{ m/s}^2$ ,  
 $\Delta t = 2,423 \text{ s}$ ,  
 $F_{S1} = 104,23 \text{ N}$  (106,25 % der stat. Last),  
 $F_{S2} = 110,36 \text{ N}$  (93,75 % der stat. Last)

- Aufgabe 3.3.3  $\ddot{x}_3 = \frac{M_A - r_1 g (2m_3 + m_2)}{\frac{J_1}{2r_1} + \frac{J_2 r_1}{2r_2^2} + r_1 \left( 2m_3 + \frac{m_2}{2} \right)}$   
 $M_{A,1} = 63,968 \text{ Nm}$ ,  $M_{A,2} = 56,898 \text{ Nm}$ ,  
 $F_{S,a} = 317,89 \text{ N}$ ,  $F_{S,b} = 284,49 \text{ N}$

- Aufgabe 3.3.4  $\ddot{\varphi} = \frac{g(1 - \mu)}{3r} = 4,0875 \text{ s}^{-2}$   
 $\varphi(t=4 \text{ s}) = 32,7 \text{ rad} \hat{=} 5,2 \text{ Umdrehungen}$

- Aufgabe 3.3.5  $F_{A,\max} = F_{\text{Bolzen},\max} = m_S r \omega^2 = 631,6 \text{ N}$ ,  
 $M_A(t) = m_S r^2 \omega^2 \cdot \cos \varphi \sin \varphi = \frac{1}{2} m_S r^2 \omega^2 \cdot \sin(2\varphi)$   
 $M_{A,\max} = \frac{1}{2} m_S r^2 \omega^2 = 47,37 \text{ Nm}$

- Aufgabe 3.3.6 mit  $m_1 = 2m_h$ ,  $m_2 = 2m_v$ ,  $J_1 = 2J_h$ ,  $J_2 = 2J_v$

$$\ddot{x} = \frac{M_A}{\frac{J_1}{r_h} + J_2 \cdot \frac{r_h}{r_v^2} + r_h(m_1 + m_2 + m_T)} = \frac{M_A}{\tilde{m}} = \frac{M_A}{4208,8 \text{ kg} \cdot \text{m}}$$

Abheben der Vorderräder, wenn  $F_{N,v} = 0$

A Ergebnisse der Aufgaben

$$M_{A,\max} = \frac{\tilde{m} \cdot g (l_h + l_v) \left( m_2 + m_T \frac{l_h}{l_h + l_v} \right)}{m_T (h_S - r_h) + \tilde{m} - \left( \frac{J_2}{r_v^2} + m_2 \right) (r_h - r_v)} = 33,7 \text{ kNm}$$

- Aufgabe 3.3.7
1.  $M_{A,1} = J_A \frac{r_2}{r_A r_1} \ddot{x} + m(g + \ddot{x}) \frac{r_1 r_A}{r_2} + J_T \frac{r_A}{r_1 r_2} \ddot{x} = 626,29 \text{ Nm}$
  2.  $M_{A,2} = 588,6 \text{ Nm}$
  3.  $\Delta t_3 = 0,64 \text{ s}$

Aufgabe 3.3.8

$$M_R = \frac{1}{3} \mu F_k \cdot \frac{D_a^3 - D_i^3}{D_a^2 - D_i^2} = 356,79 \text{ Nm}$$

Ende des Kupplungsvorgangs, wenn  $\dot{\varphi}_1 = \dot{\varphi}_2$  mit

$$\dot{\varphi}_1 = \frac{M_t - M_R}{J_1} \cdot t + \omega_1 \text{ und } \dot{\varphi}_2 = \frac{M_R}{J_2} \cdot t$$

$$\rightarrow t_k = \frac{\omega_1}{M_R/J_2 + (M_t - M_R)/J_1} = 5,03 \text{ s}$$

$$\dot{\varphi}(t_k) = 358,58 \text{ s}^{-1}$$

Aufgabe 3.3.9

$$\ddot{x} = \frac{M_A \frac{r_2}{r_1} - m_3 g r_1}{J_1 \frac{r_2^2}{r_1^3} + m_3 r_1 + J_2 \frac{1}{r_1}} = 0,106 \text{ m/s}^2$$

$$F_S = 334,08 \text{ N}$$

$$\dot{x}(t=5 \text{ s}) = 0,81 \text{ m/s, (Anfangsgeschwindigkeit } v_0 = \frac{2\pi n_0}{60 \frac{\text{min}}{\text{s}}} \cdot \frac{r_1^2}{r_2})$$

$$t_2 = 12,63 \text{ s}$$

Aufgabe 3.4.1

$$v_1 = \sqrt{2gl \cdot (\sin(\alpha) - \mu \cos(\alpha))} = 2,33 \text{ m/s}$$

$$t_1 = \sqrt{\frac{2l}{g \cdot (\sin(\alpha) - \mu \cos(\alpha))}} = 1,54 \text{ s}$$

$$F_{F,\max} = c \cdot x_{F,\max} = 646,4 \text{ N, mit } x_{F,\max} = 43,1 \text{ mm}$$

Aufgabe 3.4.2

$$F(t) = F_{\max} \cdot \sin\left(\frac{\pi}{t_s} \cdot t\right)$$

$$F_{\max} = \frac{m v_1 \pi}{2 t_s} = 66,27 \text{ N}$$

Aufgabe 3.4.3 siehe Ergebnis Aufgabe 3.2.4

Aufgabe 3.4.4 aus Arbeitssatz:  $\varphi_B = 426,4 \text{ rad} \hat{=} 67,86 \text{ Umdrehungen}$   
aus Impulssatz:  $t_B = 2,26 \text{ s}$

Aufgabe 3.4.5 Geschwindigkeit direkt vor Stoß:  $v_1 = x_1 \sqrt{\frac{c_1}{m_1}}$

Geschwindigkeit direkt nach Stoß  $v_2 = \frac{x_1 \sqrt{c_1 m_1}}{m_1 + m_2}$

max. Federweg:  $x_{2,\max} = x_1 \cdot \sqrt{\frac{c_1 m_1}{c_2(m_1 + m_2)}} = 1,22 \text{ cm}$

Aufgabe 3.4.6  $\omega_1 = \sqrt{\frac{2(m_S + m_Z) \cdot g \cdot x_S(1 + \sin(\varphi_0))}{J}} = 7,338 \text{ s}^{-1}$

mit  $x_S = 0,583 \text{ m}$  (Schwerpunktabstand zum Drehpunkt) und  $J = 9,008 \text{ kg}\cdot\text{m}^2$  (Massenträgheitsmoment bzgl. Drehpunkt)  
 $T_1 = 242,55 \text{ J}$

$W_S = (m_S + m_Z) \cdot g \cdot x_S(\sin(\varphi_0) + \cos(\varphi_2)) = 220,39 \text{ J}$

Aufgabe 3.5.1 a)  $f_0 = \frac{1}{2\pi} \sqrt{\frac{5mgl + 3cl^2}{8ml^2}} = 1,865 \text{ Hz}, \quad T = 0,536 \text{ s}$

b)  $f_0 = \frac{1}{2\pi} \sqrt{\frac{5g}{8l}} = 0,557 \text{ Hz}, \quad T = 1,794 \text{ s}$

c)  $f_0 = \frac{1}{2\pi} \sqrt{\frac{3c}{8m}} = 1,779 \text{ Hz}, \quad T = 0,562 \text{ s}$

Aufgabe 3.5.2  $c_T = 1288,25 \text{ Nmm}, \quad J = 0,5 \text{ kg}\cdot\text{m}^2$

Aufgabe 3.5.3 1. Bewegungsgleichung:  $0 = \left(\frac{3}{4}m_1 r + 2m_2 r\right) \cdot \ddot{x}_2 + \frac{1}{2}cr \cdot x_2$

$\omega_0 = \sqrt{\frac{c}{\frac{3}{2}m_1 + 4m_2}} = 15,34 \text{ s}^{-1}, \quad T = 0,417 \text{ s}$

2.  $x_2(t) = \hat{x}_2 \cdot \sin(\omega_0 t + \varphi_0)$  mit  $\hat{x}_2 = x_{2,0,\max}$  und  $\varphi_0 = \frac{\pi}{2}$

Amplitude der Beschleunigung:  $\hat{\ddot{x}}_2 = \omega_0^2 x_{2,0,\max}$

Schlaffseil, wenn  $\hat{\ddot{x}}_2 = g \rightarrow x_{2,0,\max} = \frac{g}{\omega_0^2} = 0,0417 \text{ m}$

Aufgabe 3.5.4  $f = \frac{1}{2\pi} \sqrt{\frac{g(m_Z b - m_K a)}{m_Z b^2 + m_K a^2}} = 0,667 \text{ Hz} \rightarrow \text{bpm} = 80,1$

$a^* = 9,87 \text{ cm}$

Aufgabe 3.5.5 Steifigkeit Welle:  $c_T = \frac{E\pi d^4}{64l(1+\nu)} = 35.077.574 \text{ N}\cdot\text{mm/rad}$

Schwingungsamplitude:  $\hat{\varphi} = \sqrt{\varphi_0^2 + \left(\frac{\dot{\varphi}_0}{\omega_0}\right)^2} = 0,1677 \text{ rad} \hat{=} 9,61^\circ$

mit  $\varphi_0 = 0, \dot{\varphi}_0 = \frac{2\pi n_0}{60 \frac{\text{min}}{\text{s}}}$  und  $\omega_0 = \sqrt{\frac{c_T}{J}}$

max. Schubspannung  $\tau_{\max} = \frac{M_t}{W_t} = \frac{GI_t \hat{\varphi}}{W_t l} = 270,96 \text{ MPa}$

Aufgabe 3.5.6  $f_0 = 2,52 \text{ Hz}$  und  $\hat{x} = \sqrt{x_0^2 + \left(\frac{v_0}{\omega_0}\right)^2} = 298,59 \text{ mm}$ , mit

Anfangsweg  $x_0 = -\frac{m_2 g}{c}$ , Anfangsgeschwindigkeit  $v_0 = \frac{\sqrt{2gh} \cdot m_2}{m_1 + m_2}$

und Eigenkreisfrequenz  $\omega_0 = \sqrt{\frac{c}{m_1 + m_2}}$

$s_{\max} = \hat{x} + x_0 = 328,02 \text{ mm}$ ,  $t_1 = \frac{1}{\omega_0} \left(\frac{\pi}{2} - \varphi_0\right) = 0,106 \text{ s}$

$F_{F,\max} = (m_1 + m_2)g + c\hat{x} = 5067,45 \text{ N}$

$\lambda = 1 + \frac{c\hat{x}}{(m_1 + m_2)g} = 8,61$

Aufgabe 3.5.7  $\lambda = \ln\left(\frac{1}{0,83}\right) = 0,186 \rightarrow D = 0,0296$

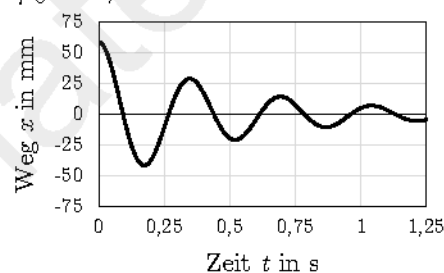
$c = \frac{4\pi^2 m}{T^2(1 - D^2)} = 149,8 \text{ N/m}$

Aufgabe 3.5.8  $\omega_0 = \sqrt{\frac{ca^2}{J}}$ ,  $J = 0,0603 \text{ kg}\cdot\text{m}^2$ ,  $\delta = \frac{ba^2}{2J}$

$\rightarrow T = \frac{2\pi}{\omega_D} = 0,449 \text{ s}$  mit

Aufgabe 3.5.9 Gesamtfedersteifigkeit  $c_{\text{ges}} = \frac{4}{5}c$   
 $\omega_D = 18,698 \text{ s}^{-1}$ ,  $f_D = 2,9774 \text{ Hz}$   
 $\vec{b} = 355,2 \text{ kg/s}$

Aufgabe 3.5.10  $x(t) = C \cdot e^{-D\omega_0 t} \cdot \sin(\omega_D t + \varphi_0)$   
 mit  $\omega_0 = 18,26 \text{ s}^{-1}$ ,  $D = 0,1095$ ,  $\omega_D = 18,04 \text{ s}^{-1}$ ,  $C = 0,0592 \text{ m}$ ,  
 $\varphi_0 = 1,4604$

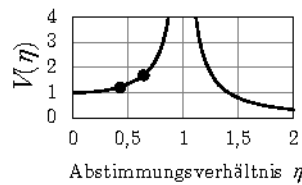


Aufgabe 3.5.11  $c_D = 30.831 \text{ Nm}$ ,  $b_D = 536,44 \frac{\text{kg}}{\text{s}}\text{m}^2$ ,  $J_A = 6,04 \text{ kg}\cdot\text{m}^2$   
 $\rightarrow f_g = 8,91 \text{ Hz}$

Aufgabe 3.5.12  $b_D = 208,1 \text{ kg}\frac{\text{m}}{\text{s}^2}$ ,  $c_D = 3773,6 \text{ Nm}$   
 $f = 1,147 \text{ Hz}$  (mit  $J_A = 69,67 \text{ kg}\cdot\text{m}^2$ )  
 $n = 3,54$  Schwingungsperioden

A Ergebnisse der Aufgaben

Aufgabe 3.6.1  $(m_P + m_F) \cdot \ddot{x} + b \cdot \dot{x} + 2c \cdot x = \hat{F} \sin(\Omega t)$   
 $\hat{x}_1 = 8,7 \text{ mm}, \quad \hat{x}_2 = 12,1 \text{ mm}$



Aufgabe 3.6.2  $\hat{x}_1 = \frac{2m_u r_u}{m_F} \cdot \frac{\eta^2}{\sqrt{(1-\eta^2)^2 + 4D^2\eta^2}}$  mit  $\eta = \Omega \sqrt{\frac{m}{c}}$   
 $\rightarrow D = 0,11176, b = 5913,87 \text{ kg/s}$

Aufgabe 3.6.3  $\ddot{x}(t) = -\Omega^2 \hat{x} \cdot \sin(\Omega t) \rightarrow a_{\max} = \hat{x} = \Omega^2 \hat{x}$   
 zul. Schwingungsamplitude  $\hat{x} = a_{\max}/\Omega^2 = \frac{1}{|1-\eta^2|} = 0,504 \text{ mm}$   
 $\rightarrow \eta_{\min} \geq 4,981$   
 $\rightarrow c_{\max} = 191,94 \text{ N/m}$

Aufgabe 3.6.4  $\omega_0 = 20 \text{ s}^{-1}, \quad n_R = 191,0 \text{ U/min}$   
 $\hat{x} = 3 \text{ mm}$

untere Schranke ( $\eta < 1$ ):  $\eta_u = \sqrt{1 + \frac{\hat{x}_{\max}(m_T + m_W)}{m_W \cdot r}} = 0,792$   
 obere Schranke ( $\eta > 1$ ):  $\eta_u = \sqrt{1 - \frac{\hat{x}_{\max}(m_T + m_W)}{m_W \cdot r}} = 1,567$

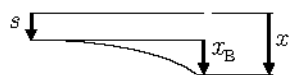
gesperrter Drehzahlbereich  $151,3 \text{ U/min} \leq n \leq 299,3 \text{ U/min}$

Aufgabe 3.6.5 resultierende Parameter Drehschwingung:  $c_D = 1082,2 \text{ kN}\cdot\text{m}$ ,  
 $b_D = 16.000 \text{ kg}\cdot\text{m}^2/\text{s}, J_A = 684,8 \text{ kg}\cdot\text{m}^2$

$n_{\text{Res}} = 417,37 \text{ U/min}$  bei  $\eta_{\text{Res}} = \frac{1}{\sqrt{1-2D^2}} = 1,099$   
 $\hat{\varphi} = 2,864^\circ$

Aufgabe 3.6.6 Federsteifigkeit Blattfeder:  $c_B = \frac{3EI}{l^3}$   
 Bewegungsgleichung:  $\ddot{x} + \frac{3EI}{ml^3} \cdot x = \frac{3EI}{ml^3} \cdot \hat{s} \cdot \sin(\Omega t)$

$\omega_0 = \sqrt{\frac{3EI}{ml^3}} = 84,6 \text{ s}^{-1}$



Schwingungsamplitude  $\hat{x} = 1,73 \text{ mm}$  bei  $\eta = 0,65$

Ampl. Biegemoment:  $\hat{M} = \hat{x}_B \cdot c_B \cdot l = \frac{\hat{s}\eta^2}{1-\eta^2} \cdot \frac{3EI}{l^2} = 50,28 \text{ Nm}$

Hinweis:  $\hat{x}_B = \hat{x} - \hat{s}$  gilt nur, da  $D = 0$  und somit keine Phasenverschiebung zwischen Anregung und Antwort im Bereich  $\eta < 1$ , für  $\eta > 1$  ist Phasenverschiebung  $\varphi = 180^\circ$

Aufgabe 3.6.7

für  $\lambda = r/l \approx 0$  ist Verschiebung des linken Federendes infolge des Kurbeltriebs  $s(t) = r \cdot \sin(\Omega t)$

DGL:  $m \cdot \ddot{x} + b \cdot \dot{x} + c \cdot x = \underbrace{c \cdot r}_{\hat{F}}$   $\sin(\Omega t)$ , mit  $m = m_S + m_G$

→ gleiche Differentialgleichung wie bei Kraftanregung einer Masse  
→ Vergrößerungsfunktion  $V_k$  verwenden

aus 0,75 Schwingungsperioden pro Sekunde folgt:

$f = 0,75$  Hz bzw.  $\Omega = 4,712 \text{ s}^{-1}$  und damit  $n = 45$  U/min

aus Bedingung  $\hat{x} = \frac{e}{2} = \frac{\hat{F}}{c} \cdot V_k = \frac{r}{\sqrt{(1 - \eta^2)^2 + 4D^2\eta^2}}$  folgt mit

$D = \frac{\delta}{\omega_0}$ ,  $\eta = \frac{\Omega}{\omega_0}$  und  $\delta = \frac{b}{2m}$  für die Eigenkreisfrequenzen:

$$\omega_0^4 - \frac{2\Omega^2 e^2}{e^2 - 4r^2} \cdot \omega_0^2 + \frac{\Omega^2 e^2}{e^2 - 4r^2} \cdot (\Omega^2 + 4\delta^2) = 0$$

mit den positiven Lösungen:  $\omega_{0,1} = 8,528 \text{ s}^{-1}$  und  $\omega_{0,2} = 3,789 \text{ s}^{-1}$

→ zwei mögliche Federkonstanten für optimalen Betriebszustand:

$c_1 = \omega_{0,1}^2 \cdot m = 5,454 \text{ N/mm}$  ( $\eta = 0,55$ ) und

$c_2 = \omega_{0,2}^2 \cdot m = 1,077 \text{ N/mm}$  ( $\eta = 1,24$ )

$$\hat{F}_A = \hat{x} \cdot b = \Omega \cdot \frac{e}{2} \cdot b = 47,12 \text{ N}$$

Aufgabe 3.6.8

$$c = \frac{p_{\max} \cdot A}{s} = 400 \text{ N/mm}$$

Druckausgleich, wenn  $p_0 + \hat{p} = 0,75 \cdot p_{\max}$

→  $\hat{p} = 0,75 \cdot p_{\max} - p_0 = 1,0 \text{ MPa}$

Amplitude bei Druckausgleich:  $\hat{x} = s - \frac{p_0 \cdot A}{c} = 1,875 \text{ mm}$

ungünstiger Resonanzfall:  $\hat{x} = \frac{\hat{p} \cdot A}{c} \cdot V_{\max}$ , mit

$$V_{\max} = \frac{1}{2D\sqrt{1 - D^2}}$$

umgestellt nach  $D$ :  $0 = D^4 - D^2 + \left(\frac{\hat{p} \cdot A}{2cx}\right)$

daraus folgt als Lösung  $D = 0,169$ , wobei die maximale Amplitude bei  $\eta_{\max} = \sqrt{1 - 2D^2} = 0,971$  erreicht wird

erforderliche Dämpferkonstante  $b = 2D\sqrt{c \cdot m} = 151,25 \text{ kg/s}$

## B Literatur zur Technischen Mechanik

- [1] Balke, H.: *Einführung in die Technische Mechanik - Statik*, 3. Auflage, Springer, 2010
- [2] Balke, H.: *Einführung in die Technische Mechanik - Festigkeitslehre*, 3. Auflage, Springer, 2014
- [3] Balke, H.: *Einführung in die Technische Mechanik - Kinetik*, 4. Auflage, Springer, 2020
- [4] Dankert, J., Dankert, H.: *Technische Mechanik - Statik, Festigkeitslehre, Kinematik/Kinetik*, 7. Auflage, Springer Vieweg, 2013
- [5] Göldner, H., Holzweisig, F.: *Leitfaden der Technischen Mechanik - Statik, Festigkeitslehre, Kinematik, Dynamik*, 11. Auflage, VEB Fachbuchverlag Leipzig, 1989
- [6] Fischer, K.-F., Günther, W.: *Technische Mechanik*, 2. Auflage, Wiley-VCH, 2013
- [7] Selke, P.: *Statik*, De Gruyter Oldenbourg, 2018
- [8] Assmann, B., Selke, P.: *Technische Mechanik 2: Festigkeitslehre*, 18. Auflage, De Gruyter Oldenbourg, 2013
- [9] Assmann, B., Selke, P.: *Technische Mechanik 3: Kinematik und Kinetik*, 14. Auflage, De Gruyter Oldenbourg, 2007
- [10] Mestemacher, F.: *Grundkurs Technische Mechanik: Statik der Starrkörper, Elastostatik, Dynamik*, Spektrum Akademischer Verlag, 2008
- [11] Müller, W. H., Ferber, F.: *Technische Mechanik für Ingenieure*, 5. Auflage, Hanser, 2019
- [12] Mahnken, R.: *Lehrbuch der Technischen Mechanik - Band 1: Starrkörperstatik*, 2. Auflage, Springer Vieweg, 2016
- [13] Mahnken, R.: *Lehrbuch der Technischen Mechanik - Band 2: Elastostatik*, 2. Auflage, Springer Vieweg, 2019
- [14] Mahnken, R.: *Lehrbuch der Technischen Mechanik - Dynamik*, 2. Auflage, Springer Vieweg, 2012
- [15] Läßle, V.: *Einführung in die Festigkeitslehre*, 4. Auflage, Springer Vieweg, 2016
- [16] Issler, L., Rouß, H., Häfele, P.: *Festigkeitslehre - Grundlagen*, 2. Auflage, Springer, 2003
- [17] Franneck, H.: *Starthilfe Technische Mechanik*, Vieweg+Teubner, 1996

- [18] Gross, D., Hauger, W., Schröder, J., Wall, W. A.: *Technische Mechanik 1 - Statik*, 14. Auflage, Springer Vieweg, 2019
- [19] Gross, D., Hauger, W., Schröder, J., Wall, W. A.: *Technische Mechanik 2 - Elastostatik*, 13. Auflage, Springer Vieweg, 2017
- [20] Gross, D., Hauger, W., Schröder, J., Wall, W. A.: *Technische Mechanik 3 - Kinetik*, 14. Auflage, Springer Vieweg, 2019
- [21] Hartmann, S.: *Technische Mechanik*, Wiley-VCH, 2015
- [22] Mayr, M.: *Technische Mechanik: Statik - Kinematik - Kinetik - Schwingungen - Festigkeitslehre*, 9. Auflage, Carl Hanser Verlag, 2021
- [23] Schumpich, G.: *Technische Mechanik - Statik*, 10. Auflage, Vieweg+Teubner, 2004
- [24] Eller, C.: *Holzmann/Meyer/Schumpich Technische Mechanik Kinematik und Kinetik*, 13. Auflage, Springer Vieweg, 2019
- [25] Altenbach, H.: *Holzmann/Meyer/Schumpich Technische Mechanik Festigkeitslehre*, 14. Auflage, Springer Vieweg, 2020
- [26] Brommundt, E., Sachs, G., Sachau, D.: *Technische Mechanik: Statik-Elastostatik-Kinematik-Kinetik*, 5. Auflage, De Gruyter, 2019
- [27] Mathiak, F. U.: *Technische Mechanik 1, Statik mit Maple-Anwendungen*, De Gruyter, 2012
- [28] Mathiak, F. U.: *Technische Mechanik 2, Festigkeitslehre mit Maple-Anwendungen*, De Gruyter, 2013
- [29] Mathiak, F. U.: *Technische Mechanik 3, Kinematik und Kinetik mit Maple- und MapleSim-Anwendungen*, De Gruyter, 2015
- [30] Hibbeler, R. C.: *Technische Mechanik 1 - Statik*, 14. Auflage, Pearson, 2018
- [31] Hibbeler, R. C.: *Technische Mechanik 2 - Festigkeitslehre*, 8. Auflage, Pearson, 2013
- [32] Hibbeler, R. C.: *Technische Mechanik 3 - Dynamik*, 12. Auflage, Pearson, 2012
- [33] Hagedorn, P., Wallaschek, J.: *Technische Mechanik, Band 1: Statik*, 7. Auflage, Europa-Lehrmittel, 2018
- [34] Hagedorn, P., Wallaschek, J.: *Technische Mechanik, Band 2: Festigkeitslehre*, 5. Auflage, Europa-Lehrmittel, 2015
- [35] Hagedorn, P., Wallaschek, J.: *Technische Mechanik, Band 3: Dynamik*, 5. Auflage, Europa-Lehrmittel, 2016
- [36] Bürgel, R.: *Festigkeitslehre und Werkstoffmechanik, Band 1 und Band 2*, Vieweg+Teubner, 2005
- [37] Magnus, K., Müller-Slany, H. H.: *Grundlagen der Technischen Mechanik*, 7. Auflage, Vieweg+Teubner Verlag, 2005
- [38] Heinzelmann, M., Lippoldt, A.: *Technische Mechanik in Beispielen und Bildern: Statik und Festigkeitslehre*, Spektrum, 2008

- [39] Romberg, O., Hinrichs, N.: *Keine Panik vor Mechanik!*, 9. Auflage, Springer Vieweg, 2020
- [40] Mattheck, C.: *Warum alles kaputt geht - Form und Versagen in Natur und Technik*, Verlag KIT Karlsruhe, 2003
- [41] Spura, C.: *Technische Mechanik 1. Stereostatik*, 2. Auflage, Springer Vieweg, 2019
- [42] Spura, C.: *Technische Mechanik 2. Elastostatik*, Springer Vieweg, 2019
- [43] Richard, H. A., Sander, M.: *Technische Mechanik. Statik*, 5. Auflage, Springer Vieweg, 2016
- [44] Richard, H. A., Sander, M.: *Technische Mechanik. Festigkeitslehre*, 2. Auflage, Springer Vieweg, 2008
- [45] Richard, H. A., Sander, M.: *Technische Mechanik. Dynamik*, Springer Vieweg, 2008
- [46] Böge, A., Böge, W.: *Technische Mechanik: Statik - Reibung - Dynamik - Festigkeitslehre - Fluidmechanik*, 33. Auflage, Springer Vieweg, 2020
- [47] Hardtke, H.-J., Heimann, B., Sollmann, H.: *Lehr- und Übungsbuch Technische Mechanik, Band II Kinematik/Kinetik - Systemdynamik - Mechatronik*, Fachbuchverlag Leipzig, 1997
- [48] Markert, R.: *Statik und Elastomechanik*, Shaker, 2016
- [49] Markert, R.: *Dynamik*, Shaker, 2013
- [50] Berger, J.: *Technische Mechanik für Ingenieure, Band 1: Statik*, Vieweg+Teubner Verlag, 1991
- [51] Berger, J.: *Technische Mechanik für Ingenieure, Band 2: Festigkeitslehre*, Vieweg+Teubner Verlag, 1994
- [52] Berger, J.: *Technische Mechanik für Ingenieure, Band 3: Dynamik*, Vieweg+Teubner Verlag, 1998
- [53] Jäger, H., Mastel, R., Knaebel, M.: *Technische Schwingungslehre*, 9. Auflage, Springer Vieweg, 2016
- [54] Bruhns, O., Lehmann, T.: *Elemente der Mechanik I, Einführung, Statik*, Vieweg+Teubner Verlag, 1993
- [55] Bruhns, O., Lehmann, T.: *Elemente der Mechanik II, Elastostatik*, Vieweg+Teubner Verlag, 1994
- [56] Bruhns, O., Lehmann, T.: *Elemente der Mechanik III, Kinetik*, Vieweg+Teubner Verlag, 1994
- [57] Kühnhorn, A, Silber, G.: *Technische Mechanik für Ingenieure: Grundlagen für Studium und Praxis*, Hüthig Verlag, 2000